

การเพิ่มอายุการใช้งานของดวงตราเหรียญกษาปณ์หมุนเวียน
ชนิดราคา 1 บาท ใหม่!

IMPROVEMENT OF ONE-BATH CIRCULATION
COINING TOOL LIFE



วิทยานิพนธ์นี้เป็นส่วนหนึ่งของการศึกษาตามหลักสูตร
ปริญญาวิศวกรรมศาสตร์บัณฑิต สาขาวิชาปริญญาอุตสาหการ
คณะวิศวกรรมศาสตร์
มหาวิทยาลัยเทคโนโลยีราชมงคลชั้นนำแห่งประเทศไทย
ปีการศึกษา 2555
ลิขสิทธิ์ของมหาวิทยาลัยเทคโนโลยีราชมงคลชั้นนำแห่งประเทศไทย

การเพิ่มอายุการใช้งานของดวงตราเหตุยลูกษาปณ์หมุนเวียน
ชนิดราคา 1 บาท ใหม่



วิทยานิพนธ์นี้เป็นส่วนหนึ่งของการศึกษาตามหลักสูตร
ปริญญาวิศวกรรมศาสตร์บัณฑิต สาขาวิชาปริญญาอุตสาหการ
คณะวิศวกรรมศาสตร์
มหาวิทยาลัยเทคโนโลยีราชมงคลธัญบุรี
ปีการศึกษา 2555
ลิขสิทธิ์ของมหาวิทยาลัยเทคโนโลยีราชมงคลธัญบุรี

หัวข้อวิทยานิพนธ์	การเพิ่มอายุการใช้งานของดวงตราหรือยุกษาปั้นหมุนเวียนชนิดราคากลาง 1 บาท
ชื่อ - นามสกุล	นายวรวิทย์ สงวนพันธ์
สาขาวิชา	วิศวกรรมอุตสาหกรรม
อาจารย์ที่ปรึกษา	อาจารย์สมศักดิ์ อิทธิไสภณกุล, Ph.D.
อาจารย์ที่ปรึกษาร่วม	รองศาสตราจารย์วารุณี เปรมานันท์, Ph.D.
ปีการศึกษา	2555

บทคัดย่อ

งานวิจัยนี้มีวัตถุประสงค์เพื่อเพิ่มอายุการใช้งานของดวงตรา (Die ด้านหัวและก้อย) เหรียญ 1 บาท สำเร็จรูปรุ่นใหม่ โดยวิธีการเคลือบผิวแบบ PVD ชนิดสารเคลือบโครเมี่ยม ในตราย เนื่องจากได้มีการเปลี่ยนวัสดุที่ใช้ในการผลิตเหรียญ 1 บาท จากวัสดุคิวโพรโนนิกเกิด (ทองแดงร้อยละ 75 และนิกเกิด ร้อยละ 25) โดยเปลี่ยนมาใช้วัสดุชนิด ไส้เหล็กเคลือบนิกเกิด ทำให้อายุการใช้งานของดวงตราสั้นลง จำนวน เหรียญ 1 บาทต่อดวงตรา 1 คู่ ลดลงจากประมาณ 400,000 เหรียญ เหลือเพียงประมาณ 40,000 - 50,000 เหรียญต่อดวงตรา 1 คู่ โดยวัสดุที่ใช้ในการผลิตดวงตราเป็นวัสดุชนิดเดียวกัน คือ เหล็กกล้า พสมชนิด 0.97%C

ในการดำเนินงานวิจัยได้ใช้วัสดุในการทดสอบผลิตดวงตรา จำนวน 2 ชนิด คือ เหล็กกล้าผสมชนิด 0.97%C และ เหล็กกล้าผสมชนิด 0.5%C โดยใช้วิธีการเคลือบผิวแบบ PVD ชนิดสารเคลือบ โครเมี่ยม ในตราย ที่ความหนา 3 ระดับ คือประมาณ 1, 2 และ 3 ไมครอน ในการทดสอบวัดความหนา ของผิวเคลือบ ใช้วิธีการทดสอบด้วยเครื่อง X-Ray Fluorescence และ ได้ทำการผ่าวิเคราะห์ชิ้นงาน ก่อนการใช้งานด้วยเครื่องตัดผ่าแบบ wire cut (EDM) เพื่อศึกษาการเกะยืดของผิวเคลือบ โครเมี่ยม ในตราย โดยการถ่ายภาพด้วยกล้องจุลทรรศน์อิเล็กตรอนแบบส่องภาค

ผลการทดสอบนำดวงตราไปใช้ในการผลิตเหรียญ 1 บาท รุ่นใหม่ ด้วยเครื่องตีตราแรงกด 40 ตัน ความเร็ว 800 – 850 เหรียญต่อนาที ปรากฏว่า เหล็กกล้าผสมชนิด 0.5%C ที่ความหนาผิวเคลือบ ประมาณ 2-2.7 ไมครอน ได้จำนวนเหรียญต่อดวงตรา 1 คู่ 300,000 – 400,000 ต่อดวงตรา 1 คู่ ซึ่งมาก ที่สุดจากชิ้นงานทดสอบทั้งหมด ในส่วนของเหล็กกล้าผสมชนิด 0.97%C พบการแตกร้าวบริเวณ ผิวหน้าของดวงตราหลังจากตีตรา เหรียญ ได้ประมาณ 50,000 – 60,000 เหรียญ ในทุกๆ ความหนาของ ผิวเคลือบประมาณ 2-2.7 ไมครอน เพื่อใช้ในการผลิตจริงปรากฏว่าจำนวนเหรียญที่ได้ประมาณ 300,000 – 400,000 เหรียญต่อดวงตรา 1 คู่ เพิ่มอายุการใช้งานได้ประมาณ 10 เท่า

คำสำคัญ: โครเมี่ยม ในตราย ไส้เหล็กเคลือบนิกเกิด ไมครอน wire cut (EDM)

Thesis Title	Improvement of One-Bath Circulation Coining Tool Life
Name - Surname	Mr.Waravit Saguphan
Program	Industrial Engineering
Thesis Advisor	Mr.Somsak Ithisoponakul, Ph.D.
Thesis co Advisor	Associate Professor Varunee Premanond, Ph.D.
Academic Year	2012

ABSTRACT

The purposes of this research work is to extend the coining die life to produce 1 Baht coin for both obverse and reverse side by using PVD (Physical Vapor Deposition) Chromium Nitride (CrN) coating. According to the material to produce of 1 baht coin has changed from Cupronickel (75% copper and 25% nickel) to nickel plated steel core, the coining die life became short. The life of coining tool was reduced from 400,000 to 40,000 – 50,000 coins of new die by using the same alloy steel 0.97% C die material.

In this work two types of alloy steels 0.97% C and 0.5% C alloy steel have been used as tool materials. Hard thin film CrN coating using PVD technique of 1, 2 and 3 Micron (μm) thickness have been observed. The thickness of coating was measured by X-Ray Fluorescence. Testing specimen was cut by wire EDM to explore the CrN coating layer by using scanning electron microscope (SEM).

The coining experiments were carried out in the production line of new 1 baht coin using 40 tons mechanical press having the speed of 800 to 850 stroke per minute the results showed that the coining tool made from alloy steel 0.5% C with 2 to 2.7 Microns thickness of coating can produce the maximum amount of 300,000 - 400,000 coins. For the case of coining tool made from alloy steel 0.97% C, it was found that fracture occurred on the tool surface after 50,000 - 60,000 strokes for all coating thickness. It has been concluded that using alloy steel 0.5% C as tool material with approximately 2 to 2.7 Microns CrN-PVD coating thickness showed the best results of 300,000 to 400,000 produced.

Keywords: chromium nitride, nickel plated steel core, micron, wire (EDM)

กิตติกรรมประกาศ

วิทยานิพนธ์ฉบับนี้สำเร็จลุล่วงได้อย่างสมบูรณ์ โดยได้รับความอนุเคราะห์อย่างดีเยี่ยมจาก ดร.สมศักดิ์ อิทธิไสyanกุล ผู้ช่วยศาสตราจารย์ ดร.ศิวกร อ่างทอง ผู้ช่วยศาสตราจารย์ ดร.ศิริชัย ต่อสกุล รองศาสตราจารย์ ดร.วารุณี เปรมานันท์ ที่เคยให้คำปรึกษาชี้แนะ แนวทางการจัดทำวิทยานิพนธ์ ให้คำปรึกษาแนะนำ ตรวจสอบแก้ไขข้อบกพร่องต่างๆ เพื่อให้วิทยานิพนธ์ฉบับนี้ถูกต้อง มีความสมบูรณ์ ยิ่งขึ้น ผู้วิจัยรู้สึกซาบซึ้งในความอนุเคราะห์ที่ได้รับ จึงขอขอบพระคุณเป็นอย่างสูงไว้ ณ โอกาสนี้

ผู้วิจัยขอขอบคุณผู้เชี่ยวชาญทุกท่านที่ได้กรุณาให้คำแนะนำในวิทยานิพนธ์ฉบับนี้ จนสามารถดำเนินการให้แล้วเสร็จเรียบร้อย และมีความสมบูรณ์ยิ่งขึ้น

ขอขอบคุณอดีตผู้อำนวยการสำนักภาษาปั้น นายสันติ จันทร์แสงศรี ที่กรุณาอำนวยความสะดวกในการเก็บรวบรวมข้อมูล รวมถึงให้การสนับสนุนวัสดุที่ใช้ในการวิจัยเป็นอย่างดี

ขอขอบคุณรักษาการณ์ผู้อำนวยการสำนักภาษาปั้น นางสาวลดาวารณ แสงเมฆ

ขอขอบคุณผู้อำนวยการส่วนดวงตรา นายทวีเลิศ กสิไพบูล และเจ้าหน้าที่ส่วนดวงตราที่ช่วยเก็บข้อมูลรวมทั้งจัดทำชิ้นงานเพื่อการทดสอบ

ขอขอบคุณหัวหน้ากลุ่มงานผลิต นายบรรจิด กิจพัฒน์ ช่วยอนุเคราะห์และให้การสนับสนุน ให้ได้รับทุนการศึกษาจากกระทรวงการคลัง

ขอขอบคุณผู้อำนวยการส่วนผลิตหรือผู้ดูแลนายพิทักษ์ เหลือมพล และหัวหน้าฝ่ายหล่อหลอมนายเอกสุวัชร์ พรหมจรรย์ ที่ช่วยให้การสนับสนุนเรื่องเวลาในการทำวิจัย

คุณค่าและประโยชน์จากการค้นคว้าอันพึงมีของวิทยานิพนธ์ฉบับนี้ ผู้วิจัยขอขอบคุณทุกท่าน บุญคุณค่าต่อบิดามารดา และครูอาจารย์ทุกท่านที่ได้อบรมสั่งสอนศิษย์มาตลอด ด้วยวิญญาณของความเป็นครู ตลอดจนผู้มีพระคุณทุกท่าน

ดร.วิทย์ สงวนพันธ์

สารบัญ

	หน้า
บทคัดย่อภาษาไทย.....	๑
บทคัดย่อภาษาอังกฤษ.....	๑
กิตติกรรมประกาศ	๑
สารบัญ.....	๙
สารบัญตาราง.....	๙
สารบัญภาพ.....	๙
บทที่	
1 บทนำ	1
1.1 ความเป็นมาและความสำคัญของปัจุหা	3
1.2 วัตถุประสงค์งานวิจัย	2
1.3 สมมติฐานงานวิจัย	3
1.4 ขอบเขตงานวิจัย.....	3
1.5 ขั้นตอนการดำเนินงานวิจัย	4
1.6 ประโยชน์ที่ได้รับจากการงานวิจัย	4
1.7 ข้อจำกัดในการทำวิจัย.....	4
2 ทฤษฎีและงานวิจัยที่เกี่ยวข้อง	5
2.1 เหรียญ 1 บาท	5
2.2 โลหะนิกเกล (Nickel)	6
2.3 โลหะวิทยาของนิกเกลและ โลหะนิกเกลผสม	7
2.4 โลหะโครเมียม (Chromium).....	8
2.5 โลหะวิทยาของ โครเมียมและ โครเมียมผสม	9
2.6 การเคลือบพิวนิกเกลหรือเยลู 1 บาท.....	10
2.7 วัสดุที่ใช้ผลิตแม่พิมพ์หรือเยลู 1 บาท (รุ่นเก่า)	11
2.8 สมบัติของชาตุเมื่อผสมในเหล็กกล้า.....	12
2.9 วัตถุประสงค์ในการนำชาตุต่างๆ มาผสมในเหล็ก	12
2.10 การชุบแข็ง (Hardening)	12
2.11 การอบอ่อน (Annealing).....	13

สารบัญ (ต่อ)

บทที่	หน้า
2.12 การอบคืนไฟ (Tempering)	16
2.13 การชุบเคลือบพิวแบบไอเกยภพ Physical Vapour Deposition (PVD)	18
2.14 การเคลือบพิวด้วยไอเคมี Chemical Vapor Deposition (CVD)	23
2.15 การควบคุมคุณภาพ (Quality Control)	23
2.16 ประเภทของการควบคุมคุณภาพเพื่อการยอมรับ	24
2.17 การซักลิ่งตัวอย่างเพื่อการยอมรับ	25
2.18 การสุ่มตัวอย่างเพื่อยอมรับแบบ Variables	26
2.19 การสุ่มตัวอย่างแบบ Chain	27
2.20 การสุ่มตัวอย่างชนิดต่อเนื่อง (Continuous Sampling)	28
2.21 ความเชื่อมั่น (Reliability)	28
2.22 การออกแบบการทดลอง (Experimental Design or Design of Experiments)	29
2.23 ประโยชน์ของการออกแบบการทดลอง	31
2.24 ขั้นตอนการผลิตตรวจสอบ	31
2.25 เทคนิคการผลิตหรือยกมาตรฐานสำเร็จรูปโลหะชุบเคลือบไส้เหล็ก ณ โรงงานปั้น ประเทกพินແلنด์	36
3 วิธีการดำเนินการวิจัย	39
3.1 วิธีการดำเนินงาน	39
3.2 ดำเนินการทดลอง	43
4 ผลการทดลอง	48
4.1 การวิเคราะห์ผลด้วยโปรแกรม Minitab 15	51
4.2 การวิเคราะห์ด้วยกล้องอิเล็กทรอนแบบส่องสว่าง (Scanning Electron Microscope SEM)	53
4.3 การวิเคราะห์ด้วยภาพ โครงสร้างจุลภาค	54
4.4 การทดสอบความแข็งด้วยเครื่องวัดความแข็งไมโครฮาร์ดเนส (Micro Hardness)	56
4.5 การควบคุมคุณภาพ	61
5 สรุปผลการทดลองและข้อเสนอแนะ	63
5.1 สรุปผล	63

สารบัญ (ต่อ)

บทที่	หน้า
5.2 ข้อเสนอแนะ	64
รายการอ้างอิง.....	65
ภาคผนวก.....	67
ภาคผนวก ก ผลการทดลองต่างๆ	68
ภาคผนวก ข ผลงานตีพิมพ์เผยแพร่	80
ประวัติผู้เขียน.....	94



สารบัญตาราง

ตารางที่	หน้า
1.1 แผนการดำเนินงานวิจัย.....	4
2.1 การเปรียบเทียบประเภทของการควบคุมภาพเพื่อการยอมรับ	24



สารบัญภาพ

ภาพที่	หน้า
1.1 ปริมาณการผลิตหรี่ยญ 1 บาท (ไส้เหล็กเคลือบนิกเกิล).....	2
2.1 การตัดขวางหรี่ยญ 1 บาท รุ่นใหม่	6
2.2 กรรมวิธีเคลือบผิวโดยไฟฟ้า (Electroplating Process)	11
2.3 ความสัมพันธ์ระหว่างอุณหภูมิการอบคืนไฟกับความแข็งของเหล็ก KD21	11
2.4 (Fe-C) Phase Diagram.....	13
2.5 ช่วงอุณหภูมิในการอบอ่อนอย่างสมบูรณ์	14
2.6 ช่วงอุณหภูมิในการการอบคลายความเค็น หรือการอบได้ภาวะวิกฤต	15
2.7 อุณหภูมิการอบเพื่อความอ่อนตัวสูงต่ำกว่าเส้น A_{C1}	16
2.8 อุณหภูมิการอบเพื่อความอ่อนตัวสูงต่ำและสูงกว่าเส้น A_{C1}	16
2.9 ช่วงการซับแข็ง และการอบคืนไฟ	17
2.10 TTT Diagram.....	17
2.11 ขั้นเคลือบผิวในรูปแบบต่างๆ	19
2.12 คุณสมบัติของผิวเคลือบ.....	19
2.13 คุณลักษณะของผิวเคลือบแต่ละชนิด	20
2.14 PVD ARC Technology	20
2.15 PVD Sputter Technology	21
2.16 PVD Sputter ก่อนเคลือบผิว	21
2.17 PVD Sputter CrN Coated (1.6 μm) หลังเคลือบ	21
2.18 การทำงานของ PVD ARC and Sputter.....	22
2.19 เครื่อง PVD ARC and Sputter	22
2.20 การเปรียบเทียบกระบวนการเคลือบผิวแบบ PVD และ แบบ CVD	23
2.21 การซักสิ่งตัวอย่างเพื่อการยอมรับ	26
2.22 หลักการสำคัญในการออกแบบการทดสอบ	30
2.23 กระบวนการผลิตดวงตรา.....	32
2.24 แม่คอน	33
2.25 ขั้นตอนการย่อลาย	33
2.26 หุ่นแหลม	34

สารบัญภาพ (ต่อ)

ภาพที่	หน้า
2.27 เครื่องถอดคงดรา (แม่พิมพ์)	34
2.28 ลักษณะการกดของเครื่องถอดคงดรา	35
2.29 ลักษณะหุ่นแหลมหลังผ่านการกดแล้ว	35
2.30 ลักษณะหุ่นแหลมหลังผ่านการกดแล้วนำกลึงให้ได้รูปทรงเพื่อประกอบเข้ากับ เครื่องปั๊มเรียบ	36
2.31 ต้นแบบเรียบ 1 นาที ด้านหน้าหลังจากลดความสูงของลวดลายลงเหลือ 0.05 มม.....	37
2.32 การอบคืนไฟ K455.....	37
2.33 การเย็บตัว K455 (CCT Diagram).....	38
3.1 สมบัติของเหล็ก W360	40
3.2 การทดสอบแรงกระแทกของเหล็ก W360	40
3.3 ความสัมพันธ์ระหว่างอุณหภูมิกับความแข็งของเหล็ก W360.....	41
3.4 TTT ໄໂຄະແກຣມของเหล็ก W360.....	41
3.5 อุณหภูมิอบคืนไฟสัมพันธ์กับความแข็งของเหล็ก W360	42
3.6 ความสัมพันธ์ของเวลา กับ ความหนาของการชุบเคลือบ PVD Process	43
3.7 ข้อมูลในการวัดความแข็ง	44
3.8 จุดกดวัดความแข็ง	44
3.9 ค่าความแข็งที่วัดได้	45
3.10 เครื่องถังด้วยวิธีการอุตสาหกรรม	45
3.11 ลักษณะการถัง	46
3.12 คาดทดสอบน้ำพรมใช้งาน	46
3.13 การบรรจุชิ้นงาน	47
3.14 เครื่องชุบเคลือบผิว	47
3.15 ชิ้นงานหลังชุบเคลือบผิว	48
3.16 เครื่องวัดความหนาผิวเคลือบแบบเอ็กซเรย์ฟลูออเรสเซ็นซ์	48
3.17 ลักษณะการวัดชิ้นงาน.....	49
3.18 ค่าความหนาของผิวเคลือบที่วัดได้.....	49
3.19 ลักษณะการตัดผ่าชิ้นงานด้วย Wire Cut (EDM)	50

สารบัญภาพ (ต่อ)

ภาพที่	หน้า
3.20 ชิ้นทดสอบตัดผ่าด้วยเครื่องตัดแบบ Wire Cut (EDM)	50
4.1 สรุปจำนวนเรียบๆ 1 นาที ที่ผลิตได้ต่อแม่พิมพ์ 1 คู่ (หัว – ก้ออย)	51
4.2 Main Effect Plot for qty	52
4.3 Interaction Plot for qty	52
4.4 เหล็ก KD21 จากกล่อง SEM	53
4.5 เหล็ก W360 จากกล่อง SEM	53
4.6 โครงสร้างจุลภาคของเหล็ก KD21 สภาพจำหน่าย (Nitric2%)	54
4.7 โครงสร้างจุลภาคของเหล็ก KD21 หลังอบคืนไฟที่ 530 °C 2 ครั้งๆ ละ 2 ชั่วโมง (Nitric 2%).....	55
4.8 โครงสร้างจุลภาคสภาพจำหน่ายของเหล็ก W360 (Nitric 2%)	55
4.9 โครงสร้างจุลภาคของเหล็ก W360 หลังอบคืนไฟที่ 530°C 2 ชั่วโมง และ 550°C 2 ชั่วโมง (Nitric 2%)	56
4.10 เครื่องวัดความแข็งแบบไมโครหารด์เนส	57
4.11 กำหนดค่ากำลังขยาย 50X	57
4.12 ค่าแรงกด 200 gf เวลาที่ใช้ในการคัดอุด 10 วินาที	58
4.13 การวัดความแข็งเหล็ก KD21 (บริเวณเนื้อคาร์ไบด์) ความแข็ง 1092-1166 HV (0.2)	58
4.14 การวัดความแข็งเหล็ก KD21 (บริเวณ Homogeneous Matrix) ความแข็ง 837HV (0.2) .	59
4.15 การวัดความแข็งเหล็ก W360 บริเวณ (Homogeneous Matrix) ความแข็ง 729HV (0.2) .	59
4.16 ค่าความแข็งของเหล็ก W360 เป็นกราฟ	60
4.17 ค่าความแข็งของเหล็ก KD21 เป็นกราฟ	60
4.18 ร่างลำเลียงหรือยููลงถังเก็บ	61
4.19 เครื่องคัดแยกหรือยููลงแบบอัตโนมัติ	62

บทที่ 1

บทนำ

1.1 ความเป็นมาและความสำคัญของปัจจุบัน

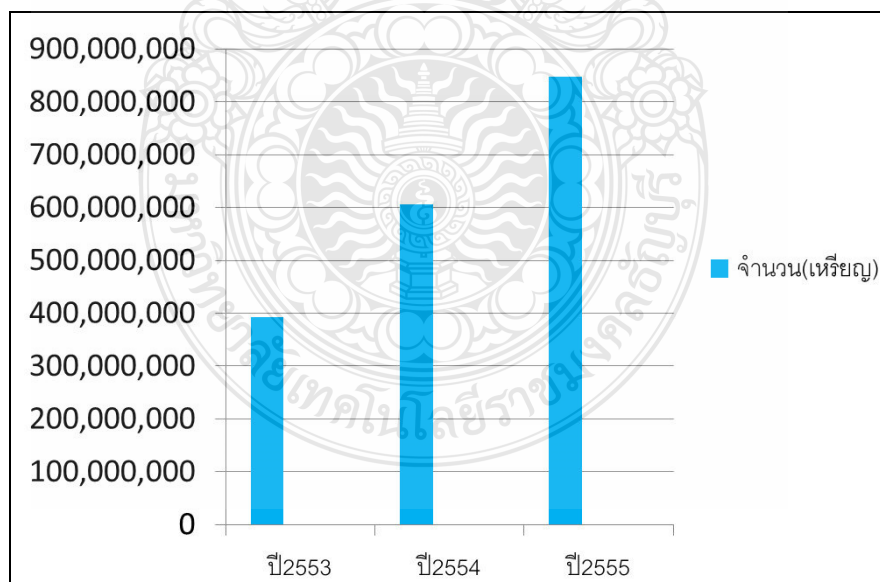
เหตุการณ์ทางการเมืองในประเทศไทยเป็นสิ่งที่มีอิทธิพลอย่างมากต่อเศรษฐกิจ การค้าและสังคม ทำให้เกิดการเปลี่ยนผ่านทางการเมือง ไม่ว่าจะเป็นการรัฐประหาร 或是การปฏิรูปประเทศ ที่มีผลต่อเศรษฐกิจ การค้าและการลงทุน รวมถึงชีวิตประจำวันของประชาชน ดังนั้น จึงมีความสำคัญอย่างยิ่งที่จะต้องทำความเข้าใจถึงสาเหตุและผลกระทบของการเปลี่ยนผ่านทางการเมือง ตลอดจนการดำเนินการแก้ไขปัญหาที่มีอยู่ในประเทศ ให้สามารถบรรลุเป้าหมายที่ตั้งไว้ได้อย่างมีประสิทธิภาพ

เนื่องจากประเทศไทยเป็นประเทศที่มีความหลากหลายทางภูมิศาสตร์และเชื้อชาติ จึงมีความสำคัญในการศึกษาและทำความเข้าใจถึงความต่างๆ ที่มีอยู่ในประเทศ ไม่ว่าจะเป็นภูมิศาสตร์ทางกายภาพ ภูมิศาสตร์ทางมนุษย์ ภูมิศาสตร์ทางทางการเมือง ฯลฯ ที่มีผลต่อเศรษฐกิจ การค้าและการลงทุน รวมถึงชีวิตประจำวันของประชาชน ดังนั้น จึงมีความสำคัญอย่างยิ่งที่จะต้องศึกษาและทำความเข้าใจถึงสาเหตุและผลกระทบของการเปลี่ยนผ่านทางการเมือง ให้สามารถบรรลุเป้าหมายที่ตั้งไว้ได้อย่างมีประสิทธิภาพ

เหตุการณ์ทางการเมืองในประเทศไทยเป็นสิ่งที่มีอิทธิพลอย่างมากต่อเศรษฐกิจ การค้าและสังคม ทำให้เกิดการเปลี่ยนผ่านทางการเมือง ไม่ว่าจะเป็นการรัฐประหาร 或是การปฏิรูปประเทศ ที่มีผลต่อเศรษฐกิจ การค้าและการลงทุน รวมถึงชีวิตประจำวันของประชาชน ดังนั้น จึงมีความสำคัญอย่างยิ่งที่จะต้องศึกษาและทำความเข้าใจถึงสาเหตุและผลกระทบของการเปลี่ยนผ่านทางการเมือง ให้สามารถบรรลุเป้าหมายที่ตั้งไว้ได้อย่างมีประสิทธิภาพ

เหรียญภาษาปัณ เป็นเงินตราจึงต้องมีคุณลักษณะพิเศษที่สามารถสร้างความเชื่อมั่นให้เกิดขึ้นกับประชาชน มีเอกลักษณ์เป็นพิเศษ น่าชื่นชม และสามารถแสดงให้เห็นถึงวัฒนธรรมและความเจริญก้าวหน้าของประเทศไทย รูปแบบของเหรียญภาษาปัณที่ออกแบบต้องสู่ตลาดต้องมีลักษณะกลมแบน และขนาดจึงต้องเป็นไปตามข้อกำหนด ไม่ซ้ำซ้อนกับเหรียญภาษาปัณของประเทศอื่น ต้องมีความงามสามารถทนทานต่อการสึกหรอและการกัดกร่อนได้ดี มีอายุการใช้งานนาน มีคุณสมบัติสอดคล้องกับกระบวนการผลิตที่มีอยู่

เมื่อปี พ.ศ. 2552 เหรียญ 1 บาท รุ่นใหม่ ซึ่งเป็นวัสดุไส้เหล็กเคลือบด้วยนิกเกิล ได้ถูกนำเข้ามาใช้ในประเทศไทยเป็นครั้งแรก ปัญหาของการใช้วัตถุดินไส้เหล็กชุบเคลือบผิวด้วยนิกเกิลซึ่งแม่เหล็กดูดติดมีความแข็ง 110 HV (30) มีมากขึ้น ปริมาณการผลิตลดลงเมื่อเปรียบเทียบกับวัตถุดินแบบเดิม (แม่เหล็กดูดไม่ติด) เป็นวัสดุคิวโพรนิกเกิล (ทองแดงร้อยละ 75 นิกเกิลร้อยละ 25) ความแข็ง 80 HV (10) แม้ว่าทางสำนักภาษาปัณจะลดความสูงของ漉อดลายลงตามที่ได้ทำการศึกษาดูงานโรงภาษาปัณประเทศไทยแลนด์ แต่ก็ยังประสบปัญหารဆ่องผลผลิต คืออายุการใช้งานของดวงตรา(แม่พิมพ์)ลดลงมาก ผู้วิจัยจึงเลือกทำการวิจัยเพื่อที่จะเพิ่มอายุการใช้งานของดวงตรา เพื่อเพิ่มผลผลิตเหรียญ 1 บาท สำเร็จรูปให้มากขึ้นเพื่อให้ทันต่อความต้องการของประชาชนภายในประเทศ และยังคงไว้ซึ่งเอกลักษณ์ ความสวยงาม ความถูกต้อง เพื่อคงไว้ซึ่งความภาคภูมิใจของคนไทยต่อไป



ภาพที่ 1.1 ปริมาณการผลิตเหรียญ 1 บาท (ไส้เหล็กเคลือบนิกเกิล)

1.2 วัตถุประสงค์งานวิจัย

เพิ่มจำนวนการผลิตเหรียญ 1 บาท รุ่นใหม่ไส้เหล็กเคลือบ никเกลสำเร็จรูปต่อดวงตรา (แม่พิมพ์) 1 คู่ (ชุด) ให้ได้ประมาณ 200,000 เหรียญต่อแม่พิมพ์ (Die) 1 คู่

1.3 สมมติฐานงานวิจัย

งานวิจัยนี้ทำให้อาจการใช้งานของแม่พิมพ์ ด้านหัว และ ก้อย มากขึ้น

1.4 ขอบเขตงานวิจัย

1.4.1 ใช้เหล็กทำดวงตรา (แม่พิมพ์) จำนวน 2 ชนิด 2 บริษัท ในการทดลอง

1.4.2 เหล็กที่ใช้ทำ ดวงตรา (แม่พิมพ์) ทั้งด้านหัวและด้านก้อย ใช้วิธีการชุบเคลือบ PVD ชนิดสารเคลือบ CrN ชุบเคลือบเหมือนกัน ในเตาเดียวกันกับเหล็กทั้ง 2 ชนิด

1.4.3 ความหนาของผิวเคลือบ CrN หนา $1\text{ }\mu\text{m}$, $2\text{ }\mu\text{m}$ และ $3\text{ }\mu\text{m}$

1.4.4 เหรียญที่ใช้ในการทดลองเป็นเหรียญ 1 บาท รุ่นใหม่ไส้เหล็กเคลือบ nikเกลหนา $\pm 25\text{ }\mu\text{m}$

1.4.5 เครื่องผลิตเหรียญ 1 บาท ใช้ความเร็วในการผลิต 850 เหรียญ ต่อ นาที ในการปั๊มครั้งเดียวกันทั้งด้านหัวและด้านก้อย

1.5 ขั้นตอนการดำเนินงานวิจัย

การดำเนินการวิจัยประกอบด้วย 5 ขั้นตอนหลักดังนี้

1.5.1 การจัดเตรียมเครื่องจักรและวัสดุอุปกรณ์

1.5.2 ดำเนินการทดลอง

1.5.3 การวิเคราะห์ผลการทดลอง

1.5.4 การปรับปรุงกระบวนการเป็นขั้นตอนของการเลือกวิธีการแก้ไขปัญหา โดยพิจารณาหาวิธีการแก้ไขปัญหาเบรี่ยงเทียนกับก่อนและหลังปรับปรุง

1.5.5 สรุปผลการทดลองและข้อเสนอแนะ

ตารางที่ 1.1 แผนการดำเนินงานวิจัย

การดำเนินการ	พ.ย.53	ธ.ค.53	ม.ค.54	ก.พ.54	มี.ค.54	เม.ย.54	พ.ค.54	มิ.ย.54
การจัดเตรียม	↔							
ดำเนินการทดลอง		↔						
การวิเคราะห์ผลการทดลอง			↔				→	
วิเคราะห์ผล			↔			→		
การปรับปรุงกระบวนการ							↔	
สรุปผลการทดลอง							↔	

1.6 ประโยชน์ที่ได้รับจากการวิจัย

ปริมาณเหรียญ 1 บาท สำเร็จรูปที่ได้ต่อดวงตรา 1 คู่ เพิ่มขึ้นประมาณ 200,000 เหรียญ ต่อดวงตรา 1 คู่ จากเดิม 40000 – 50000 เหรียญ ต่อดวงตรา (แม่พิมพ์) 1 คู่

1.7 ข้อจำกัดในการทำวิจัย

- 1.7.1 ต้องรักษาไว้ซึ่งความส่วนกลางของลวดลาย
- 1.7.2 การเบิกจ่ายเงินงบประมาณอาจใช้เวลา長

บทที่ 2

ทฤษฎีและงานวิจัยที่เกี่ยวข้อง

2.1 เหรียญ 1 บาท

เหรียญกษาปณ์หมุนเวียนชนิดราคา 1 บาท พลิตขึ้นจากโลหะสีขาวจึงมีค่าในตัวเองเพื่อใช้ในการแลกเปลี่ยนสินค้าโดยกำหนดให้มีขนาดและน้ำหนักสอดคล้องกับราคาน้ำเงิน ในการกำหนดรายละเอียดคุณลักษณะเฉพาะของเหรียญกษาปณ์แต่ละชนิดราคាត้องคำนึงถึงคุณสมบัติของโลหะ ด้านทุนการผลิต แหล่งแร่ภายในประเทศ จำนวนผู้ผลิตและแหล่งผลิต การใช้กับเครื่องหมายด้วยเหรียญในบางชนิดราคา ผลกระทบต่อสุขภาพและสิ่งแวดล้อม รวมทั้งความสะดวกในการจับจ่ายใช้สอย

ในปัจจุบันเหรียญ 1 บาท ได้เปลี่ยนมาใช้วัสดุชนิดไส้เหล็กเคลือบผิวด้วยnickelชั่งต่างกับเหรียญ 1 บาท รุ่นก่อนซึ่งใช้วัสดุชนิดทองแดงผสมnickelทำให้เหรียญมีต้นทุนสูงมากกว่าราคาน้ำเงินซึ่งเป็นเหตุผลสำคัญที่ทำให้ต้องเปลี่ยนมาใช้วัสดุที่มีราคาถูกลง แต่ยังคงความสวยงาม มีคุณค่าสามารถทนต่อการกัดกร่อน ได้ดีอีกด้วย ซึ่งรายละเอียดและคุณลักษณะเฉพาะของเหรียญ 1 บาท มีดังนี้

2.1.1 เหรียญ 1 บาท รุ่นก่อน

- 1) ขนาดเส้นผ่านศูนย์กลาง 20 มิลลิเมตร
- 2) น้ำหนัก 3.4 กรัม
- 3) ฟันเพื่องรองรอบเหรียญจำนวน 130 ฟันเพื่อง
- 4) ความแข็ง 80 HV (10)

5) วัสดุ เหรียญ 1 บาท เป็นโลหะผสมประกอบด้วยทองแดง (Cu) 75% nickle (Ni) 25% ซึ่งสามารถบุกร่วนผสมหลัก กือ ทองแดงและnickelในสัดส่วน 75:25 โดยประมาณ โลหะดังกล่าว มีส่วนผสมสอดคล้องกับโลหะทองแดงผสมnickel (Copper-Nickelalloy) ซึ่งมีชื่อเรียกเฉพาะว่า คิวโพร-นิกเกิล (Cupro-Nickel)

6) คุณสมบัติ ด้วยการผสมnickelถึง 25 % สีของโลหะผสมจะเปลี่ยนเป็นสีของnickel เพียงอย่างเดียวสมบัติเด่นของโลหะชนิดนี้คือ สามารถขึ้นรูปเย็น ได้ดีมีความด้านทานการกัดกร่อนที่ดีมาก โดยเฉพาะการกัดกร่อนในลักษณะไฟฟ้าเคมี (Electro-Chemical Corrosion) ใช้เป็นวัตถุคุณภาพในการผลิตเหรียญในระดับสากล ซึ่งอาจเรียกได้ว่าโลหะที่ใช้ทำเหรียญโดยเฉพาะ ทำให้เหรียญมีความงามตามคุณค่า

2.1.2 เหรียญ 1 บาท รุ่นใหม่

- 1) ขนาดเส้นผ่านศูนย์กลาง 19.75 – 19.85 มิลลิเมตร
- 2) น้ำหนัก 3.4 กรัม
- 3) ฟันเพื่อรองรอบเหรียญจำนวน 130 ฟันเพื่อง
- 4) ความแข็ง 110 HV (30)
- 5) วัสดุ เหรียญ 1 บาท เป็นวัสดุไส้เหล็กเคลือบnickel ด้วยกระบวนการเคลือบผิวด้วยไฟฟ้า (Electro Plating) ส่วนผสมทางเคมีบริเวณโลหะไส้เหล็ก C 0.10 %, Mn 0.50 %, P 0.04 %, S 0.05 %, Fe Bal (Low Carbon Steel) ส่วนผสมทางเคมีของผิวนิกเกิล Ni 99.44% หนาไม่น้อยกว่า 25 μm



ภาพที่ 2.1 การตัดขวางเหรียญ 1 บาท รุ่นใหม่

6) สมบัติเพิ่มความด้านทานการเสื่อมสภาพของผิวอันเนื่องมาจากการใช้งานและอีกทั้งยังสามารถเพิ่มความสวยงามแก่ชิ้นงาน ในกระบวนการเคลือบผิวโลหะนิกเกิลเป็นโลหะที่มีการนำไปใช้งานอย่างแพร่หลายเนื่องจากสมบัติเด่นเฉพาะตัว เช่น มีความด้านต่อการเกิดออกซิเดชั่น (Oxidation) และการกัดกร่อน (Corrosion) สูง มีความ延展性 (Ductility) และอ่อนตัวสูงสามารถขึ้นรูปเย็นได้ง่าย น้ำหนักเบา ราคาถูก

2.2 โลหะนิกเกิล (Nickel)

นิกเกิลเป็นธาตุที่เชื่อกันว่ามีปริมาณมากบริเวณใจกลางของโลก เหตุที่เชื่อเช่นนี้มาจากการวิเคราะห์พบปริมาณนิกเกิลสูงจากสะเก็ดดาว (Meteorites) ที่ตกมายังโลก และสะเก็ดดาวที่ของนิกเกิลจำนวนน้อย มีไม่กี่แห่งในโลกที่พบแหล่งแร่นิกเกิลที่มีปริมาณสูงในเชิงพาณิชย์ประเทศที่

พน Hayden แร่นิกเกิลที่สำคัญได้แก่ประเทศคานาดา และแคนาดาคากลางของประเทศรัสเซีย แร่นิกเกิลที่พบจะอยู่ในรูปของชั้นไฟด์ซึ่งจะปนอยู่กับแร่ทองแดง โโคบอลต์ และแร่โลหะที่อยู่ในกลุ่มของแพลทินัม (แพลเดเดียม, ออสเนียม เป็นต้น) แร่นิกเกิลที่พบจะมีนิกเกิลอัตราห่วง 0.8-5.5% ที่เหลือเป็นทองแดง โโคบอลต์ และเหล็กอิกเล็กน้อย ประเทศไทยยังไม่ปรากฏบนแร่นิกเกิลที่ได้มีเพียงข่าวที่ไม่เป็นทางการพบแร่นิกเกิลที่จังหวัดค่านหันนกเข้าบริเวณชายแดนไทย-ลาว [1]

2.3 โลหะวิทยาของนิกเกิลและโลหะนิกเกิลผสม

นิกเกิลเป็นโลหะที่มีความด้านทานต่อการเกิดออกซิเดชันและการกัดกร่อนสูง เป็นโลหะที่มีสีขาวสว่าง มีความเหนียวและอ่อนตัวสูงสามารถขึ้นรูปเย็นได้โดยง่าย นอกจากนี้นิกเกิลสามารถละลายกับโลหะอื่นได้ง่ายและให้สารละลายของแข็งที่มีความเหนียว ประมาณ 60% ของนิกเกิลที่ใช้ในอุตสาหกรรมผลิตเหล็กกล้ารีสันิมและเหล็กกล้าผสม [1] ส่วนที่เหลือจะใช้ทำโลหะนิกเกิลผสมที่ใช้ในงานพิเศษที่ทนการกัดกร่อนสูงๆ และใช้เคลือบผิวเหล็ก (Electroplating) โดยอาศัยคุณสมบัติในการกัดกร่อนและให้สารละลายของแข็งได้ง่าย เมื่อพิจารณาด้านสมบัติเชิงกลจะพบว่ามีคุณสมบัติเทียบเท่าเหล็กกล้าคาร์บอนต่ำ ที่เหนือกว่าตรงที่สามารถรักษาความเหนียวได้ดีในช่วงอุณหภูมิต่ำ คุณสมบัติตัวนำไฟฟ้าของนิกเกิลจะสูงไม่เท่าทองแดงและอลูมิเนียม แต่สูงพอที่จะใช้ได้ในบังกรณีที่ข้าวสาบหรือเทอร์มินอลในงานอิเล็กทรอนิกส์ ในบรรยายกาศใช้งานถ้ามีแก๊สของกำมะถันอยู่ด้วยจะมีส่วนทำให้นิกเกิลขาดความด้านทานที่ดี และบางที่อาจจะเปราะแตกง่าย ส่วนใหญ่ไม่ใช่นิกเกิลในสภาพโลหะบริสุทธิ์ เพราะนิกเกิลมีราคาสูงเมื่อเทียบกับโลหะชนิดอื่นๆ จะใช้ในลักษณะโลหะผสม และกรณีที่มีความจำเป็นเพื่ออาศัยคุณสมบัติพิเศษของนิกเกิลเท่านั้น

2.3.1 คุณสมบัติทางพิสิกส์

น้ำหนักอะตอม	58.69
โครงสร้างระบบผลึก	Face Centered Cubic ($a = 3.516^{\circ}\text{A}$)
ความหนาแน่น (25°C)	8.89 g/cm^3
อุณหภูมิหลอมเหลว	$1435\text{-}1445^{\circ}\text{C}$
จุดเดือดภายในเป็นไอ	2730°C
ความร้อนจำเพาะ ($27\text{-}100^{\circ}\text{C}$)	$0.130 \text{ cal/g}^{\circ}\text{C}$
ความร้อนแผงของการหลอมละลาย	73.8 cal/g
สัมประสิทธิ์การขยาย ($27\text{-}100^{\circ}\text{C}$)	$13 \times 10^{-6} / ^{\circ}\text{C}$
ความด้านทานไฟฟ้าจำเพาะ (20°C)	9.5 microhm.cm

สัมประสิทธิ์ต้านความร้อน (27° - 100° C) $0.145 \text{ cal.cm/cm}^2 \cdot \text{s. } ^{\circ}\text{C}$

2.3.2 คุณสมบัติเชิงกล

ความแข็งแรงหรือต้านทานแรงดึง (Tensile Strength)	47 kg/mm^2
พิกัดความยืดหยุ่น (Elastic Limit)	15 kg/mm^2
อัตราการยืดตัว (Percent Elongation)	40%
ความแข็ง (Hardness)	110 HB.
โมดูลัสของ การยืดหยุ่น (Modulus of Elasticity)	21000 kg/mm^2

2.4 โลหะโครเมียม (Chromium)

โลหะโครเมียมที่ผลิตได้ประมาณครึ่งหนึ่งจะอยู่ในรูปของเฟอร์โร โครม ซึ่งจะใช้ในการผลิตเหล็กกล้าผสม และเหล็กกล้าไร้สนิม โดยเน้นที่คุณสมบัติความสามารถในการชุบแข็ง และความต้านทานต่อการกัดกร่อนของเหล็ก ส่วนที่เหลือจะใช้ในอุตสาหกรรมเคลือบผิวเหล็ก (Chrome Plating) และอุตสาหกรรมผลิตโลหะทนความร้อน โลหะทนการกัดกร่อน โดยผสมร่วมกับนิกเกิล ไมโครเดนิม ทองแดง และอื่นๆ เช่น โลหะผสม Nichrome, Inconel และ โลหะผสมในกลุ่ม Hastelly แร่โครเมียมที่สำคัญในเชิงพาณิชย์ได้แก่ แร่ Chromite หรือ Chromite Iron ($\text{FeO.Cr}_2\text{O}_3$) เป็นแร่ที่มีน้ำหนักเสื่อมน้ำตาล ซึ่งประกอบด้วยโครเมียมออกไซด์ (Cr_2O_3) ประมาณ 33-35% ส่วนใหญ่แร่ที่พบนักจะอยู่ร่วมกับชิลลิคอนออกไซด์ อะลูมิเนียมออกไซด์ และแมงกานีสออกไซด์ แหล่งแร่ที่สำคัญของโลหะได้แก่ สาธารณรัฐคิวบา กรีซ ตุรกี และอาฟริกา ประเทศไทย พนแหล่งแร่โครไมต์บริเวณจังหวัดอุตรดิตถ์ที่เป็นแหล่งสำคัญของประเทศไทยเชิงพาณิชย์ แต่ก็เป็นแหล่งแร่ขนาดเล็ก อีกแหล่งที่สำคัญรองลงมาได้แก่แหล่งแร่ที่จังหวัดนราธิวาส [1]

แร่โครไมต์จัดเป็นวัตถุดินที่มีความสำคัญในอุตสาหกรรมหลายประเภท ได้แก่ อุตสาหกรรมผลิตวัสดุทนไฟ (Refractory) อุตสาหกรรมเคมีผลิตสารประกอบ เช่น โครเมต และ โครมอลัม อุตสาหกรรมผลิตเฟอร์โร โครม และอุตสาหกรรมผลิตโลหะโครเมียม เป็นต้น

การใช้โลหะโครเมียมในอุตสาหกรรมส่วนใหญ่จะไม่ใช้ในสภาพโลหะบริสุทธิ์ เช่น ในอุตสาหกรรมเหล็กจะใช้ในรูปของเฟอร์โร โครม และในอุตสาหกรรมผลิตโลหะผสมนอกกลุ่มเหล็ก ยังคงใช้ผสมโดยมีเหล็กเจือปน ในอุตสาหกรรมเคลือบผิวที่ไม่ใช่โลหะโครเมียมบริสุทธิ์ เอกสารอ้างอิงส่วนใหญ่กล่าวถึงการคลุกเพื่อให้โลหะโครเมียมบริสุทธิ์บ้าง แต่จะเป็นโลหะโครเมียมบริสุทธิ์เพียง 99.5%

2.5 โลหะวิทยาของโครเมียมและโครเมียมผสม

โครเมียมเป็นโลหะที่มีความแข็งแรงและความแข็งอยู่ในเกณฑ์สูงกว่าโลหะนอกรุ่นเหล็กทั่วๆไป แต่ไม่มีความหนึบตัวที่อุณหภูมิปกติ นอกจานนี้คุณสมบัติโดยเฉพาะเชิงกลจะเปลี่ยนแปลงได้มากขึ้นอยู่กับความบริสุทธิ์ การผลิตและลักษณะการขึ้นรูป การใช้งานโลหะโครเมียมในสภาพบริสุทธิ์จะใช้เคลือบผิวโลหะอื่นโดยเฉพาะเหล็ก (Electroplating) จะกระทำการทดสอบลักษณะคือ เพื่อความสวยงาม (Silver White) และป้องกันสนิมเคลือบบางมากและจะต้องเคลือบรองพื้นด้วยทองแดงหรือนิกเกิลก่อน อีกลักษณะหนึ่งเคลือบในลักษณะเพิ่มความแข็งให้กับชิ้นโลหะเพื่อเสริมความต้านทานต่อการสึกหรอที่เรียกว่า Hard Chrome หรือ Hard Plating จะเคลือบหนาและผิวโครเมียมมีแรงเข้ามีประสานกับผิวของชิ้นโลหะ ซึ่งใช้มากในงานเคลือบผิวแม่พิมพ์พลาสติกที่ต้องการความคงทนต่อการสึกหรอและการกัดกร่อน ล่วงการใช้งานโลหะโครเมียมที่มีปริมาณสูงคือใช้ในลักษณะเป็นโลหะผสมในเหล็กกล้าผสมและเหล็กกล้าไร้สนิม (Stainless Steel) นอกจานนี้ใช้ผลิตโลหะผสมอื่นๆ เช่น โลหะโครเมล อินโโคเนียแล็ตเตลลอย และอื่นๆ [1]

2.5.1 คุณสมบัติทางฟิสิกส์

น้ำหนักอะตอม	52
ระบบโครงสร้าง	Body-Centred Cubic
ความหนาแน่น (20°C), g/cm 3	$a_0 = 2.8844 - 2.8848 \text{ A}^{\circ}$
อุณหภูมิหลอมเหลว	7.19
อุณหภูมิเดือดภายในเป็นไอ	1875°C
ความร้อนจำเพาะ (25°)	2199°C
ความร้อนแ放ของ การหลอมละลาย	0.123 cal/g°C
สัมประสิทธิ์การขยายตัว (20°)	3.2 – 3.5 kcal/mole
ความต้านทานไฟฟ้าจำเพาะ (20°C)	6.2×10^{-6}
	12.9 microhm/cm.

2.5.2 คุณสมบัติเชิงกล

เนื่องจากการผลิตโลหะโครเมียมมีหลายกระบวนการ ทำให้คุณสมบัติเชิงกลของโลหะโครเมียมแตกต่างกันมาก จากเอกสารอ้างอิงได้กล่าวถึงคุณสมบัติเชิงกลของโครเมียมไว้พอสังเขปดังนี้

โครเมียมโดยกรรมวิธีแยกด้วยกระแทกไฟฟ้า มีค่าความต้านทานแรงดึง 83 Mpa อัตราการยืดตัว (Elongation) และ Reduction of Area 0% โนมูลัสการยืดหยุ่น 0.248 GPa ที่อุณหภูมิ 20°C

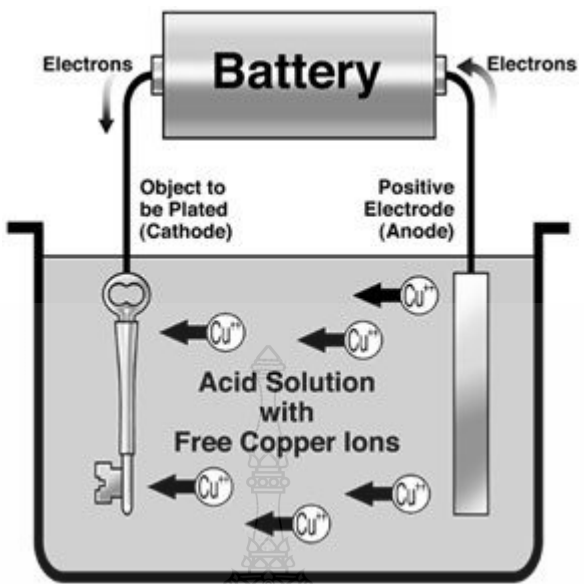
โลหะ โครเมียม พลิต โดยกรรมวิธีใช้ Lodide หรือ Loddide Chromium ในสภาพตื้อัดขึ้นรูป เป็นแท่งที่อุณหภูมิห้อง มีความต้านทานแรงดึง 413 MPa จุดคลาก (0.2%) 362 MPa อัตราการยืดตัว 44% และ Reduction of Area 78% ภายหลังเมื่ออบความร้อนให้เกิดการตกผลึกใหม่ (Recrystallized) ความต้านทานแรงดึงลดลงเหลือ 282 MPa ไม่สามารถยืดตัวได้ (% Elongation และ Reduction of Area 0%)

2.6 การเคลือบผิวนิกเกิลเหรียญ 1 นาท

กรรมวิธีเคลือบผิวเหรียญ 1 นาท ใช้กรรมวิธีการเคลือบด้วยไฟฟ้า (Electroplating Process) เป็นวิธีการเคลือบผิวโลหะที่นิยมกันแพร่หลาย การเคลือบผิวคัววิธีนี้สามารถควบคุมความหนาบางของโลหะที่เคลือบได้ดีกว่า และผิวที่เคลือบก็สม่ำเสมอตั้งยังสามารถบิดงอได้ดีพอสมควร โดยไม่แตกร้าว或是กัด โลหะที่นำมาเคลือบก็อาจเป็นทองแดง นิกเกิล โครเมียม แแคดเมียม ทองคำ เงิน ดิบุก สังกะสีและอื่นๆ ก่อนเคลือบผิวคัวกรรมวิธีทางไฟฟ้า การเคลือบผิวโดยวิธีไฟฟ้าเคมีนี้ ชั้นงานที่จะนำโลหะอื่นมาเคลือบจะเป็นคาวาโทด (Cathode) ส่วนตัวโลหะที่จะเคลือบจะเป็นอาโนด (Anode) ซึ่งจะละลายลงไปใน อิเล็กโทรไลต์ (Electrolyte) มีเคลือของโลหะนั้นๆ ละลายอยู่ในขณะที่โลหะบางส่วนจะเคลือบผิวคาวาโทด ดังนั้นความเข้มข้นของโลหะใน อิเล็กโทรไลต์ จึงคงที่อยู่เสมอ ในกรณีที่อาโนดเป็นตัวนำ เช่น เหล็กกล้าไร้สนิม ตะกั่วหรือแท่งคาร์บอน โลหะที่ไปเคลือบผิวอาจอยู่ในลักษณะเคลือบที่ละลายอยู่ในอิเล็กโทรไลต์ ก็ได้ [1]

การควบคุมการเคลือบผิวโลหะแบบนี้ให้ได้ผลดีคือ โลหะที่เคลือบติดแน่นและสม่ำเสมอ จะต้องควบคุมโดยเข้มงวดทั้งความต่างศักย์ไฟฟ้าความเข้มของกระแสไฟฟ้า ผิว คาวาโทด โดยมีหน่วยวัดเป็นแอม培ร์ต่อตารางเมตร สัดส่วนของพื้นที่อาโนดต่อพื้นที่คาวาโทด เวลาที่ใช้ในการเคลือบผิวรวมทั้งองค์ประกอบและอุณหภูมิของ อิเล็กโทรไลต์ ความหนาของโลหะที่เคลือบโดยทั่ว ๆ ไปจะมีความหนาดังนี้คือ

- 1) เคลือบนิกเกิลจะหนาประมาณ 0.0075 – 0.05000 มิลลิเมตร (7.5 – 50 μm)
- 2) เคลือบโครเมียมจะหนาประมาณ 0.00025 – 0.00125 มิลลิเมตร (0.25 – 1.25 μm)
- 3) เคลือบทองแดงจะหนาประมาณ 0.0075 – 0.02500 มิลลิเมตร (7.5 – 25 μm)
- 4) เคลือบแแคดเมียมจะหนาประมาณ 0.005 – 0.01250 มิลลิเมตร (5 – 12.5 μm)
- 5) เคลือบเงินจะหนาประมาณ 0.0075 – 0.03000 มิลลิเมตร (7.5 – 30 μm)

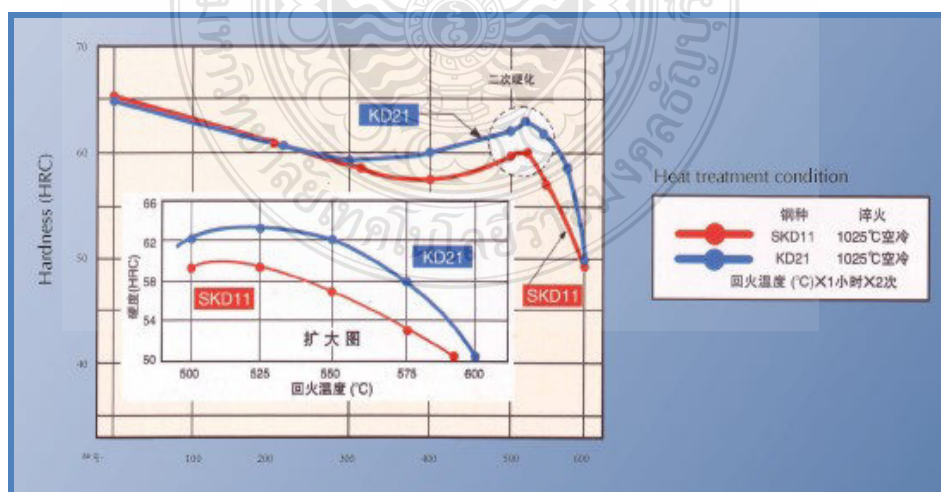


ภาพที่ 2.2 กรรมวิธีเคลือบผิวโดยไฟฟ้า (Electroplating Process) [2]

2.7 วัสดุที่ใช้ผลิตแม่พิมพ์เหลี่ยม 1 บาท (รุ่นเก่า)

2.7.1 แม่พิมพ์ปั๊มเหลี่ยม 1 บาท รุ่นเก่า (คิวโนะนิกเก็ล)

ใช้เหล็ก KD21 (NIPPON KOSHUHA) ประเภทสแตนเลส ส่วนผสมทางเคมี C 0.97%, Si 1%, Mn 0.34 %, P 0.19 %, S 0.08 %, Cr 7.88 %, Mo 1.90 %, V 0.41% เป็นเหล็กเครื่องมืองานเย็น (Cold Work Tool Steel) เป็นเหล็กที่มีความแข็งหลังการอบคืนไฟ (Tempering) สูงถึงประมาณ 60 – 62 HRC [3]



ภาพที่ 2.3 ความสัมพันธ์ระหว่างอุณหภูมิการอบคืนไฟกับความแข็งของเหล็ก KD21 [3]

2.8 สมบัติของชาตุเมื่อผสมในเหล็กกล้า [4]

2.8.1 คาร์บอน (Carbon; C) คาร์บอนมีอิทธิพลต่อจุดหลอมเหลวของเหล็ก คือจะทำให้จุดหลอมเหลวต่ำลงจึงทำให้เหล็กหลอมได้ง่ายขึ้น นอกจากนี้ยังทำให้เหล็กแข็งขึ้นสามารถชุบแข็ง

2.8.2 (Chromium; Cr) โครเมียม เพิ่มความแข็งแรง ด้านทานการเป็นสนิม และคงทนต่อการกัดกร่อน

2.8.3 (Manganese; Mn) แมงกานีส เพิ่มความคงทนในการรับแรงกระแทก เพิ่มความเหนียวและคงทนต่อการสึกหรอ

2.8.4 (Nickel; Ni) นิกเกิล เพิ่มความคงทนในการกัดกร่อน เพิ่มความเหนียว และความแข็งแรง

2.8.5 (Molybdenum; Mo) โมลิบเดียม เพิ่มความแข็ง ทนความร้อนสูง คงความแข็งที่อุณหภูมิสูง และด้านทานการสึกหรอ

2.8.6 (Vanadium; V) วาเนเดียม เพิ่มความเหนียว ความแข็ง และคงความแข็งที่อุณหภูมิสูง

2.8.7 (Silicon; Si) ซิลิคอน เพิ่มความคงทนในการกัดกร่อน

2.8.8 (Tungsten; W) ทังสเตน คงความแข็งที่อุณหภูมิสูง เพิ่มความแข็งแรง และคงทนต่อการกัดกร่อน

2.9 วัตถุประสงค์ในการนำชาตุต่างๆ มาผสมในเหล็ก

2.9.1 สามารถทนต่อแรงกระแทกได้สูง

2.9.2 รักษาความแข็งของผิวให้ทนต่อการสึกหรอหรือการตัด

2.9.3 เพิ่มความด้านทานต่อการเปลี่ยนแปลงทางเคมี

2.9.4 เพิ่มสมบัติทางเชิงกลในการใช้งานที่อุณหภูมิสูงหรือต่ำ

2.9.5 เพิ่มความแข็งแรงในการรับภาระ (Load)

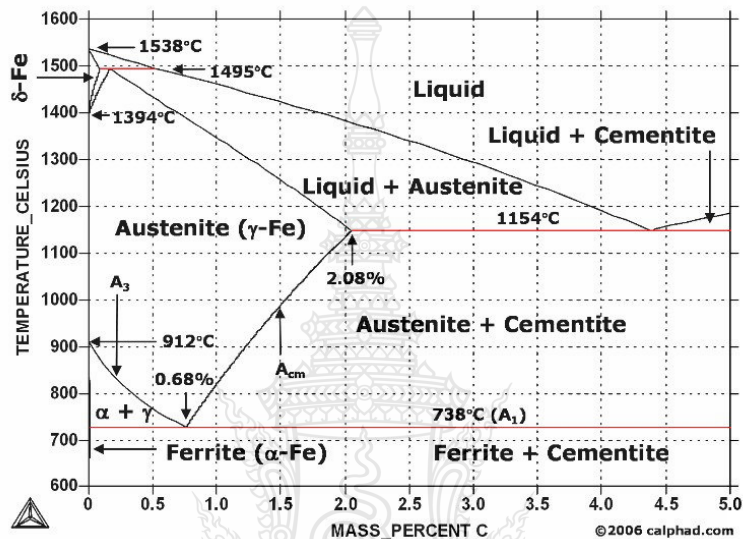
2.9.6 รักษาความสามารถในการแปรรูปบนเครื่องขักร ได้ดี

2.9.7 เพิ่มสมบัติทางเชิงกล ตลอดจนการควบคุมองค์ประกอบซึ่งมีผลต่อความสามารถ ในการชุบแข็ง และเพิ่มความเหนียว

2.10 การชุบแข็ง (Hardening)

กรรมวิธีการชุบแข็งเหล็กกล้ากระทำเพื่อให้เหล็กกล้ามีความแข็ง ทนต่อการเสียดสีและมีความแข็งแรงเพิ่มขึ้น กรรมวิธีการชุบแข็งเหล็กกล้านี้กระทำได้โดยการเผาเหล็กให้ร้อนจนกระทั่งมีความร้อนสูงกว่าอุณหภูมิวิกฤตถึงสุดประมาณ 50 องศาเซลเซียส แล้วเผาแข็งไว้ระยะเวลาหนึ่ง เพื่อให้

เหล็กกล้านั้นได้รับความร้อนโดยทั่วถึงตลอดทั้งชิ้นและให้เหล็กกล้าเปลี่ยนโครงสร้างเป็นօลเทน ในต่อโดยสมบูรณ์ แล้วจึงทำให้เย็นตัวอย่างรวดเร็วในสารจุ่มชุบในการทำให้เย็นตัวอย่างรวดเร็วในสารจุ่มชุบเราเรียกว่า การจุ่มชุบ (Quenching) เพื่อให้เหล็กมีโครงสร้างภายใต้เป็นโครงสร้างที่แข็ง (Hardness) เช่น โครงสร้างแบบมาร์เกน ไซต์ [4]



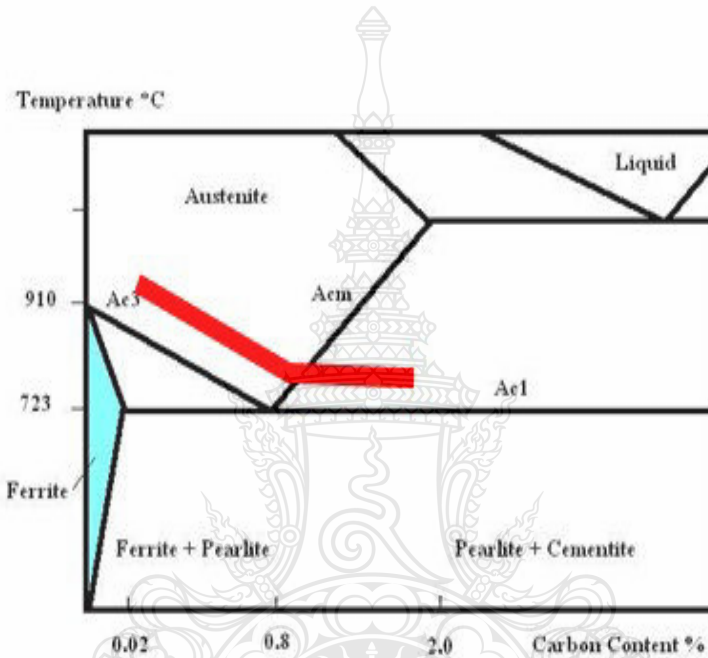
ภาพที่ 2.4 (Fe-C) Phase Diagram

2.11 การอบอ่อน (Annealing)

การให้ความร้อนและอบแห้งจะช่วยลดอุณหภูมิเหล็กให้ลดลง แต่ก็ต้องคำนึงถึงความคุ้มค่าและประสิทธิภาพของการผลิต ดังนั้น กระบวนการอบอ่อนจะต้องคำนึงถึงตัวแปรต่างๆ ที่สำคัญ เช่น การขึ้นรูปร้อน (Forging and Hot Rolling Process) การขึ้นรูปเย็น (Cold Rolling Process) หรือการหล่อ (Casting Process)

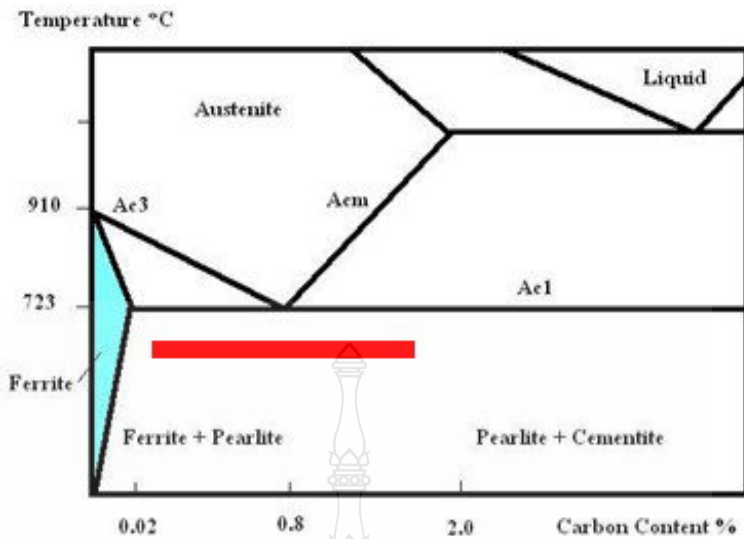
2.11.1 การอบอ่อนอย่างสมบูรณ์ (Full Annealing) การอบอ่อนจะอบเหล็กให้มีอุณหภูมิเหลือเดือน A_{C_3} ประมาณ 30-50 องศาเซลเซียส ในกรณีของเหล็กไฮโปอูเตกตอยด์ (Hypo-Eutectoid) และเหลือเดือน A_{C_1} ในกรณีของเหล็กไฮเปอร์อูเตกตอยด์ (Hyper-Eutectoid) อัตราการให้ความร้อนประมาณ 30-200 องศาเซลเซียส ต่อชั่วโมงเพื่อป้องกันลักษณะของชิ้นงาน ถ้าชิ้นงานมีรูปร่างแท่งตันจะอบท่ออัตราสูง และควรใช้ท่ออัตราอบที่ต่ำเมื่อแผ่นเหล็กมีความหนาที่แตกต่างกันมาก เมื่อบนจนถึงอุณหภูมิที่ต้องการแล้วควรทิ้งไว้ที่อุณหภูมนี้ประมาณ 30-60 นาที ต่อความหนาเฉลี่ย 25 มิลลิเมตร

หลังจากนั้นปล่อยให้เย็นช้าๆ ในอัตรา 150 - 200 องศาเซลเซียสต่อชั่วโมง (ในทางปฏิบัติปล่อยให้เย็นตัวภายนอก) การเปลี่ยนแปลงโครงสร้างของเหล็กจะไปเป็นในลักษณะใกล้เคียงสภาพสมดุล โครงสร้างที่เป็นอยู่ก่อนอบอ่อนซึ่งอาจจะเป็นมาร์เทนไไซต์ (Martensite) เป็นไนต์ (Beinite) หรือซอร์ไบต์ (Sorbite) เหล็กกล้าจะเปลี่ยนเป็นเพิร์ลไลต์ (Pearlite) กับ เฟอร์ไรต์ (Ferrite) สำหรับเหล็กไฮโปซูทีคตอยด์ จะเป็นเพิร์ลไลต์ (Pearlite) สำหรับเหล็กไฮเปอร์ยูทีคตอยด์ ส่วนเหล็กซูทีคตอยด์ (Eutectoid) เป็นโครงสร้างเพิร์ลไลต์ (Pearlite) 100 เปอร์เซ็นต์ [4]



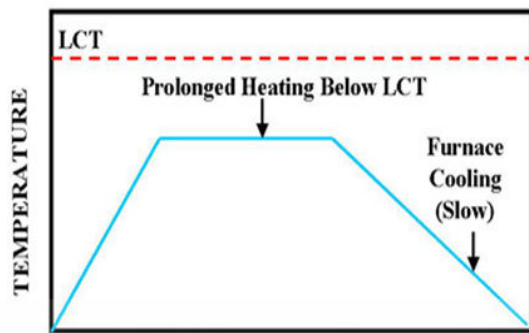
ภาพที่ 2.5 ช่วงอุณหภูมิในการอบอ่อนอย่างสมบูรณ์

2.11.2 การอบคลายความเส้น หรือการอบใต้ภาวะวิกฤต (Stress-Relief Annealing or Subcritical Annealing) เป็นการอบอ่อนเพื่อมุ่งทำลายความเครียดภายในเหล็กหลังจากการขึ้นรูปเย็น เช่นเหล็กที่ผ่านการรีดหรือการดึง จะทำให้เกิดร่องรอยของอัตโนมัติของเหล็กอยู่ในสภาพบิดเบี้ยวทำให้เหล็กมีความแข็งเพิ่มขึ้นและสูญเสียความเหนียว ไม่เหมาะสมนำไปใช้งานหรือไม่เหมาะสมสำหรับการขึ้นรูปครั้งต่อไป จะต้องทำการอบอ่อนภายในเสียก่อน โดยอบที่อุณหภูมิต่ำกว่าเส้น A_{C1} (500- 650 องศาเซลเซียส) ใช้เวลาประมาณ 1-2 ชั่วโมง กลุ่มอะตอมที่ไม่สมดุลย์จะค่อยๆ กลับคืนสภาพปกติหรือรวมตัวกันใหม่ ที่ปราศจากความเครียด โดยที่โครงสร้างส่วนใหญ่จะไม่เปลี่ยนแปลง เพราอุณหภูมิไม่สูงจนเกิดการเปลี่ยนแปลงโครงสร้างเดิมจนเป็นอустեนไนต์ (Austenite) ภายหลังเมื่อทิ้งไว้ที่อุณหภูมิ 550-650 องศาเซลเซียส นานพอแล้วปล่อยให้เย็นในอากาศ [4]

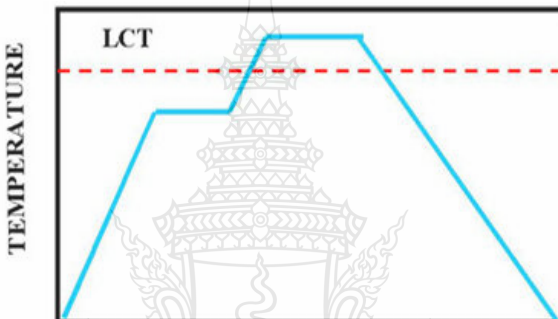


ภาพที่ 2.6 ช่วงอุณหภูมิในการการอบคลายความคื้น หรือการอบได้ภาวะวิกฤต

2.11.3 การอบเพื่อความอ่อนตัวสูง (Spheroidizing Annealing) เป็นกรรมวิธีที่ใช้กับเหล็กที่มีปริมาณคาร์บอนตั้งแต่ 0.8 เปอร์เซ็นต์ ขึ้นไปซึ่งโครงสร้างของเหล็กที่มีปริมาณคาร์บอน 0.8 เปอร์เซ็นต์ เป็นเพรลไลต์ และเหล็กที่มีปริมาณคาร์บอนตั้งแต่ 0.8 เปอร์เซ็นต์ ขึ้นไปโครงสร้างประกอบด้วยเพรลไลต์ และโปรยุทธ์คตอยด์ซีเมนไทต์ (Pro-Eutectoid Cementite) ตามขอบเกรน ลักษณะโครงสร้างเช่นนี้เหล็กจะมีความเหนียวลดลง และอีกคุณสมบัติทางด้านการกลึงหรือไสจะไม่ดีทำให้ผิวเรียบยาก เพราะปลายมีคลึงตัดผ่านเนื้อเหล็กที่อ่อนและแข็ง слับกันเนื้อเหล็กจะไม่เรียบ การแก้ไขต้องทำให้โปรยุทธ์คตอยด์ซีเมนไทต์ ไม่ต่อเนื่องและยุทธ์คตอยด์ซีเมนไทต์ (Eutectoid Cementite) ในเพรลไลต์ ให้มีลักษณะกลมๆ เล็กๆ (Spherical) ไม่เป็นແຄบบางๆ (Plate) ซึ่งทำได้โดยนำเหล็กไปอบที่อุณหภูมิเหนือเส้น A_{C_1} เล็กน้อยสำหรับเหล็กที่มีปริมาณคาร์บอนสูงกว่า 0.8 เปอร์เซ็นต์ หรือถ้าเหล็กที่มีปริมาณคาร์บอน 0.8 เปอร์เซ็นต์ จะอบที่อุณหภูมิต่ำกว่า A_{C_1} เล็กน้อยแล้ว ปล่อยไปให้สูงกว่า A_{C_1} ทำ слับกันไปประมาณ 10 -15 ชั่วโมง จากนั้นปล่อยให้เย็นในอากาศ ในขณะที่เหล็กอยู่เหนือเส้น A_{C_1} ซีเมนไทต์ (Cementite) ในเพรลไลต์ จะขาด เสียรากภาพเกิดการขาดเป็นช่วงๆ และเมื่ออุณหภูมิต่ำลงกว่า A_{C_1} ซีเมนไทต์ จะแตกตัวเป็นอสเทนไนต์ (Austenite) จะไปรวมตัวกับซีเมนไทต์ ที่เหลืออยู่ไม่ให้เกิดແຄบบางๆ ถ้าเหล็กถูกอบอยู่ในช่วงนี้ระยะนานจะค่อยๆ ปรับตัวเป็นฟอร์มที่สเกียร์ภาพมากที่สุดคือ ค่อมๆ เปลี่ยนเป็นเม็ดกลมทำให้เหล็กอ่อนตัวและความเหนียว การกลึงและไสจะทำให้เนื้อผิวเรียบ มีคลึงตัดผ่านซีเมนไทต์เม็ดกลม โดยที่จะหลุดออก หรือไม่ก็เบนหลบไปทำให้มีคลึงตัดผ่านเฉพาะเนื้อ [4]



ภาพที่ 2.7 อุณหภูมิการอบเพื่อความอ่อนตัวสูงต่ำกว่าเส้น A_{C1}



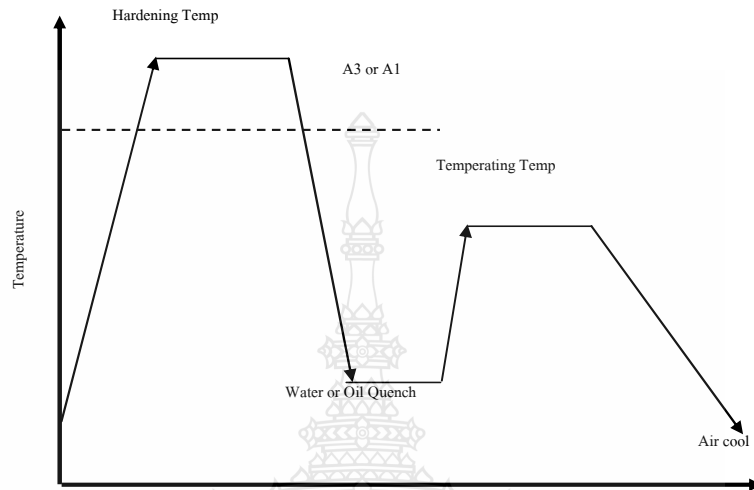
ภาพที่ 2.8 อุณหภูมิการอบเพื่อความอ่อนตัวสูงต่ำและสูงกว่าเส้น A_{C1}

2.12 การอบคืนไฟ (Tempering)

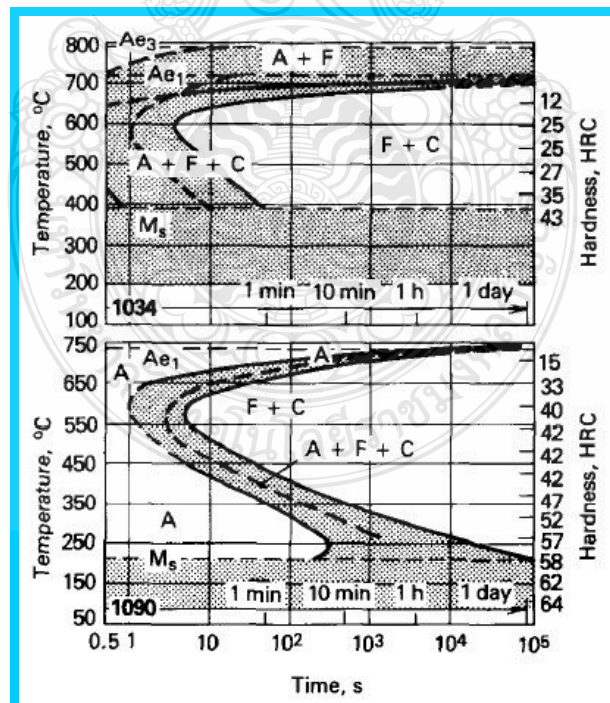
เหล็กที่ผ่านการชุบแข็ง (Hardening) มาแล้วย่อมจะเกิดความเครียด (Strain) ขึ้นภายใน มีความแข็งเพิ่มขึ้นและมีอสเดนในทั้งค้างอยู่ทำให้เหล็กขาดสมบัติทางด้าน ความเหนียว (Ductility) ทำให้ไม่เหมาะสมที่จะนำไปใช้งาน ถ้าเกิดมีการกระแทกชิ้นเหล็กอาจแตกร้าวได้ จึงจำเป็นต้องปรับปรุงสมบัติเสียใหม่โดยการอบคืนไฟซึ่งมีวิธีการดังนี้

นำเหล็กที่ผ่านการชุบมาแล้วเผาภายใต้ที่อุณหภูมิต่ำประมาณ 200 - 400 องศาเซลเซียส (เหล็กกล้าคาร์บอน) ทิ้งไว้ประมาณ 1 - 3 ชั่วโมง และเอาออกปล่อยให้เย็นในอากาศธรรมชาติ เหล็กจะมีสมบัติด้านความเหนียว (Ductility) ดีขึ้น แต่ความแข็งจะลดลงเล็กน้อย ในขณะที่เผาที่อุณหภูมิต่ำ marrow ไฮต์จะมีการเปลี่ยนแปลงเล็กน้อย โดยจะตอนการบันจะเคลื่อนไหวออกจาก marrow ไฮต์มารวมกันเป็นเฟอร์ไรต์และซีเมนไทต์บางส่วน ที่เป็นเช่นนี้พะมาเรน ไฮต์ไม่ใช่โครงสร้างของเหล็กที่สมดุลย์ที่อุณหภูมิบรรยายกาศ เมื่อเหล็กได้รับความร้อนจะเกิดการเปลี่ยนแปลงเพื่อกลับไปเป็นโครงสร้างที่สมดุลย์คือเหล็กเฟอร์ไรต์ กับซีเมนต์ไฮต์ที่เราต้องเผาที่อุณหภูมิสูงไม่เกิน 400 องศา

เชลเซียส กีเพื่อไม่ต้องการให้มาร์เทนไชต์คืนตัวหมด เพราะเราขังต้องการความแข็งของเหล็กอยู่ ถ้าเราเผาให้อุณหภูมิสูงเกิน 400 องศาเชลเซียส ความแข็งจะถูกทำลายหมดโดยทั่วๆ ไปการชุบแข็ง และการคืนไฟจะต้องกระทำติดต่อกันทันทีเพื่อให้ได้เหล็กแข็งและทนแรงกระแทกได้ดีด้วย [4]



ภาพที่ 2.9 ช่วงการชุบแข็ง และการอบคืนไฟ



ภาพที่ 2.10 TTT Diagram

2.13 การชุบเคลือบพิวແບນໄອກາຍພາພ Physical Vapour Deposition (PVD)

การเคลือบพิวແບນ (Hard Coating) ชິ່ນງານ ໂດຍວິທີອຳຮັກໄຟຟ້າດ້ວຍການໃຊ້ແຮງເຄລື່ອນໄຟຟ້າຕໍ່ແດ່ກະຮະແສສູງ ທີ່ບໍຣິເວັນພິວຂອງວັສດຸທີ່ເຄລື່ອນ (Target) ເກີດກາຮລອມລະລາຍທີ່ພິວຫຼາຂອງວັສດຸທີ່ເຄລື່ອນກາລາຍເປັນໄອຮະເໜຍ ເຮີກວ່າ ພລາສມ່າ (Plasma) ເປັນປະຈຸບວກອູ້ໃນຮູປຂອງອີອອນເນື່ອທຳປັບປຸງກິດຕະກິດກັບກຳໜັງໃນໂຕຮເຈນ (N_2) ອີ່ມິເທນ (C_2H_2) ປື້ນອູ້ກັບກະບວນກາຮ ເນື່ອຈາກຈິ່ນງານເປັນຂຶ້ນລົບໄອຮະເໜຍເປັນປະຈຸບວກຈຶ່ງວິ່ງເຂົ້າຫາພິວຈິ່ນງານທີ່ຕ້ອງກາຮເຄລື່ອນ ຜົ່ງກະບວນກາຮເຄລື່ອບພິວແບນກະທຳອູ້ກາຍໄດ້ສກາວະສຸ່ມູາກາສຈຶ່ງ ໄມປັນເປື້ອນກັບສົ່ງແປລກປລອນຕ່າງໆ ພິວເຄລື່ອນຈຶ່ງມີຄວາມສມບຽບ ແລະ ວັສດຸທີ່ເຄລື່ອບພິວຈິ່ນງານມີຄວາມໜາດຕັ້ງແຕ່ 1 ຄື່ງ 10 μm ທຳໄໝພິວຫຼາຂອງຈິ່ນງານເນື່ອນຳໄປໃຊ້ງານມີຄວາມທຸນທານແລະອາຍຸກາຮ ໃຊ້ງານນານຢືນຢັນ [5-8]

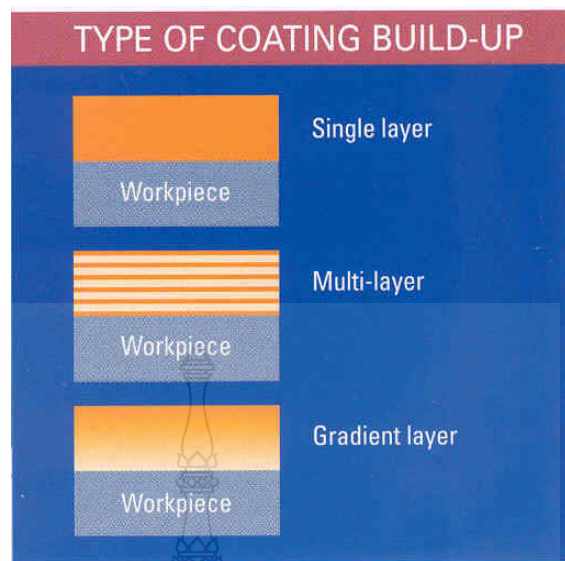
ເປັນເຖິງນິກສຳຄັນຫຸ້ນທີ່ສໍາຫັບວິທີກາຮສມັຍໄໝ່ໜ້າຍແນນ ເຊັ່ນ ວັສດຸສາສຕ່ຣ Nanotechnology ວິສວກຮົມພິວວັສດຸ (Surface Engineering) ກາຮຈິ່ນງານ PVD ນີ້ ມີອູ້ຫລາຍຮະບນ ປັດຈິກທີ່ກະທຳກາຮຈິ່ນງານໃນເຕາສຸ່ມູາກາສ ກະບວນກາຮຈິ່ນງານທີ່ກະທຳກັບສຸ່ມູາກາສສູງ (High Vacuum) ສາມາຮັດສ້າງຟິລົມບາງ (Thin Film) ໄດ້ຫລາຍໜິດສໍາຫັບງານແຕກຕ່າງກັນໄປໃນປັຈຈຸບັນ ໄດ້ມີກາຮນໍາເຄື່ອງ PVD ຮະບນຕ່າງໆ ມາທຳກາຮຈິ່ນງານທີ່ທຳກັນປະດັບຕັກແຕ່ງ ອຸດສາກຮຽມຄອມພິວເຕອຮ ອຸປກຮົນ ອີເລື່ອກໂຮອນິກສ ແລະກາຮພິວແບນໃຫ້ແກ່ເຄື່ອງມືອັດເຈາະຂຶ້ນຮູປ ຮວມถຶ່ງອຸດສາກຮຽມໃນກາຮພິລິຕ ເທິງຢູ່ໃນຕ່າງປະເທດໂດຍແລ້ວປະເທດໃນແກນຍຸໂໂປ ໂດຍໃຊ້ໃນກາຮເຄລື່ອບພິວຄວງຕາເພື່ອຢືນອາຍຸກາຮ ໃຊ້ງານຂອງຄວງຕາ

2.13.1 ປະໂຍບນໍຂອງກາຮຈິ່ນງານ ແລະຮູປແບນກາຮເຄລື່ອບພິວແບນ PVD

ກາຮຈິ່ນງານພິວແບນ PVD ມີປະໂຍບນໍກັບອຸດສາກຮຽມທີ່ຫລາກຫລາຍຮວມລຶ່ງໃນອຸດສາກຮຽມກາຮພິລິຕເທິງຢູ່ ສາມາຮັດປຶ້ອງກັນກາຮສຶກຫຮອ ມີຄວາມແບ່ງສູງຄົງປະມານ 2500 HV – 3500 HV ທີ່ຄວາມໜາດຕັ້ງ 1-5 μm ມີຄວາມດ້ານທານຕ່ອສາຮເຄມືສູງ ສັນປະສົງທີ່ຄວາມເສີຍດານຕໍ່າ ພິວເຮີຍນ ກາຮນໍາຄວາມຮ້ອນຕໍ່າ ມີກາຮຢືນເກາະຂອງແຕ່ລະຂັ້ນດີເຢີມແນ້ຈະໃຊ້ອຸນຫກູມໃນກາຮເຄລື່ອນຕໍ່າທ່າວໄປໄໝເກີນ 500 ອົງຄານເຊີຍສ [9]

ຮູປແບນກາຮເຄລື່ອບພິວນິ້ນຈິ່ນງານ (Type of Coating Build-up) ດັ່ງນີ້

- 1) ພິວເຄລື່ອນຂັ້ນເດີວາ (Single Layer)
- 2) ພິວເຄລື່ອນຫລາຍຂັ້ນ (Multi Layer) (ແຕ່ລະຂັ້ນ ເຄລື່ອນດ້ວຍວັສດຸຕ່າງໜິດສລັບກັນ)
- 3) ພິວເຄລື່ອນພສມ (Gradient Layer) (ພິວເຄລື່ອນຂັ້ນເດີວາແຕ່ວັສດຸເຄລື່ອນຖຸກພສມຮວມດ້ວຍວັສດຸຫລາຍໜິດ ເຊັ່ນ ອະລຸມີເນີຍມີເຕີເນີຍ AlTi)



ภาพที่ 2.11 ชั้นเคลือบผิวในรูปแบบต่างๆ [9]



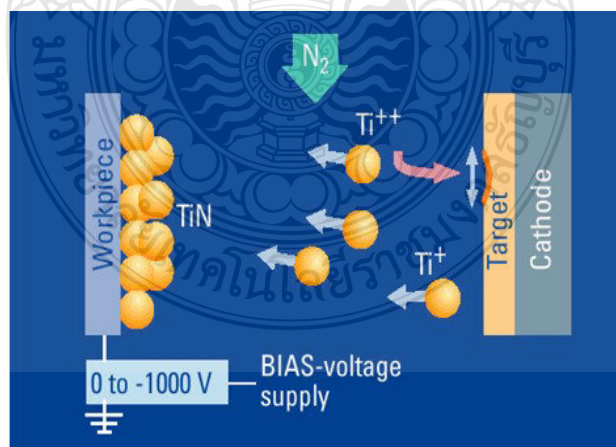
ภาพที่ 2.12 คุณสมบัติของผิวเคลือบ [9]

SELECTED COATING PROPERTIES						
Coating material	TiN	TiCN	CrN	ZrN	AlTiN	W-C:H
Hardness HK (1N)	2500 ±400	2900 ±400	2300 ±300	2400 ±400	3000 ±400	900 to 1400
Temperature resistance °C	550 ±50	450 ±50	650 ±50	600 ±50	800 ±50	350 ±50
Electr. resistance $\mu\Omega \text{ cm}$	60 ±20	8 ±20	640	30 ±10	4000–7000	– –
Thermal conductivity ($\text{Ws}^{0.5}/\text{m}^2\text{K}$)	8800 ±1000	8100 ±1400	8100 ±2600	7000 ±400	7600 ±1000	
Coefficient of friction (100Cr6)	0.65–0.70	0.40–0.50	0.50–0.60	0.50–0.60	0.55–0.65	0.15–0.30
Layer thickness (μm)	2–4	2–4	3–8	2–4	2–4	1–5
Colour	gold-yellow	red-brown/grey	silver	light gold	anthracite	anthracite/blue-grey
Ductility	good	satisfactory	very good	good	satisfactory	–

ภาพที่ 2.13 คุณลักษณะของพิวเคลือบแต่ละชนิด [9]

2.13.2 เทคโนโลยี PVD แบบ ARC

มีการยึดเกาะของสารเคลือบกับพื้นผิวดีเยี่ยมเนื่องจากใช้ประจุไฟฟ้าสูงพื้นผิวจะถูกทำลายลึกทำให้เกิดการยึดเกาะที่ดี

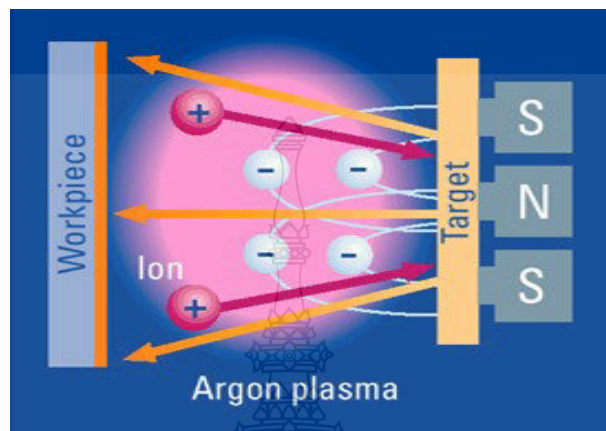


ภาพที่ 2.14 PVD ARC Technology [9]

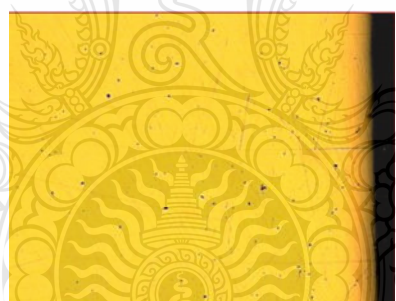
2.13.3 เทคโนโลยี PVD แบบ Sputter

มีพื้นผิวหลังการเคลือบเรียบและสะอาด มีการเกิดเป็นประจุไฟฟ้าต่ำทำให้การขึดเกาะลด

น้อยลง [9]



ภาพที่ 2.15 PVD Sputter Technology [9]



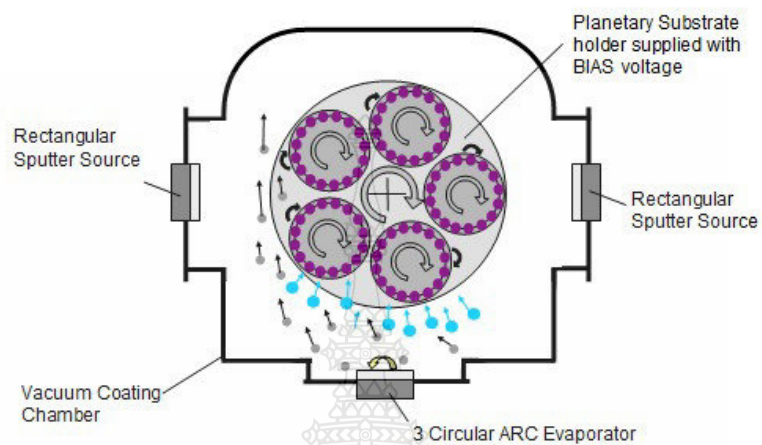
ภาพที่ 2.16 PVD Sputter ก่อนเคลือบผิว [9]



ภาพที่ 2.17 PVD Sputter CrN Coated (1.6 μm) หลังเคลือบ [9]

2.13.4 เทคโนโลยี PVD แบบ ARC and Sputter

เป็นระบบเดียวกันที่นำเทคโนโลยีทั้งหมดมารวมไว้มีความขัดแย้งในการใช้งานสูงเป็นชนิดที่ใช้งานอยู่ที่สำนักงานปืน [9]



ภาพที่ 2.18 การทำงานของ PVD ARC and Sputter [9]



ภาพที่ 2.19 เครื่อง PVD ARC and Sputter [9]

2.14 การเคลือบพิวด้วยไอกำมี Chemical Vapor Deposition (CVD)

เป็นกรรมวิธีสร้างชั้นฟิล์มที่มีความหนา 4-8 μm ภายในเตาที่อุณหภูมิ 800-1000 องศาเซลเซียส สามารถทำการเคลือบฟิล์ม TiC (ไทเทเนียมคาร์ไบด์) Ti (C, N) (ไทเทเนียมคาร์บอนไนท์ไตรค์) TiN (ไทเทเนียมไนท์ไตรค์) ทั้งแบบชั้นเดียวและแบบหลายชั้นบนผิวโค้งให้มีความละเอียดและสม่ำเสมอ มีแรงขึ้นตัวสูง ได้การเคลือบพิวแบบ CVD มีข้อดีได้แก่ เพิ่มความต้านทานการสึกหรอ แต่ความแข็งแรงจะมีค่าลดลง โดยเฉพาะอย่างยิ่งอัลลอยที่มีเกรนละเอียดถึงละเอียดปานกลาง ค่าความแข็งแรงจะลดลงมากกว่าอัลลอยที่มีเกรนหยาบ การเคลือบพิวแบบซีวีดีนี้สามารถนำไปใช้ในการเคลือบพิวแบบหลายชั้นได้ (Multilayer Coating) เมื่อจากสารเคลือบขึ้นอยู่กับชนิดของแก๊สที่ปล่อยเข้าไป [10]

Characteristics	Process	PVD (BALINIT®)	CVD
Coating Temperature [$^{\circ}\text{C}$]		< 500	1020
Coating thickness [μm]		1 - 4	10-20
Coating roughness R_z [μm]		like substrate	> 2
Internal stress [GPa]		1 - 4 (compressive)	< 1 (tensile)
Coating adhesion		ion etching, metallic bonding	diffusion
Coating structure		fine grain	coarse grain
Influence on the substrate		insignificant	TRS reduction up to 30%
Mechanical stability of cutting edges		like substrate	brittle (eta-phase)
Cutting edge shape after coating		sharp	rounded
Heat Treatment		before coating	after coating
Distortion		no distortion with correct heat treatment	distortion through thermal load and subsequent heat treatment
Post Treatment		generally not necessary	intensive polishing necessary

ภาพที่ 2.20 การเปรียบเทียบกระบวนการเคลือบพิวแบบ PVD และ แบบ CVD [10]

2.15 การควบคุมคุณภาพ (Quality Control)

ในการประกันคุณภาพที่ดีนั้น มีความจำเป็นต้องสร้างความเชื่อมั่นในผลิตภัณฑ์และการบริการอย่างครบวงจรชีวิต ซึ่งประกอบด้วย คุณภาพในการออกแบบ (Quality of Design) และคุณภาพของความถูกต้องในการผลิต (Quality of Conformance) [11]

Taguchi (1986) ได้กำหนดบทบาทของการควบคุมคุณภาพในขั้นตอนการออกแบบ (Offline Quality Control) และในขั้นตอนการผลิต (On-Line Quality Control) หากต้องการประกันคุณภาพในการออกแบบ จะต้องดำเนินงานในขั้นตอนการวิจัยและพัฒนา (R&D) เท่านั้น ในขณะที่คุณภาพของความถูกต้องในการผลิตสามารถดำเนินการได้ทั้งช่วงออกแบบและผลิตโดยยกเว้นเฉพาะช่วงบริการหลังการขายเท่านั้น

2.16 ประเภทของการควบคุมคุณภาพเพื่อการยอมรับ

ประเภทของการควบคุมคุณภาพเพื่อการยอมรับสามารถจำแนกเป็น 4 ประเภท คือ

2.16.1 การตรวจสอบแบบ 100 % หมายถึง การตรวจสอบผลิตภัณฑ์ที่จะหน่วยทุกหน่วย

2.16.2 การตรวจสอบเป็นครั้งคราว (Spot – Check Inspection) หมายถึง การตรวจสอบแบบเลือกตามไขขอบโดยมิได้วางอยู่บนเกณฑ์ด้านวิทยาศาสตร์ ได้แก่ การตรวจสอบงานชิ้นแรก (First-Item Inspection) การตรวจสอบงานชิ้นสุดท้าย (End-Item Inspection) และการตรวจสอบลาดตระเวน (Patrol Inspection) เป็นต้น

2.16.3 การให้คำรับรอง (Certification) หมายถึง การควบคุมคุณภาพเพื่อการยอมรับเป็นผู้ออกแบบใบประกาศนียบตั้งรับรองคุณภาพให้ ซึ่งในปัจจุบันประเทศไทยยังมีสถาบันดังกล่าวไม่นักนัก และโดยส่วนใหญ่จะเป็นสถาบันภาคราชการ แต่เรื่องว่าในอนาคตจะมีสถาบันภาคเอกชนที่ทำธุรกิจด้านนี้เพิ่มมากขึ้นตามจำนวนความต้องการที่มีแนวโน้มว่าจะเพิ่มมากขึ้นโดยลำดับ

2.16.3 การหักสิ่งตัวอย่างเพื่อการยอมรับ (Acceptance Sampling) หมายถึง การตรวจสอบสิ่งตัวอย่าง (Sample) ที่เลือกขึ้นมาจากการทั้งหมดโดยวิธีการทางสถิติด้วยกฎของความน่าจะเป็น (Probability) และอาศัยคุณลักษณะของสิ่งตัวอย่างที่ตรวจสอบได้ในการอธิบายคุณลักษณะของชิ้นงานทั้งหมดที่ต้องการตัดสินใจ

ตารางที่ 2.1 การเปรียบเทียบประเภทของการควบคุมคุณภาพเพื่อการยอมรับ [12]

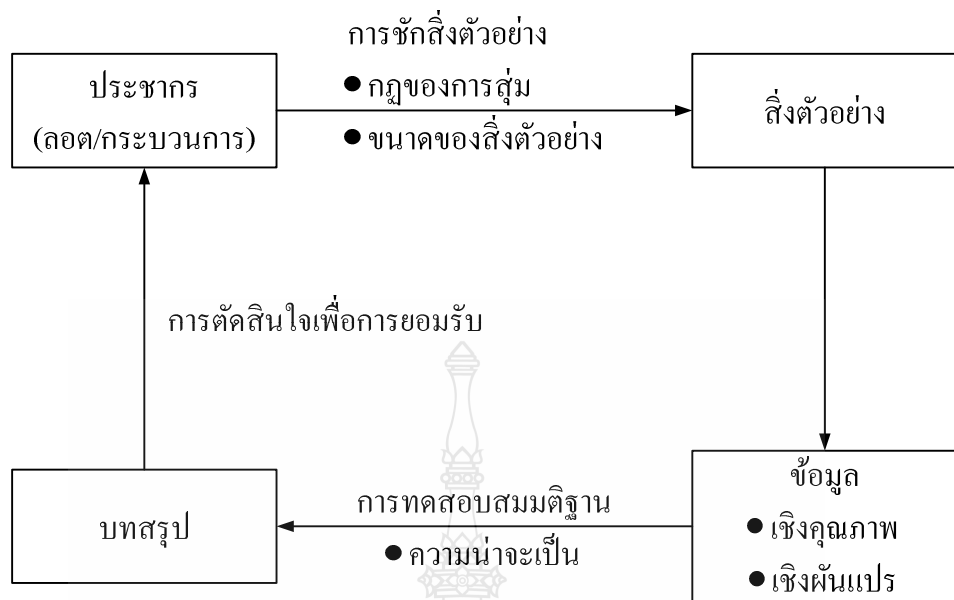
ประเภทของการควบคุม	ข้อดี	ข้อเสีย
1. การตรวจสอบแบบ 100 %	<ul style="list-style-type: none"> • ในทางทฤษฎีแล้วเชื่อว่าจะเป็นวิธีที่ทำให้ได้ผลที่ปลอดข้อบกพร่อง 	<ul style="list-style-type: none"> • ในทางปฏิบัติแล้วไม่สามารถประกันได้ว่าปลดล็อกข้อบกพร่องเนื่องมาจากความล้าของพนักงานและการเลื่อมสภาพของอุปกรณ์ • ค่าใช้จ่ายในการตรวจสอบสูงมาก
2. การตรวจสอบเป็นครั้งคราว	<ul style="list-style-type: none"> • ใช้ได้ดีกรณีที่ผลการตรวจนมีค่ามีผลทางคุณภาพที่รุนแรงมากนัก • ประหยัดที่สุด 	<ul style="list-style-type: none"> • ผลการตรวจสอบไม่สามารถใช้อธิบายถึงคุณลักษณะของชิ้นงานทั้งหมดที่ต้องการตัดสินใจได้

ตารางที่ 2.1 เปรียบเทียบประเภทของการควบคุมภาพเพื่อการยอมรับ (ต่อ)

ประเภทของการควบคุม	ข้อดี	ข้อเสีย
3. การให้คำรับรอง	<ul style="list-style-type: none"> ไม่มีปัญหาในการจัดการเนื่องจากเป็นวิธีที่ขึ้นอยู่กับความเชื่อถือที่ลูกค้ามีต่อเรา (Mark) หรือคำรับรองของสถาบัน 	<ul style="list-style-type: none"> มีความเสี่ยงต่อการทำธุรกิจทั้งนี้ เพราะว่าคุณภาพในขี้ห้อจะมีผลอย่างมากต่อการตัดสินใจทำธุรกิจด้วยของลูกค้า
4. การชักสิ่งตัวอย่างเพื่อการยอมรับ	<ul style="list-style-type: none"> เป็นวิธีการค่อนข้างประหยัด เป็นวิธีการที่ค่อนข้างจะใช้เวลาในการตรวจสอบน้อย ทำให้พนักงานตรวจสอบไม่ช้า ให้ผลที่น่าเชื่อถือโดยการอธิบายผ่านกฎของความน่าจะเป็น มีการทำร้ายผลิตภัณฑ์ที่ได้รับการตรวจสอบต่ำ ให้ผู้ผลิตและผู้ซื้อสามารถเจรจาต่อรองราคากันได้ โดยอาศัยการพิจารณาจากความเสี่ยงและแผนการ หมายความกับกรณีการตรวจสอบแบบทำลาย 	<ul style="list-style-type: none"> มีความเสี่ยงในการตัดสินใจเกี่ยวกับคุณลักษณะของชิ้นงานทั้งหมดที่ต้องการตัดสินใจเสมอ มิได้ให้รายละเอียดทั้งหมดเกี่ยวกับคุณลักษณะของชิ้นงานทั้งหมดที่ต้องการตัดสินใจ

2.17 การชักสิ่งตัวอย่างเพื่อการยอมรับ

เทคนิคของการชักสิ่งตัวอย่างเพื่อการยอมรับ เป็นเทคนิคที่อาศัยการประยุกต์หลักการทางสถิติและความน่าจะเป็นในการเลือกลิ่งตัวอย่างจากลิ่งที่ต้องการตัดสินใจ (ทางสถิติเรียกว่าประชากร) และอาศัยการอนุमานทางสถิติ (Statistical Inference) เพื่อการตัดสินใจโดยวิธีการทดสอบสมมติ (Test of Hypothesis) เพื่อพิจารณาว่าคุณภาพของประชากรนั้นควรได้รับการยอมรับ (Accept) หรือไม่ [12]



ภาพที่ 2.21 การซักสิ่งตัวอย่างเพื่อการยอมรับ [12]

2.18 การสุ่มตัวอย่างเพื่อยอมรับแบบ Variables

ข้อดีและข้อจำกัดของการสุ่มตัวอย่างแบบ Variables

ข้อดีที่สำคัญของแผนสุ่มตัวอย่างแบบ Variables คือในขณะที่มีโถึง OC เดียวกันหรือมีการปกป้องที่เท่ากัน จะมีขนาดตัวเล็กกว่าที่ต้องการ โดยแผนสุ่มตัวอย่างแบบ Attribute ดังนั้นแผนสุ่มตัวอย่างเพื่อการยอมรับแบบ Variables ที่มีระดับการปกป้องเดียวกันกับแผนสุ่มตัวอย่างแบบ Attribute จะต้องการขนาดตัวอย่างที่เล็กกว่า การวัดข้อมูลที่ต้องการโดยแผนสุ่มตัวอย่างแบบ Variables อาจมีค่าใช้จ่ายสูงกว่าค่าใช้จ่ายสำหรับการตรวจสอบข้อมูลแบบ Attribute อย่างไรก็ตาม การลดลงของขนาดตัวอย่างที่ได้รับอาจมีค่าใช้จ่ายสูงกว่าการซื้อขายที่มีค่าตรวจสอบสูงขึ้น ตัวอย่างเช่นสมมุติว่าแผนสุ่มตัวอย่างแบบ Attribute ต้องการขนาดตัวอย่าง 100 หน่วย แต่ในแผนสุ่มตัวอย่างแบบ Variables ต้องการขนาดตัวอย่างเพียง 65 หน่วย ถ้าค่าใช้จ่ายของการวัดข้อมูลแบบ Variables น้อยกว่า 1.61 เท่าของการวัดข้อมูลแบบ Attribute ทำให้แผนการสุ่มตัวอย่างแบบ Variables มีประสิทธิภาพในการประหยัดมากกว่าถ้าพิจารณาเฉพาะค่าใช้จ่ายเพียงอย่างเดียว ถ้าใช้การตรวจสอบแบบทำลายแผนสุ่มตัวอย่างแบบ Variables จะมีประโยชน์มากขึ้นสำหรับการลดค่าใช้จ่ายในการตรวจสอบ

ข้อดีข้อที่ 2 คือ การวัดข้อมูลแบบ Variables โดยปกติจะให้ข้อมูลมากกว่าในเรื่องของกระบวนการผลิตหรือของรุ่นเมื่อเปรียบเทียบกับข้อมูลแบบ Attribute โดยทั่วไปการวัดคุณสมบัติคุณภาพที่เป็นตัวเลขจะมีประโยชน์มากกว่าการแยกสินค้าเป็นของเสียหรือของดี

ข้อดีข้อสุดท้ายที่จะกล่าวถึงคือเมื่อระดับคุณภาพที่ยอมรับได้มากน้อย ขนาดตัวอย่างที่ต้องการโดยแผนสุ่มตัวอย่างแบบ Attribute จะต่ำมาก ในกรณีจะมีข้อดีอย่างเห็นได้ชัดถ้าเปลี่ยนไปใช้การวัดแบบ Attribute ดังนั้นผู้ผลิตจำนวนมากเริ่มต้นกำหนดจำนวนของเสียในการผลิต 1 ล้าน (PPM) การสุ่มตัวอย่างแบบ Variables ยิ่งน่าสนใจมากขึ้น

แผนสุ่มตัวอย่างแบบ Variable มีข้อจำกัดหลายข้อ ซึ่งข้อเสียหลักคือ ทราบการกระจายของคุณสมบัติคุณภาพ ยิ่งไปกว่านั้นแผนสุ่มตัวอย่างแบบ Variables มาตรฐานส่วนใหญ่สมมุติว่าการกระจายของคุณสมบัติคุณภาพเป็นแบบปกติ ถ้าการกระจายของคุณสมบัติคุณภาพไม่เป็นปกติ และใช้แผนสุ่มตัวอย่างที่สมมุติว่าคุณสมบัติคุณภาพแบบกระจายปกติ ทำให้ความเสี่ยงของการยอมรับหรือปฏิเสธ รุ่นที่กำหนดคุณภาพเบี่ยงเบนไปจากค่าที่กำหนด จำกัดของที่ 2 ของการสุ่มตัวอย่างแบบ Variables คือจะต้องใช้แผนสุ่มตัวอย่างแยกจากกันสำหรับแต่ละคุณสมบัติคุณภาพที่ต้องการตรวจสอบตัวอย่างเช่นถ้าตรวจสอบ 4 คุณสมบัติคุณภาพของชิ้นค้าชิ้นหนึ่ง จำเป็นที่จะต้องมีแผนสุ่มตัวอย่างการตรวจสอบ 4 แผน ถ้าสินค้าเดียวกันนี้ตรวจสอบภายใต้การสุ่มแบบ Attribute ก็จะสามารถใช้แผนสุ่มตัวอย่างเดียว ข้อจำกัดสุดท้ายคือเป็นไปได้ว่าการใช้การสุ่มตัวอย่างแบบ Variables จะนำไปสู่การปฏิเสธรุ่นได้ถึงแม้ว่าการตรวจสอบตัวอย่างที่แท้จริงไม่พบของเสียเลย ในขณะที่สิ่งนี้ไม่เกิดขึ้นบ่อยแต่เมื่อเกิดขึ้นก็จะเป็นสาเหตุของความไม่สงบใจทั้งองค์กรผู้ส่งมอบและผู้ซื้อได้โดยเฉพาะอย่างยิ่งถ้าการปฏิเสธรุ่นเป็นสาเหตุที่ทำให้ต้องหยุดการผลิตหรือผลิตในอัตราที่น้อยลง

2.19 การสุ่มตัวอย่างแบบ Chain

ในกรณีที่การตรวจสอบเป็นแบบทำลายหรือมีราคาแพงมาก จำเป็นต้องใช้แผนสุ่มตัวอย่างที่มีขนาดตัวอย่างขนาดเล็ก แผนสุ่มตัวอย่างที่มีขนาดตัวอย่างขนาดเล็กมากจะมีจำนวนของเสียที่ยอมรับเป็น 0 ซึ่งปกติจะไม่นิยมใช้เนื่องจากโค้ง OC จะเป็นแบบ Convex ตลอดเส้น ซึ่งหมายความว่าความน่าจะเป็นที่จะยอมรับรุ่นเริ่มลดลงอย่างรวดเร็วเมื่อสัดส่วนของเสียเริ่มมากกว่า 0 ซึ่งจะไม่ยุติธรรมสำหรับผู้ผลิต ในกรณีของการใช้แผนการตรวจสอบโดยกรอง ผู้ซื้อจะต้องตรวจสอบ 100 % ของรุ่นจำนวนมากซึ่งน่าจะมีคุณภาพที่ยอมรับได้ แผนสุ่มตัวอย่างที่มีจำนวนของเสียที่ยอมรับเป็น 0 และมากกว่า 0

2.20 การสุ่มตัวอย่างชนิดต่อเนื่อง (Continuous Sampling)

แผนสุ่มตัวอย่างทั้งหมดที่ได้กล่าวถึงมาแล้วเป็นการตรวจสอบที่แบ่งเป็นรุ่น การใช้แผนเหล่านี้จะมีการแบ่งสินค้าเป็นรุ่นๆ และวัตถุประสงค์ของการสุ่มตัวอย่างก็เพื่อตัดสินรุ่น อย่างไรก็ตามในการผลิตสินค้านางชนิดโดยเฉพาะอย่างยิ่งเมื่อกระบวนการประกอบมีความซับซ้อน ธรรมชาติของการผลิตไม่มีผลให้แบ่งสินค้าเป็นรุ่น ตัวอย่างเช่นการผลิตสินค้าอิเล็กทรอนิกส์หลายชนิด ได้แก่ คอมพิวเตอร์ซึ่งมีการประกอบบนสายพาน

เมื่อการผลิตสินค้าเป็นแบบต่อเนื่อง มี 2 วิธีที่กำหนดครุ่น วิธีแรกให้สินค้าสะสมในกระบวนการประกอบจนถึงค่าที่กำหนด ซึ่งจะมีข้อเสียคือมีสินค้ากำลังผลิตตามจุดต่างๆ ที่ต้องการพื้นที่อาจนำไปสู่ปัญหาความปลดปล่อย และโดยปกติจะเป็นวิธีจัดการสายการผลิตที่ไม่มีประสิทธิภาพ วิธีที่ 2 กำหนดส่วนใดๆ ของสินค้าที่ผลิตได้เป็นรุ่น ข้อเสียของวิธีนี้คือถ้ารุ่นถูกปฏิเสธและทำการตรวจสอบ 100% อาจต้องมีการเรียกสินค้าที่ผ่านจุดนี้ไปแล้วมาตรวจสอบ ซึ่งจะต้องแยกชิ้นส่วนที่ประกอบแล้ว หรือทำร้ายบางส่วนของสินค้าที่ประกอบไประดับหนึ่งแล้ว

ด้วยเหตุผลนี้แผนสุ่มตัวอย่างพิเศษสำหรับการผลิตสินค้าแบบต่อเนื่องได้ถูกพัฒนาขึ้น แผนสุ่มตัวอย่างแบบต่อเนื่องประกอบด้วยขั้นตอนการสับเปลี่ยนระหว่าง (1) การสุ่มตัวอย่าง (2) การตรวจสอบ 100% (ตรวจสอบทุกชิ้น) โดยปกติแผนการสุ่มตัวอย่างจะเริ่มต้นด้วยการตรวจสอบ 100% และเมื่อจำนวนที่ตรวจสอบที่กำหนด หน่วยไม่มีข้อเสียเลย (จำนวนหน่วย) โดยปกติถูกเรียกว่า Clearance Number ก็จะเปลี่ยนไปใช้แบบสุ่มตัวอย่าง การสุ่มตัวอย่างจะดำเนินต่อเนื่องจนกระทั่งได้พบของเสียจำนวนที่กำหนดก็จะกลับมาตรวจสอบ 100% แผนสุ่มตัวอย่างแบบต่อเนื่องเป็นแผนการตรวจสอบโดยกรองในกรณีที่คุณภาพของสินค้าสามารถปรับปรุงได้ในส่วนของการตรวจสอบทุกชิ้น

2.21 ความเชื่อมั่น (Reliability)

อาจให้นิยามง่ายๆ ดังนี้ “Reliability” คือคุณภาพในระยะยาว” นั่นคือความสามารถของสินค้าที่จะ Perform หน้าที่ที่ถูกกำหนดในช่วงเวลา สินค้าที่ใช้งานได้ในระยะเวลานานถือสินค้าที่ Reliable เนื่องจากสินค้าทุกหน่วยจะไม่ทำหน้าที่ (Fail) ในช่วงเวลาต่างๆ กัน Reliability ก็คือความน่าจะเป็นนั่นเอง

นิยามที่เหมาะสมคือ “Reliability” คือความน่าจะเป็นที่สินค้าจะ Perform หน้าที่ที่ได้กำหนดไว้อย่างสมบูรณ์ในช่วงเวลาที่กำหนด ภายใต้สภาพแวดล้อมที่เหมาะสม” จากนิยามนี้จะมี 4 ปัจจัยที่เกี่ยวข้อง Reliability คือ (1) ค่าตัวเลข (Numerical Value) (2) หน้าที่ที่กำหนด (Intended Function) (3) อายุ (Life) และ (4) สภาพแวดล้อม (Environmental Conditions)

ค่าตัวเลขคือความน่าจะเป็นที่สินค้าจะทำหน้าที่ได้เป็นอย่างดีในช่วงเวลาที่กำหนด ดังนั้นค่า 0.93 หมายถึงความน่าจะเป็นที่สินค้า 93 ใน 100 หน่วยจะทำงานได้หลังจากจากระยะเวลาที่กำหนด และมีสินค้า 7 หน่วยจะใช้งานไม่ได้หลังจากเวลาที่กำหนดนั้น การกระจายความน่าจะเป็นเฉพาะด้านจะถูกนำมาใช้เพื่อขอวิบากการใช้งานไม่ได้ของสินค้า

ปัจจัยที่สองจะเกี่ยวกับหน้าที่ที่กำหนดของสินค้า สินค้าจะถูกออกแบบสำหรับการประยุกต์ใช้งานจำเพาะ และถูกหวังว่าจะสามารถทำหน้าที่ดังกล่าวเหล่านี้ได้ ตัวอย่างเช่น รอกยกภาระไฟฟ้าจะถูกหวังว่าสามารถยกภาระที่ออกแบบไว้ได้ โดยปกติผู้ใช้จะไม่หวังว่ายกภาระได้เกินภาระที่กำหนด ไขควงได้ถูกออกแบบเพื่อหมุนสกรู ไม่ใช่เปิดประตูป้องสี

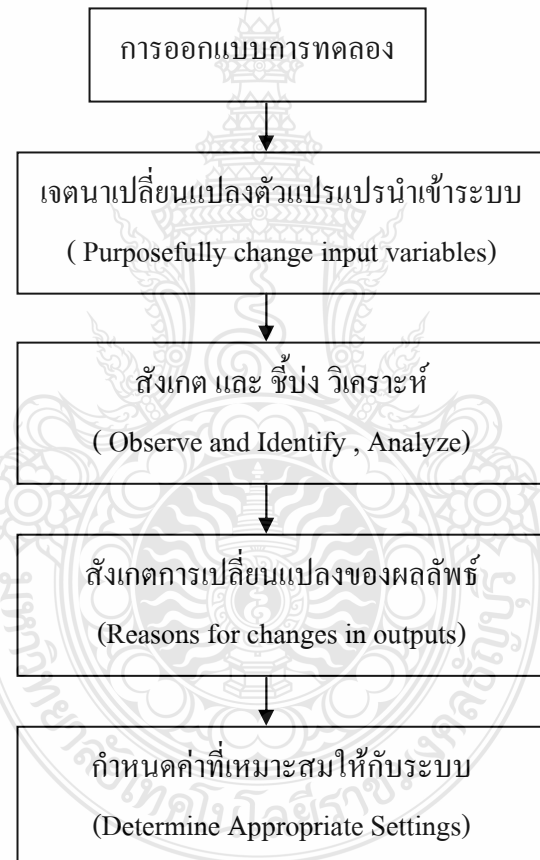
ปัจจัยที่ 3 ในนิยามของ Reliability คืออายุการใช้งานที่กำหนดของสินค้า นั่นคือจะใช้สินค้าได้นานเท่าใด เช่น อายุการใช้งานของยางรถยนต์อาจกำหนดได้หลายลักษณะที่แตกต่างกัน เช่น 36 เดือน หรือ 70,000 กม. ซึ่งอยู่กับโครงสร้างของยาง อายุการใช้งานของสินค้าจะถูกกำหนดในลักษณะการใช้ เวลาหรือทั้งสองปัจจัย

ปัจจัยสุดท้ายในนิยามจะเกี่ยวกับสภาพแวดล้อม สินค้าที่ถูกออกแบบให้ใช้ในอาคาร เช่น เก้าอี้ที่ใช้ในห้องเรียนจะไม่สามารถใช้ได้ดีในกลางแจ้งที่มีแสงแดดและสายฝน สภาพแวดล้อมหมายรวมถึงลักษณะของการเก็บรักษาและการขนส่งของสินค้า สิ่งเหล่านี้อาจมีความรุนแรงมากกว่าการใช้ปกติ

2.22 การออกแบบการทดลอง (Experimental Design or Design of Experiments)

การออกแบบ (Design) หมายถึง การเลือกรูปแบบที่เหมาะสมในการศึกษาระบบที่สนใจ การทดลอง (Experiments) หมายถึง สิ่งที่จัดทำขึ้นเพื่อการค้นหาองค์ความรู้ หรือข้อมูลส่วนที่ยังขาดไปเกี่ยวกับกระบวนการหรือระบบที่สนใจ โดยผู้ทำการศึกษาในสาขานั้นๆ การออกแบบแผนการทดลอง (Experimental Design or Design of Experiments) คือ การทดสอบเพียงครั้งเดียวหรือต่อเนื่องโดยทำการเปลี่ยนแปลงค่าตัวแปรนำเข้า (Input Variables) ในระบบหรือกระบวนการที่สนใจให้ศึกษา เพื่อที่จะทำให้สามารถสังเกตและชี้สาเหตุต่างๆ ที่ก่อให้เกิดการเปลี่ยนแปลงของผลลัพธ์ที่ได้ (Outputs or Responses) จากกระบวนการหรือระบบนั้น โดยตัวแปรนำเข้าจะถูกจัดแบ่งเป็น 2 กลุ่มคือ กลุ่มที่ควบคุมได้ เรียกว่า “ตัวแปร (หรือปัจจัย) ที่ควบคุมได้” (Controllable Variables or Factors) หรือ ตัวแปร (หรือปัจจัย) ที่สามารถออกแบบได้” (Design Variable or Factors) และกลุ่มที่ไม่สามารถควบคุมได้ เรียกว่า “ตัวแปร (หรือปัจจัย) ที่รับกระบวนการ”

การกำหนดตัวแปรที่ควบคุมได้และตัวแปรที่ควบคุมไม่ได้ขึ้นอยู่กับระบบแต่ละระบบ ซึ่งโดยหลักแล้วตัวแปรที่ควบคุมไม่ได้หรือตัวแปรรบกวน (Noise Variables) มักจะเกี่ยวข้องกับสิ่งแวดล้อมในธรรมชาติ เช่น ลม ฝนและอุณหภูมิภายนอก หรือส่วนของอุปกรณ์หรือระบบที่ยากแก่การควบคุมเนื่องจากในการควบคุมต้องใช้ความแม่น้ำรังสูง เพราะเมื่อชำรุดอาจส่งถึงต้นทุนค่าใช้จ่ายที่สูงมาก ส่วนตัวแปรที่ควบคุมได้ เช่น ที่มาของวัตถุคิบ เครื่องจักรที่ใช้ในการผลิต พนักงานที่ควบคุม (ซึ่งในบางระบบอาจพิจารณาให้เป็น “ตัวแปรที่ควบคุมไม่ได้”) อุณหภูมิที่ใช้ในการผลิต เป็นต้น ในทุกกระบวนการสามารถที่จะระบุและบันทึกไว้เพื่อประโยชน์ในการวิเคราะห์ต่อไปได้โดยสรุปในการออกแบบการทดลองมีหลักการสำคัญดังนี้



ภาพที่ 2.22 หลักการสำคัญในการออกแบบการทดลอง

ดังนั้นในการพัฒนาการออกแบบการทดลองจึงมีส่วนสำคัญอย่างยิ่ง โดยเฉพาะในส่วนของการออกแบบกระบวนการ ในด้านการกำหนดค่าพารามิเตอร์ หรือค่าเงื่อนไขที่เหมาะสมที่ใช้ในระบบ

หรือกระบวนการเช่นในการผลิตน้ำอัดลม การกำหนดส่วนผสมเพื่อให้ได้รสชาติที่เหมาะสม กำหนดความเร็วของสายพานเพื่อประโยชน์ในการบรรจุจะทำให้สูญเสียน้ำอัดลมน้อยที่สุด เป็นต้น ซึ่งในทางวิศวกรรมจะเรียกขั้นตอนนี้ว่า “Parameter Design” ซึ่งเป็นส่วนหนึ่งในการออกแบบกระบวนการ (Design Process) ในระยະคลາง [13]

2.23 ประโยชน์ของการออกแบบการทดลอง

การออกแบบการทดลองนี้ มีวัตถุประสงค์ที่สำคัญพอสรุปได้เป็น 4 ส่วน คือ

2.23.1 กำหนดตัวแปรที่ควบคุมได้ ($X's$) ที่มีอิทธิพลสูงสุดต่อการเปลี่ยนแปลงของผลลัพธ์หรือตัวแปรตอบสนอง (Y)

2.23.2 กำหนดค่าของตัวแปร (ปัจจัย) ที่ควบคุมได้ ($X's$) ที่มีอิทธิพลต่อตัวแปรตอบสนอง (Y) เพื่อให้โอกาสที่ผลของค่าตัวแปรตอบสนองมีค่าใกล้เคียงกับค่าเป้าหมายที่ต้องการมากที่สุด

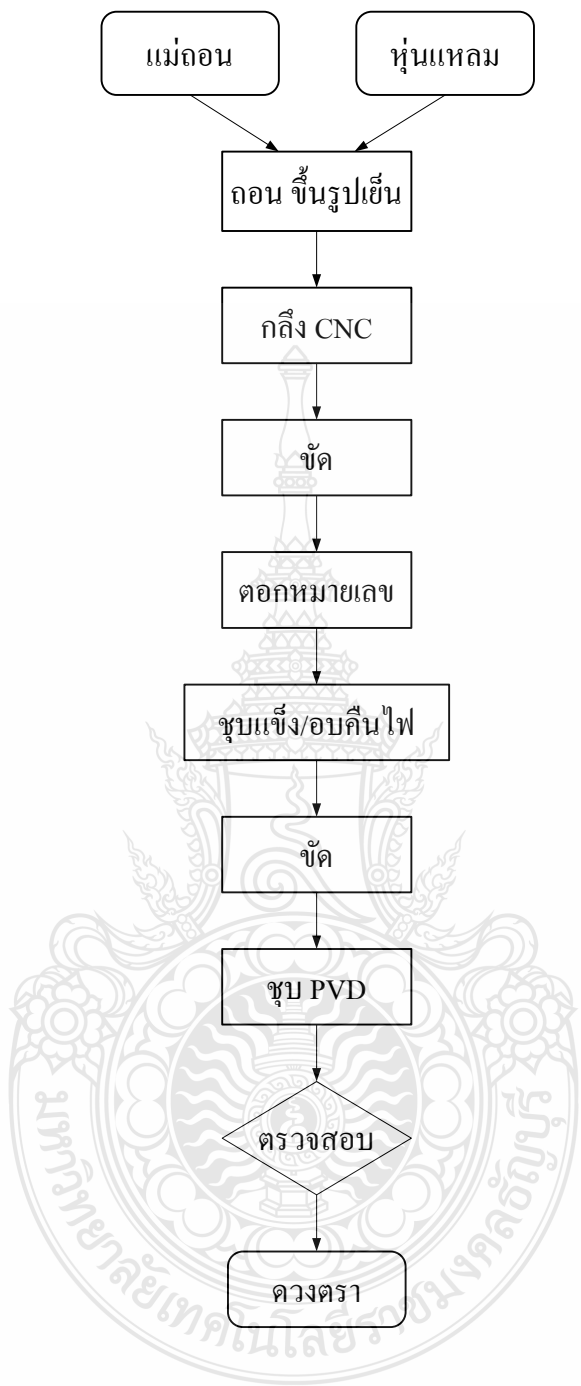
2.23.3 กำหนดค่าของปัจจัยที่ควบคุมได้ ($X's$) ที่มีผลต่อค่าตัวแปรตอบสนอง (Y) โดยทำให้ค่าความแปรปรวนของ Y มีค่าต่ำที่สุด

2.23.4 กำหนดค่าของปัจจัยที่ควบคุมได้ ($X's$) ที่มีผลต่อตัวแปรตอบสนอง (Y) เพื่อทำให้ผลกระทบของตัวแปรที่ควบคุมไม่ได้ ($Z's$) มีค่าน้อยที่สุด

ในการทำการออกแบบการทดลองนั้น ต้องทำการตั้งวัตถุประสงค์ขึ้นก่อน และวัตถุประสงค์ในลำดับที่สูงขึ้นนั้นจะบรรลุได้ต้องผ่านการวิเคราะห์ในส่วนก่อนหน้าไปพร้อมกันด้วย เช่น ถ้าตั้งวัตถุประสงค์ตาม (2) ไว้ต้องทำการวิเคราะห์ (1) มาก่อน หรือถ้าตั้งวัตถุประสงค์ตาม (3) ไว้ ต้องทำการวิเคราะห์ (1) และ (2) ไปพร้อมกันด้วย

2.24 ขั้นตอนการผลิตดวงตรา

กระบวนการผลิตดวงตรา การชุบเคลือบพิเศษวิธีการ PVD ชนิดสารเคลือบ CrN ซึ่งขั้นตอนการผลิตดวงตรามีดังนี้



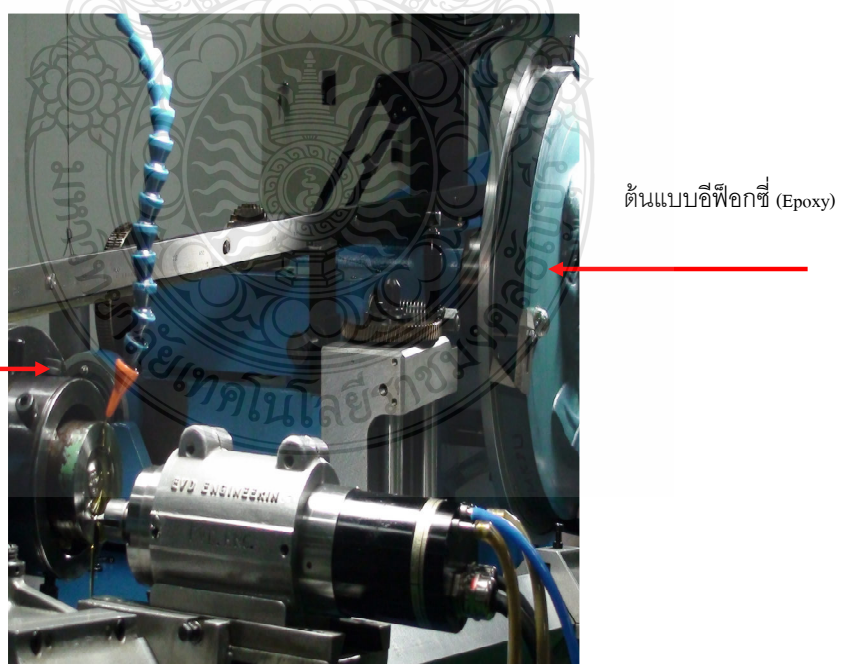
ภาพที่ 2.23 กระบวนการผลิตดวงตรา

จากแผนภาพขั้นตอนกระบวนการผลิตดวงตรา (แม่พิมพ์) ผู้ทำการวิจัยต้องให้ความหมายของคำต่างๆ ที่ใช้เรียกในกระบวนการผลิตดวงตรา เพื่อจะได้เป็นที่เข้าใจถูกต้องตรงกัน พร้อมทั้งภาพประกอบเพื่อการสื่อสารให้ชัดเจนยิ่งขึ้น ทำให้เกิดความเข้าใจง่ายยิ่งขึ้น



ภาพที่ 2.24 แม่ดอน

แม่ดอน (Master Die) เป็นต้นแบบที่กิดจากการผลิตด้วยเครื่องจักรเครื่องมือกลที่เรียกว่า เครื่องย่อลาย คือการนำต้นแบบที่ทำจากอีพ็อกซี่ (Epoxy) ทำการลอกลายลงบนวัสดุที่ทำแม่ดอน



ภาพที่ 2.25 ขั้นตอนการย่อลาย

แม่ตอนเป็นต้นแบบที่เกิดจากการผลิตด้วยเครื่องจักรเครื่องมือกลที่เรียกว่าเครื่องย่อถ่าย คือ การนำต้นแบบที่ทำจากอีพ็อกซี่ (Epoxy) ทำการลอกลายลงบนวัสดุที่ทำแม่ตอน

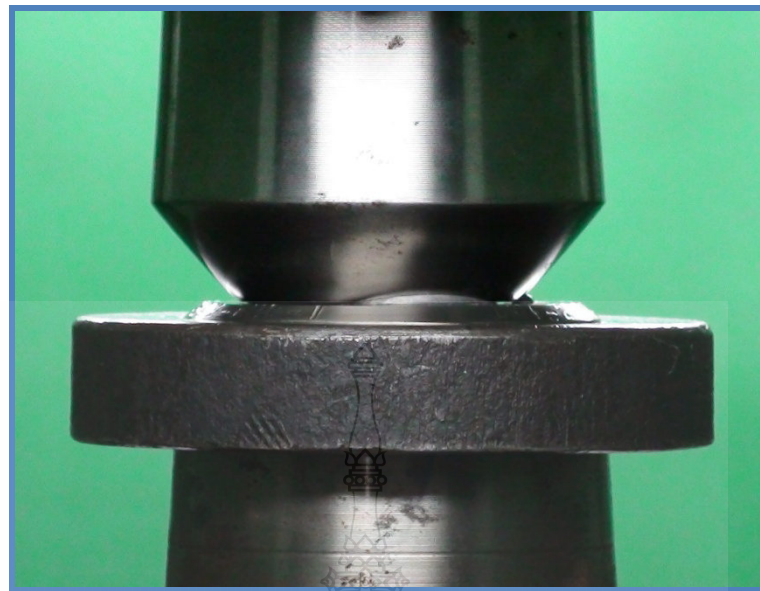


ภาพที่ 2.26 หุ่นแหลม

หุ่นแหลมคือส่วนที่ใช้ผลิตดวงตรา (Die) โดยนำวัสดุที่ใช้ผลิตดวงตราจำนวนมากลึงขึ้นรูปให้ได้ตามสัดส่วนที่ต้องการ ขนาดโดยทั่วไป $\varnothing 31$ มม. มุม 80° สูง 30 มม.



ภาพที่ 2.27 เครื่องตอนดวงตรา (แม่พิมพ์)



ภาพที่ 2.28 ลักษณะการกดของเครื่องดอนดวงตรา

ภาพที่ 2.28 แสดงลักษณะการกดระหว่างแม่ตอนกับหุนแหลม ในกระบวนการผลิตจริงจะมีระบบอุปกรณ์ปิดเพื่อบังคับการกดให้เป็นไปในทิศทางที่ต้องการ แต่เพื่อจะได้เห็นสภาพชัดเจนยิ่งขึ้น จึงได้ทำการกดโดยไม่ใช้ระบบอุปกรณ์ให้เห็นสภาพชัดเจนยิ่งขึ้น



ภาพที่ 2.29 ลักษณะหุนแหลมหลังผ่านการกดแล้ว



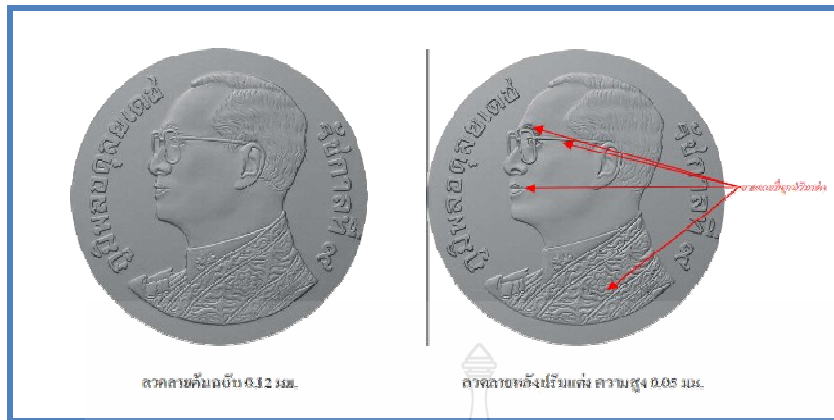
ภาพที่ 2.30 ลักษณะหุ่นแมลงหลังผ่านการกดແลี้วนำมากลึงให้ได้รูปทรงเพื่อประกอบเข้ากับเครื่องปั๊มไฮบริด

หลังจากที่ได้ตรวจสอบรูปแบบแล้วนำไปเข้ากระบวนการชุบแข็งด้วยเตาสุญญากาศทำการอบคืนไฟและชุบเคลือบผิวด้วยวิธีการ PVD ทำการทดสอบ

2.25 เทคนิคการผลิตเหรียญญาปน์สำเร็จรูปโลหะชุบเคลือบไส้เหล็ก ณ โรงพยาบาลพระภูมิ范

ในการนี้ของเหรียญญาปน์ชนิดราคา 1 บาท ได้มีการเปลี่ยนโลหะจากควิปอร์นิกเกิลเป็นไส้เหล็กชุบ nikkei ทำให้ค่าความแข็งของเหรียญตัวเปล่าเพิ่มขึ้นจาก 70-85 HV(10) เป็น Max. 110 HV (30) วิธีการที่จะรองรับการผลิตคือจะต้องเพิ่มความหนาของตัวเปล่าให้ลดความสูงของລວດລາຍ และລວດລາຍທີ່ບາງລົງຈະຕ້ອງມີຄວາມຄົມຂັດ ຈຶ່ງຈະສາມາດຕິດຮາ (Pressing) ໄດ້ດີ

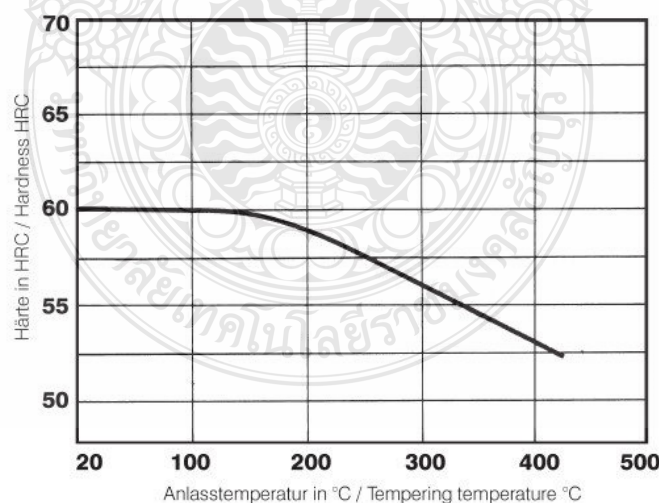
ในการผลิตเหรียญ 1 บาท ไส้เหล็กเคลือบ nikkei ให้กับประเทศไทยนั้น โรงพยาบาลพระภูมิ范 ประเทศไทย范 ได้มีการทดลองลดความสูงของລວດລາຍຂອງເຫຼື່ອຢູ່ຈາກ 0.12 ມມ. ເປັນ 0.05 ມມ.



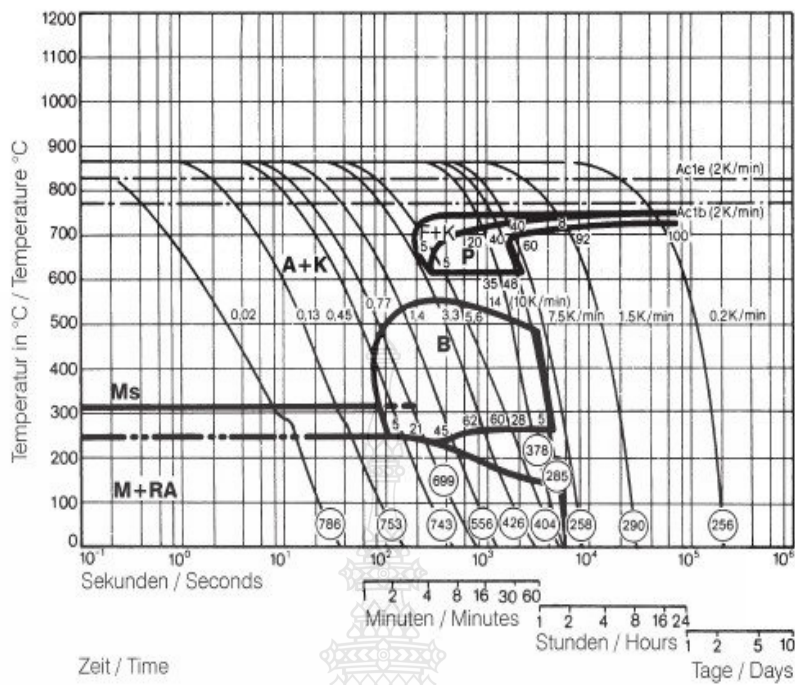
ภาพที่ 2.31 ต้นแบบเหรียญ 1 บาท ด้านหน้าหลังจากลดความสูงของลวดลายลงเหลือ 0.05 มม.

ในการผลิตแม่พิมพ์เหรียญ 1 บาท (ไส้เหล็กเคลือบนิกเกิล) โรงกลาปันฟินแลนด์ใช้เหล็กงานเย็น (Cold Work Tool Steel) ชื่อ BOHLER เกรด K 455 (DIN 1.2550) มีส่วนผสมทางเคมี 0.63%C, 0.60%Si, 0.30%Mn, 1.10%Cr, 0.18%V, 2.00%W นำมาผลิตเป็นแม่พิมพ์เหรียญ 1 บาท

ในการชุบแข็งทำการชุบแข็งที่อุณหภูมิ 880 องศาเซลเซียส โดยใช้แก๊สในโตรเรนปกกลุ่มภายในเตาเพื่อป้องกันการเกิดปฏิกิริยากับอากาศ (Oxidation) ชุบนำมั่นความแข็งประมาณ 61-62 HRC และอบคืนไฟที่อุณหภูมิ 200 องศาเซลเซียส ได้ความแข็งประมาณ 57-58 HRC



ภาพที่ 2.32 การอบคืนไฟ K455 [14]



ภาพที่ 2.33 การเย็บตัว K455 (CCT Diagram) [14]

กระบวนการชุบเคลือบพิวเพ็งด้วยระบบ PVD Coating Rogkanya ปั๊ฟันแลนด์เลือกใช้พิวเคลือบไทเทเนียม ในตรายด์ (TiN) เป็นหลัก เพราะจากการติดตามการใช้งานจริงเกี่ยวกับการติดต่ำรากเหรียญ กษาปน์ ชนิดราคา 1 บาท พบร่วมกับอายุการใช้งานเฉลี่ยของดวงตราที่ชุบเคลือบพิวด้วยคิดเนียม ในตรายด์ (TiN) ประมาณ 450,000 เหรียญต่อคู่ ในขณะที่ดวงตราที่ชุบเคลือบพิวด้วยโกรเมียม ในตรายด์ (CrN) มีอายุการใช้งานเฉลี่ยประมาณ 300,000 เหรียญต่อคู่

บทที่ 3

วิธีการดำเนินการวิจัย

3.1 วิธีการดำเนินงาน

3.1.1 การเลือกชนิดวัสดุที่ใช้ในการผลิตแม่พิมพ์เหล็ก 1 บาท (ไส้เหล็กเคลือบ никเกล) ที่ใช้ในการดำเนินงานวิจัย

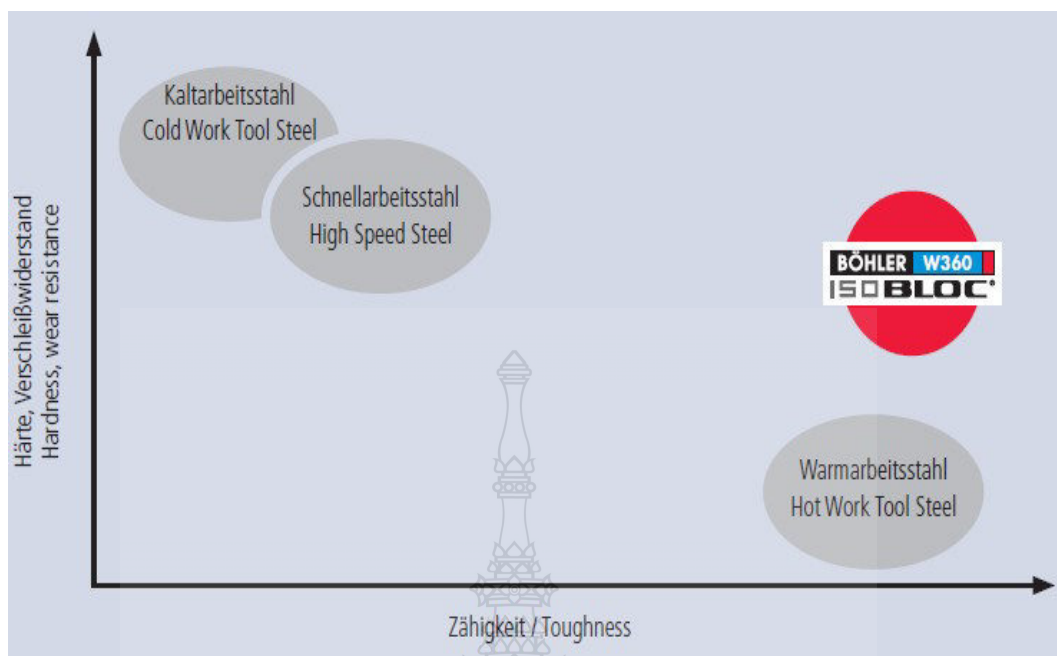
จากการนิสิตนายโรงกษาปณ์ประเทคโนโลยี จำนวน 1 หน้า (ไส้เหล็กเคลือบ nikkei) มีส่วนผสมทางเคมี คือ C 0.63%, Si 0.60%, Mn 0.30%, Cr 1.10%, V 0.18%, W 2.00% เมื่อเปรียบเทียบกับวัสดุที่สำนักกษาปณ์ใช้ในการผลิตแม่พิมพ์เหล็ก 1 บาท (ไส้เหล็กเคลือบ nikkei) คือเหล็ก KD21 มีส่วนผสมทางเคมีคือ C 0.97 %, Si 1%, Mn 0.34 %, P 0.19 %, S 0.08 %, Cr 7.88 %, Mo 1.90 %, V 0.41 % พบว่าเหล็กที่โรงกษาปณ์ประเทคโนโลยีนแลนด์มีปอร์เชิน์ของคาร์บอนต่ำกว่าเหล็กที่สำนักกษาปณ์ใช้อยู่ในกระบวนการผลิต

แนวทางในการพิจารณาเลือกชนิดของวัสดุในการดำเนินงานวิจัยผู้วิจัยพิจารณาถึงความเหมาะสมในการใช้งานโดยพิจารณาจากลักษณะของกระบวนการผลิต และเครื่องจักรที่ใช้อยู่ภายในสำนักกษาปณ์ โดยพิจารณาถึงลักษณะในการปั๊มเหล็กซึ่งใช้ความเร็วสูงถึง 800 – 850 เหล็กต่อนาที เป็นกระบวนการผลิตแบบงานเย็บ ซึ่งอาจจะทำให้แม่พิมพ์เกิดการแตกหักได้ง่ายถ้าวัสดุที่นำมาผลิตแม่พิมพ์มีความแข็งสูงแต่ขาดคุณสมบัติทางด้านความเหนียว ชาตุการ์บอนจึงเป็นตัวสำคัญที่ต้องพิจารณาจากการใช้งาน เหล็ก KD21 มีการบัน 0.97% ซึ่งอาจจะสูงเกินไปไม่เหมาะสมกับการใช้ในการผลิตเหล็ก 1 บาท (ไส้เหล็กเคลือบ nikkei) ซึ่งมีความแข็งของเหล็กสูงกว่าเหล็ก 1 บาท แบบเก่า

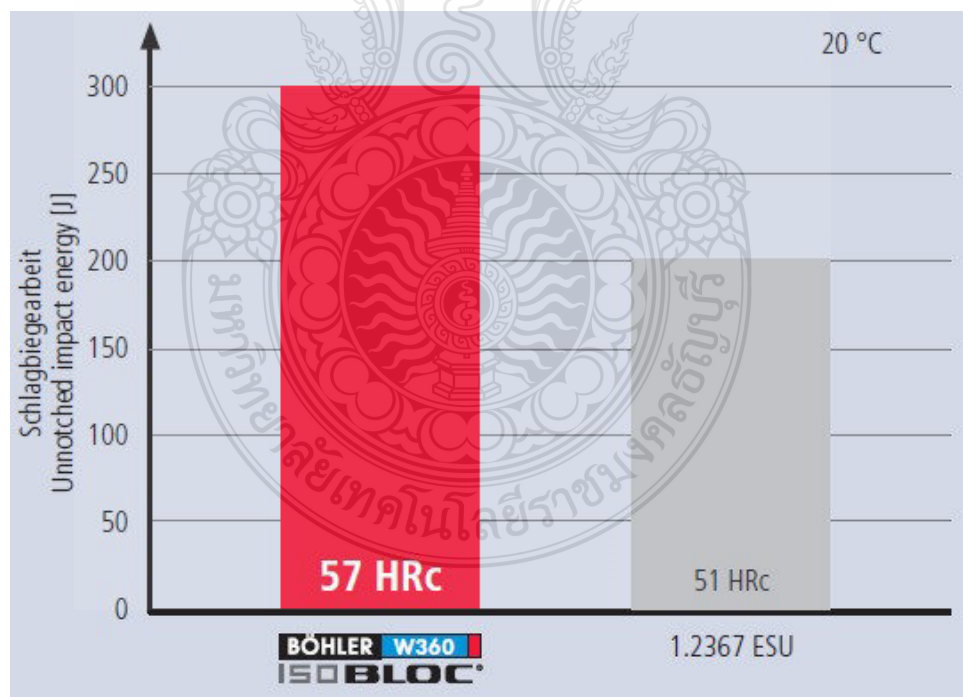
เหล็ก W360 มีส่วนผสมทางเคมีคือ C 0.50%, Si 0.20%, Mn 0.25%, Cr 4.50%, Mo 3.0%, V 0.55% มีความแข็งหลังการอบกืน ไฟ 52 – 57 HRC ซึ่งน้อยกว่าเหล็ก KD21 ที่มีความแข็งหลังการอบกืน ไฟสูงถึง 60 – 62 HRC ทำให้เหล็ก W360 มีคุณสมบัติทางด้านความเหนียวที่ดีกว่า มีความเหมาะสมกับกระบวนการผลิตในปัจจุบันของสำนักกษาปณ์

อย่างไรก็ดีผู้วิจัยมิได้พิจารณาเหล็ก W360 เพียงชนิดเดียวยังมีเหล็กที่เหมาะสมกับกระบวนการผลิตในปัจจุบันของสำนักกษาปณ์แต่มีข้อจำกัดในการตั้งชื่อต้องเป็นไปตามระเบียบพัสดุ ซึ่งต้องการให้เกิดการแบ่งขั้นกันอย่างน้อย 2 ราย

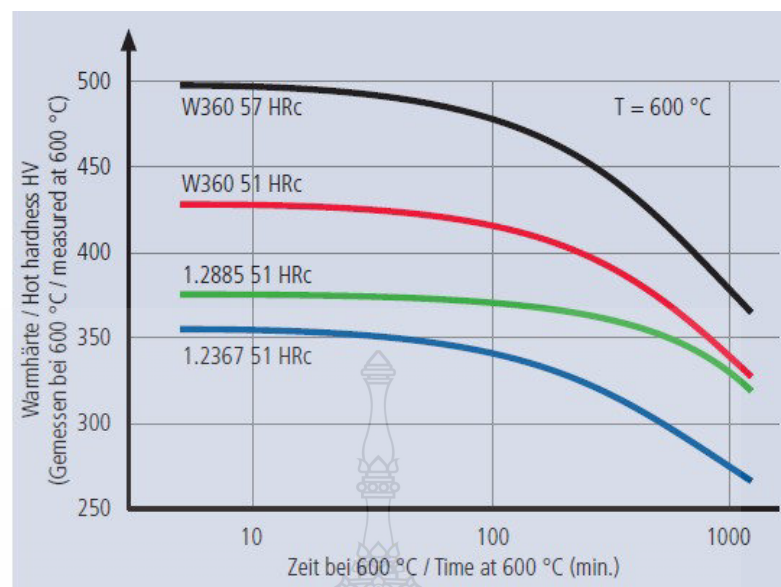
เหล็กที่ใช้ในการทดลองจึงได้นำเหล็กชนิดที่เหมาะสมกับงานแม่พิมพ์งานเย็บ จำนวน 2 ชนิด นำมาผลิตเป็นดวงตราเหล็ก 1 บาท (ไส้เหล็กเคลือบ nikkei) ได้แก่ KD21 และ W360



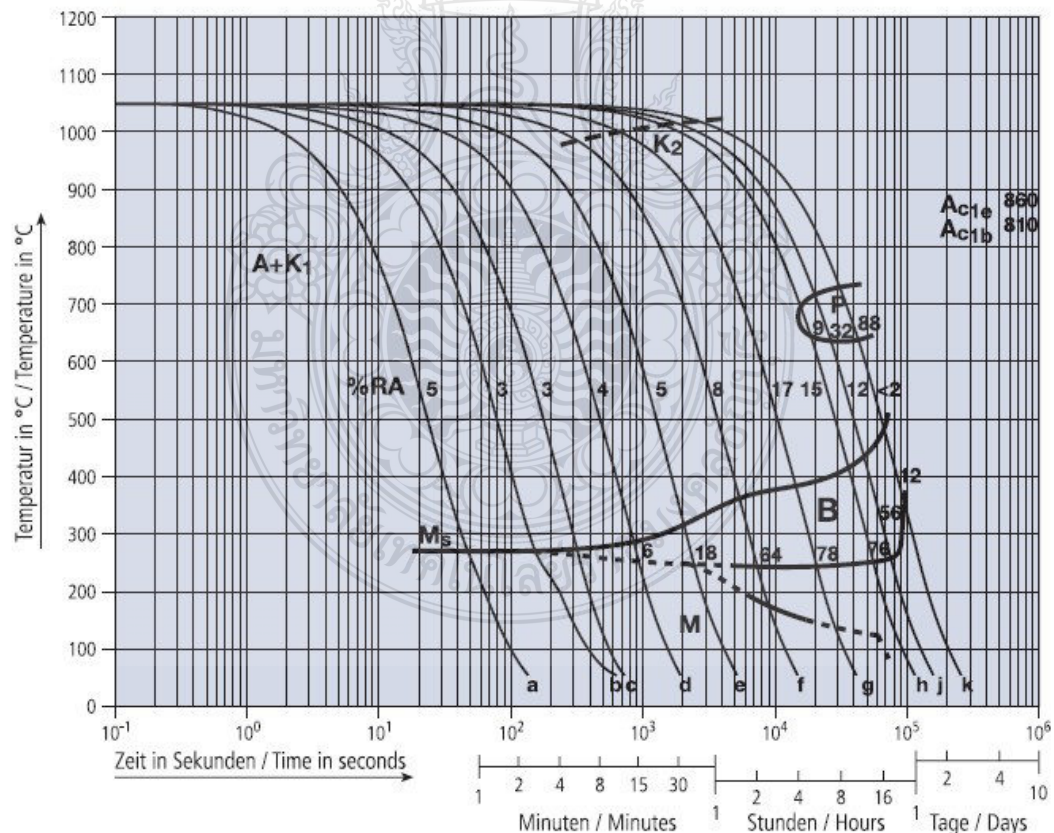
ภาพที่ 3.1 สมบัติของเหล็ก W360 [15]



ภาพที่ 3.2 การทดสอบแรงกระแทกของเหล็ก W360 [15]

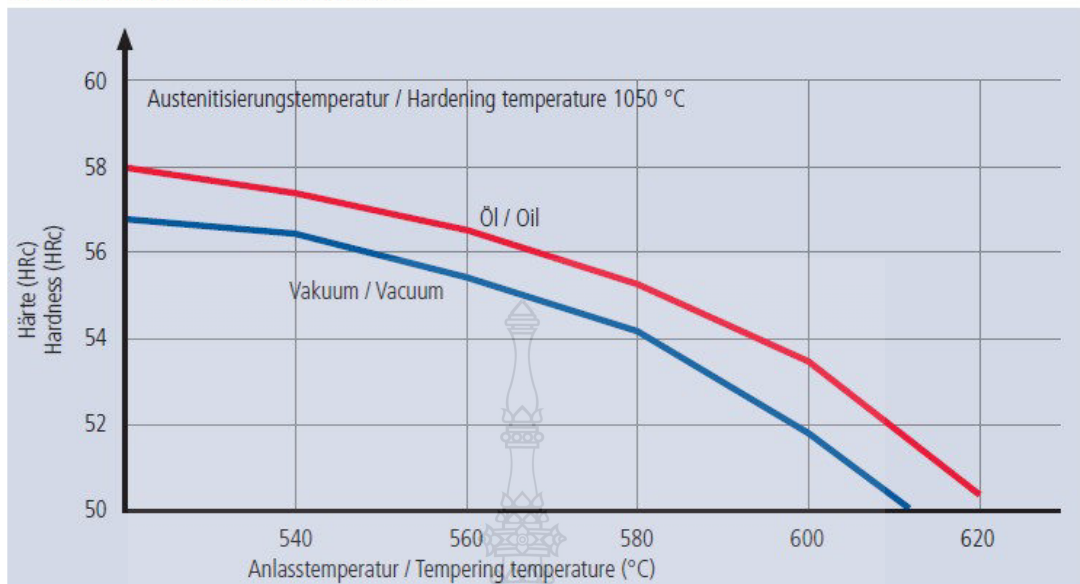


ภาพที่ 3.3 ความสัมพันธ์ระหว่างอุณหภูมิกับความแข็งของเหล็ก W360 [15]



ภาพที่ 3.4 TTT ไดอะแกรมของเหล็ก W360 [15]

Anlassschaubild / Tempering chart

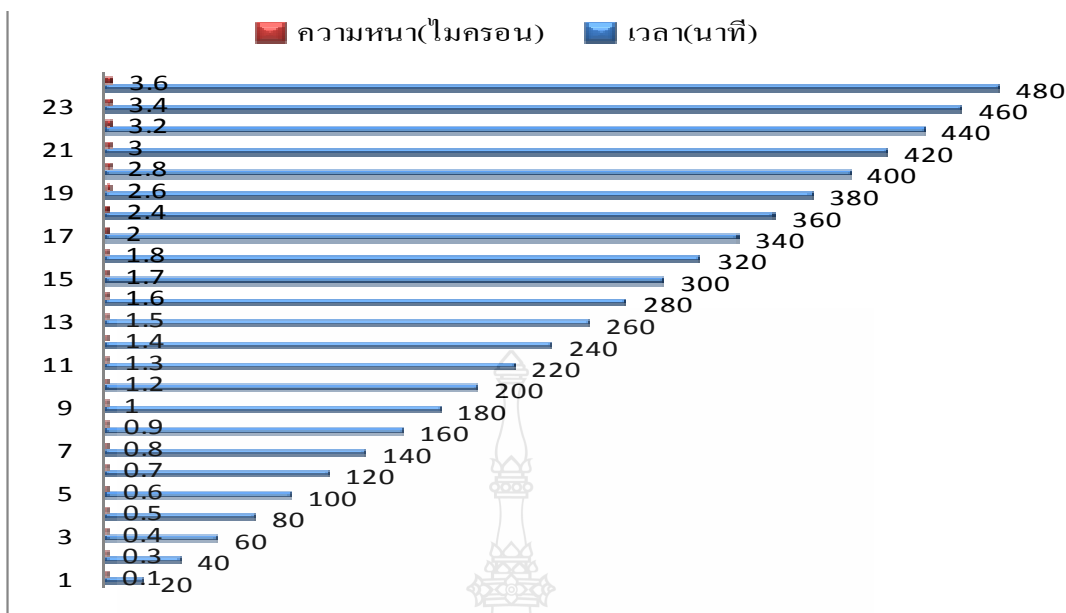


ภาพที่ 3.5 อุณหภูมิอบคืนไฟสัมพันธ์กับความแข็งของเหล็ก W360 [15]

3.1.2 ชนิดของสารเคลือบไครเมี่ยม ในตรายด์ (CrN) และการกำหนดความหนาของสารเคลือบ

ในการพิจารณาถึงชนิดของสารเคลือบที่ใช้เคลือบผิวแม่พิมพ์หรี่ษุ 1 นาท (ไส้เหล็กเคลือบนิกเกล) ด้วยวิธีการแบบ PVD สำนักกายปืนได้ทำการขัดซีอีร์ระบบชุบเคลือบผิวแบบ PVD ในปีพ.ศ. 2550 ซึ่งจุดประสงค์ในการขัดซีอีกี้เพื่อนำมาใช้กระบวนการผลิตแม่พิมพ์หรี่ษุที่ระลึก ซึ่งเป็นผลิตภัณฑ์ที่เน้นในด้านของความสวยงาม จึงใช้สารเคลือบชนิด CrN ในกระบวนการชุบเคลือบผิวแม่พิมพ์ เพราะสารเคลือบชนิด CrN นั้นมีความงาม มีคุณสมบัติของผิวหลังการชุบเป็นที่ยอมรับเป็นไปตามมาตรฐานในการผลิตหรี่ษุของทางสำนักกายปืน ผู้วิจัยจึงพิจารณาในเรื่องของความหนาผิวเคลือบที่เหมาะสม โดยพิจารณาถึงความสูงของลวดลายของหรี่ษุ 1 นาท (ไส้เหล็กเคลือบนิกเกล) ซึ่งมีการปรับลด จาก 0.12 มม. เหลือ 0.05 มม. เพราะฉะนั้นในการเคลือบผิวถ้าความหนาผิวเคลือบหนาเกินไปอาจจะส่งผลให้ลวดลายไม่ชัดเจน บางเกินไปผิวเคลือบอาจเกิดการหลุดร่อนเร็ว อีกทั้งยังต้องพิจารณาในเรื่องของเวลาที่ใช้ในการชุบเคลือบผิวซึ่งเป็นปัจจัยสำคัญในการกำหนดความหนา

ผู้วิจัยจึงได้พิจารณากำหนดความหนาเป็น 3 ระดับ คือ 1, 2 และ 3 ไมครอน (μm) ในการชุบเคลือบผิวแบบ PVD ผู้วิจัยได้ทำการศึกษาเก็บข้อมูลทางเทคนิคที่ผู้ปฏิบัติงานประจำได้ทำการจดบันทึกข้อมูลในการปฏิบัติงานเพื่อใช้ในการกำหนดเวลาที่ใช้ในกระบวนการชุบเคลือบผิวแบบ PVD เพื่อให้ได้ความหนาใกล้เคียงกับระดับความหนาที่ต้องการ



ภาพที่ 3.6 ความสัมพันธ์ของเวลา กับ ความhardness ของการชุบเคลือบ PVD Process

3.1.3 จัดเตรียมวัสดุอุปกรณ์

- 1) เหล็ก KD21 และ W360
- 2) เตาอบชุบโลหะแบบสแตนเลส
- 3) เครื่องเคลือบผิว PVD
- 4) เครื่องทดสอบความแข็งมาโครอาร์ดเนต (Macrohardness)
- 5) เครื่องวัดความhardness โดยวิธีการเอกซเรย์ฟลูออเรสเซนซ์ (X-Ray Fluorescence)
- 6) เครื่องตัดแบบ Wire Cut (EDM)

3.2 ดำเนินการทดลอง

นำเหล็กชิ้นทดสอบ ที่ผ่านกระบวนการผลิตพร้อมทำการอบชุบด้วยเตาอบชุบแบบสแตนเลสดังนี้

3.2.1 เหล็ก KD21 อุณหภูมิชุบแข็งที่ $1,040^{\circ}\text{C}$ เวลาอบแช่ (Soaking) 30 นาที ชุบแข็งด้วยก๊าซในไตรเจน อบคืนไฟ (Tempering) ที่ 3 ระดับอุณหภูมิ

- 1) 500°C สองครั้งๆ ละ 2 ชั่วโมง
- 2) 530°C สองครั้งๆ ละ 2 ชั่วโมง (ตามมาตรฐานผู้ผลิต)
- 3) 580°C สองครั้งๆ ละ 2 ชั่วโมง

3.2.2 เหล็ก W360 อุณหภูมิชุบแข็ง $1,050^{\circ}\text{C}$ เวลาอบแซ่ 30 นาที ชุบแข็งด้วยก๊าซ ไนโตรเจน อบคืนไฟ (Tempering) ที่ 3 ระดับอุณหภูมิ

- 1) 500°C ส่องครั้งๆ ละ 2 ชั่วโมง
- 2) 530°C 2 ชั่วโมง รอบแรก รอบที่สอง 550°C 2 ชั่วโมง (ตามมาตรฐานผู้ผลิต)
- 3) 580°C ส่องครั้งๆ ละ 2 ชั่วโมง

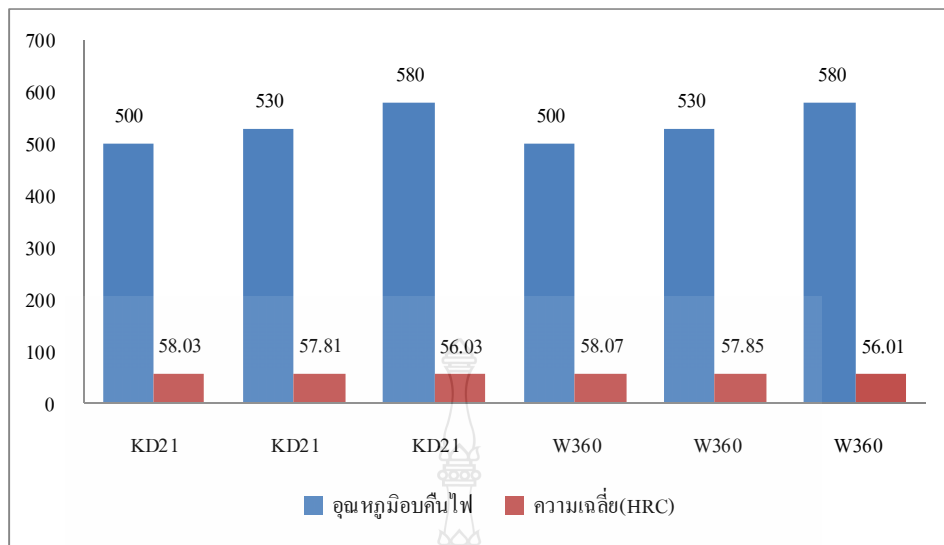
3.2.3 ทดสอบความแข็งมาโครฮาร์ดเนต (Macrohardness) หน่วยการวัดแบบ HRC ชนิดหัวกดแบบเพชรนำหนักที่ใช้ในการกด 1471 N ในการวัดค่าความแข็งทำการวัดซึ่งละ 3 จุด



ภาพที่ 3.7 ข้อมูลในการวัดความแข็ง



ภาพที่ 3.8 จุดกดวัดความแข็ง



ภาพที่ 3.9 ค่าความแข็งที่วัดได้

3.2.4 กระบวนการชุบเคลือบผิวด้วยวิธีการ PVD ชนิดสารเคลือบโกรเมี่ยม ในตราย (CrN) รายละเอียดดังนี้

- 1) นำชิ้นทดสอบมาเช็ดน้ำมันเคลือบกันสนิมหน้าด้วยตราอุดตัวขยะด้วยกระดาษชำระ และทำความสะอาดด้วยการเช็ดล้างด้วยน้ำยาอาซิโนน
- 2) เข้าสู่กระบวนการล้างระบบอุลตร้าโซนิก อุณหภูมิน้ำยาล้าง 60°C เวลาที่ใช้ในการล้าง 10 นาที อบแห้งที่อุณหภูมิ 80°C ใช้เวลาประมาณ 15 นาที
- 3) นำชิ้นงานเข้าสู่กระบวนการชุบเคลือบผิว



ภาพที่ 3.10 เครื่องล้างด้วยวิธีการอุลตร้าโซนิก



ภาพที่ 3.11 ลักษณะการถ้าง

3.2.5 รายละเอียดในกระบวนการชุบเคลือบพิวมีดังนี้

- 1) เวลาที่ใช้ในกระบวนการเคลือบพิวประมาณ 5 – 6 ชั่วโมง ขึ้นอยู่กับความหนาที่ต้องการในการวิจัยทำการชุบที่ 3 ระดับความหนาเฉลี่ยที่ 1, 2 และ 3 ไมครอน
- 2) อุณหภูมิที่ใช้เคลือบพิวประมาณ $400\text{--}450^{\circ}\text{C}$
- 3) ไนโตรเจนบริสุทธิ์ (Nitrogen 99.999%) ปริมาณที่ใช้ 500 ลบ.ชม. ต่อ นาที
- 4) อาرغอนบริสุทธิ์ (Argon 99.999%) ปริมาณที่ใช้ 300 ลบ.ชม. ต่อ นาที
- 5) ตรวจสอบแท่งค่าโดยหากพบการสึกหรอควรเปลี่ยนใหม่



ภาพที่ 3.12 ค่าโดยสารบุรณ์พร้อมใช้งาน

6) บรรจุชิ้นงานเข้าห้องชุบ ในขั้นตอนนี้ต้องระมัดระวังไม่ให้มีไขมันหรือสารหล่อลื่น เกาะติดบริเวณพื้นผิวของชิ้นงาน

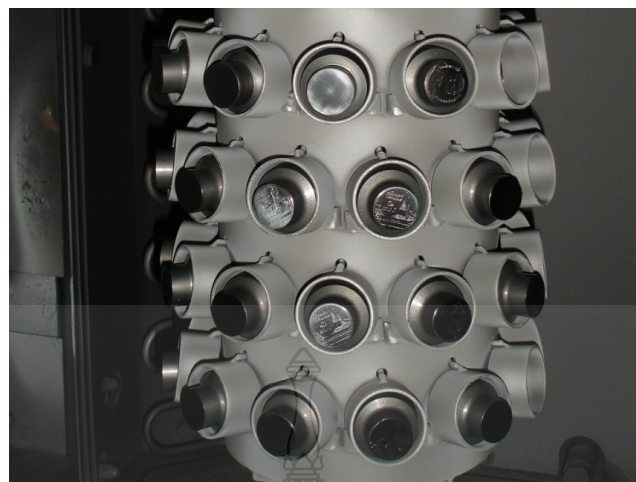


ภาพที่ 3.13 การบรรจุชิ้นงาน

7) เข้าสู่กระบวนการชุบเคลือบพิวโดยใช้โปรแกรมการชุบสำเร็จรูป โดยปฏิบัติตามคู่มือ การปฏิบัติงาน คู่มือการใช้งานเครื่องชุบเคลือบพิวแบบระบบ PVD ยี่ห้อ SUZER METAPLAS IONON รุ่น MZR 303 (Operating Manual PVD Coating System MZR-303) เลขที่เอกสาร 301-06517 Vol. 1 ถึง Vol. 6 ของสำนักภาษาปัล



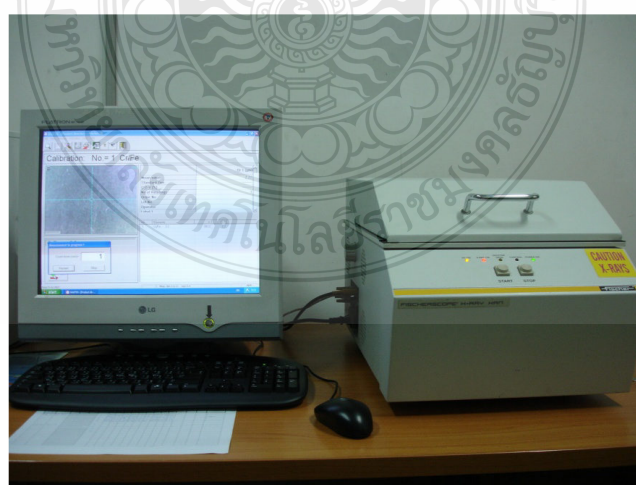
ภาพที่ 3.14 เครื่องชุบเคลือบพิว



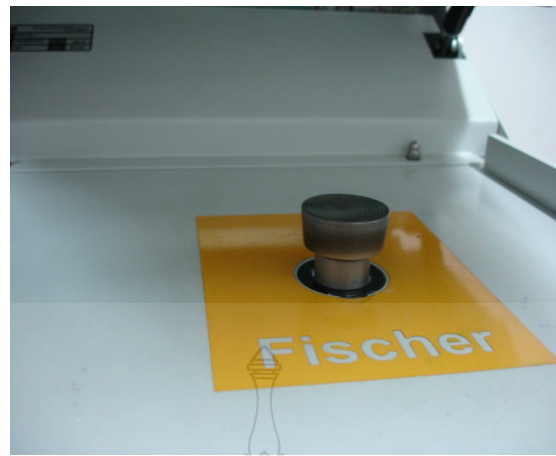
ภาพที่ 3.15 ชิ้นงานหลังชุบเคลือบพิว

3.2.6 หลังจากกระบวนการชุบเคลือบพิวแบบ PVD แล้วนำชิ้นทดสอบวัดความหนาของ พิวเคลือบ Cr ด้วยเครื่องวัดความหนาพิวเคลือบแบบอิเล็กทรอนิกส์ฟลูออเรสเซ็นซ์ รายละเอียดดังนี้

- 1) ทำการสอบเทียบ Cr ที่ระดับความหนา 2.18 ไมครอน ด้วยชิ้นทดสอบพิวเคลือบ มาตรฐานจากบริษัท ผู้ผลิต
- 2) กระแสที่ใช้ในการวัด 50 kV
- 3) เวลาที่ใช้ในการวัด 20 วินาที ต่อ 1 จุด
- 4) วัด 3 จุด ต่อ ชิ้นงาน 1 ชิ้น

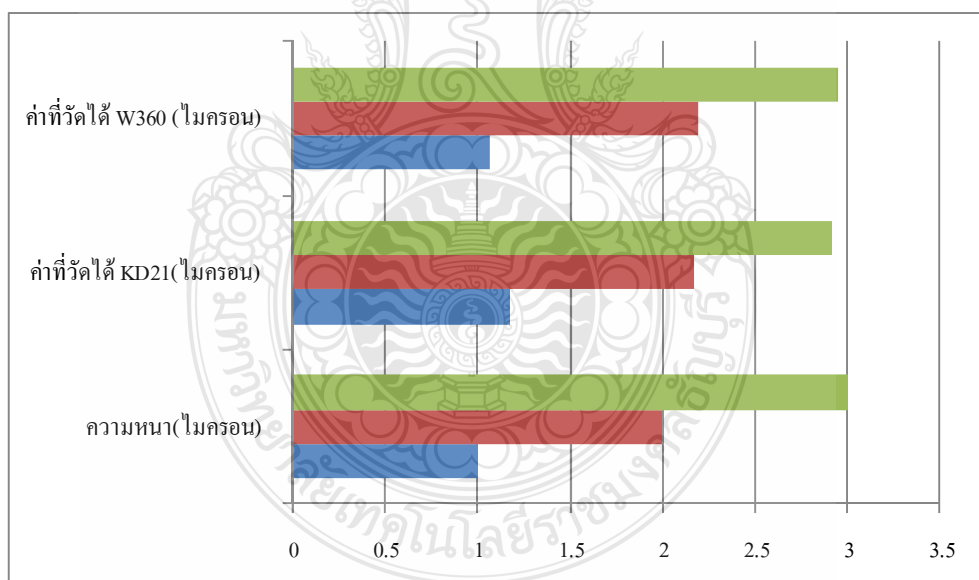


ภาพที่ 3.16 เครื่องวัดความหนาพิวเคลือบแบบอิเล็กทรอนิกส์ฟลูออเรสเซ็นซ์



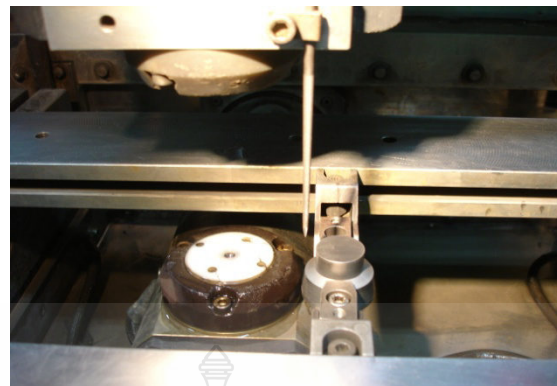
ภาพที่ 3.17 ลักษณะการวัดชิ้นงาน

ในการวัดความหนาของผิวเคลือบมีการจดบันทึกในตารางเพื่อใช้เป็นข้อมูลยืนยันความหนาเฉลี่ยที่เหมาะสม ผู้วิจัยได้นำข้อมูลจากการจดบันทึกสรุปเป็นกราฟดังนี้



ภาพที่ 3.18 ค่าความหนาของผิวเคลือบที่วัดได้

3.2.7 หลังจากวัดความหนาของผิวเคลือบนำเข้าชิ้นทดสอบที่ยังไม่ผ่านการใช้งานตัดผ่าด้วยเครื่องตัดแบบ Wire Cut (EDM)



ภาพที่ 3.19 ลักษณะการตัดผ่าชิ้นงานด้วย Wire Cut (EDM)



ภาพที่ 3.20 ชิ้นทดสอบตัดผ่าด้วยเครื่องตัดแบบ Wire Cut (EDM)

3.2.8 นำชิ้นงานเข้าสู่กระบวนการวิเคราะห์ถ่ายภาพด้วยกล้องจุลทรรศน์อิเล็กตรอนแบบส่องกวาก (SEM) เพื่อดูการขีดเค冈ะระหว่างชิ้นงานทดสอบกับสารเคลือบชนิด CrN ซึ่งในขั้นตอนนี้ได้นำชิ้นทดสอบทำการถ่ายภาพที่ศูนย์เทคโนโลยีโลหะและวัสดุแห่งชาติ (MTEC) ทำการทดสอบความแข็งไมโครหาร์ดเนส (Microhardness) และทำการตรวจสอบโครงสร้างจุลภาคของเหล็กทั้งสองชนิดเพื่อเป็นการทดสอบว่ามีความสอดคล้องในการวิเคราะห์ผลโดยโปรแกรมมินิแทป 15 (Minitab15)

3.2.9 ในกระบวนการผลิตหรี่ญูสำเร็จ (Pressing and Forming) ใช้หรี่ญูตัวเปล่าหนา 1.25 มม. ด้านหัว – ก้อย พร้อมกับขึ้นอบเพื่อความเร็วที่ใช้ในการปั๊ม 800 – 850 เหรี่ญู ต่อ นาที ทำการสุ่มตรวจทุกๆ 5 นาที (ประมาณ 4,000 เหรี่ญูต่อครั้ง ครั้งละ 20 เหรี่ญู)

3.2.10 ในการคัดหรี่ญูว่าเสียหรือไม่ (Reject Coin) จะใช้เจ้าหน้าที่พนักงานที่มีความเชี่ยวชาญทำการตัดสินใจคัดแยกหรี่ญูชำรุด และทำการเปลี่ยนแม่พิมพ์ด้านหัว - ก้อย เมื่อหมดอายุ

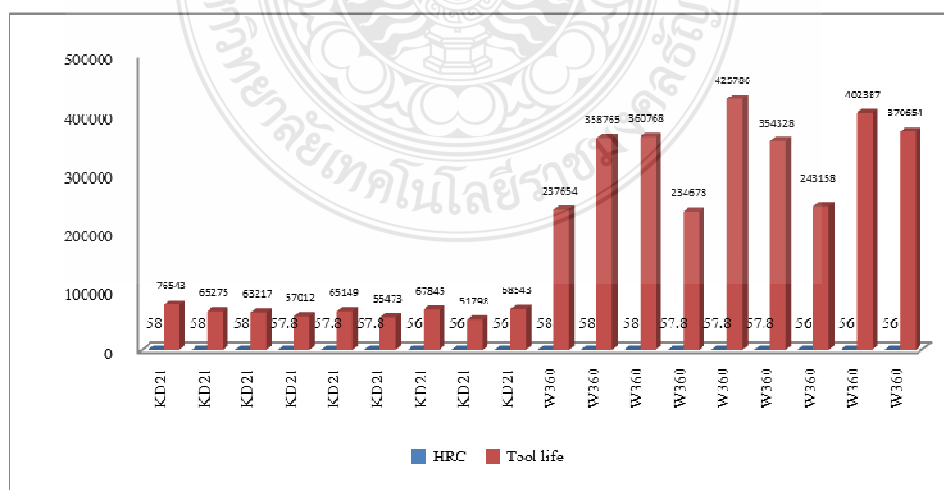
บทที่ 4

ผลการทดลอง

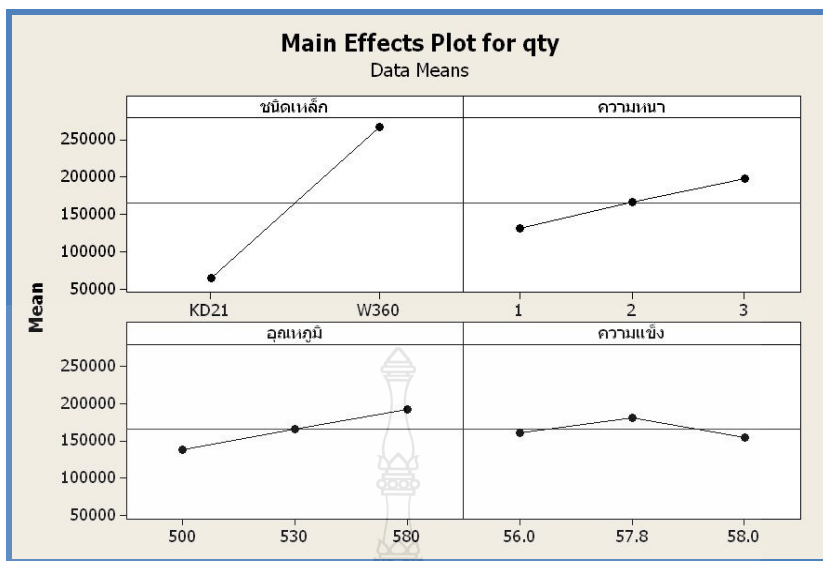
ในการวิเคราะห์และสรุปผลการวิจัยนี้ งานวิจัยนี้ได้ใช้โปรแกรมมินิแทปเวอร์ชัน 15 เป็นเครื่องมือในการวิเคราะห์ข้อมูล สรุปผลการทดลอง รวมถึงปัจจัยต่างๆ ที่มีผลกับงานวิจัย ด้วยวิธีการทางสถิติแบบ DOE Factorial นอกจากการวิเคราะห์ทางข้อมูลแล้วยังมีการวิเคราะห์ชิ้นทดสอบโดยวิธีการแสดงภาพถ่ายของชิ้นงานที่ทำการทดลองด้วยกล้องอิเลคตรอนแบบส่อง瓜 (SEM) เพื่อใช้ในการวิเคราะห์ความสมบูรณ์ผิวเคลือบ โคโรเมี่ยม ในตรายด์ (CrN) เพื่อแสดงความแตกต่างของชิ้นทดสอบของวัสดุทั้งสองชนิดเนื่องจากจำนวนเหรียญที่ติดราไได้มีจำนวนที่แตกต่างกันพอสมควร การวิเคราะห์โดยวิธีการตรวจสอบโครงสร้างจุดภาคของเหล็ก KD21 และ W360 เพื่อทำการเปรียบเทียบโครงสร้างว่ามีความแตกต่างกันอย่างไร

4.1 การวิเคราะห์ผลด้วยโปรแกรม Minitab 15

ในงานวิจัยนี้ได้เลือกใช้วิธีการทางสถิติแบบ DOE Factorial เนื่องจากมีปัจจัยมากกว่า 2 ปัจจัยแสดงให้เห็นถึงปัจจัยที่มีผลเกี่ยวข้องกัน ใช้ระดับความเชื่อมั่นที่ 95% รวมถึงการพิจารณาจากค่า P-Value โดยคุณลักษณะ Term ถ้า Term ใดมีค่าน้อยกว่า 0.05 แสดงว่ามีผลต่อจำนวนเหรียญที่ได้ หรือค่า Y (qty) อย่างมีนัยสำคัญ ผู้วิจัยได้ทำการแจกแจงข้อมูลจำนวนมากทำให้เห็นถึงรายละเอียดของข้อมูลในการวิเคราะห์สรุปผลได้ทำการสรุปข้อมูลให้อยู่ในรูปแบบของกราฟเพื่อให้เข้าใจง่ายยิ่งขึ้น ดังนี้ ภาพที่ 4.1 กราฟสรุปจำนวนปริมาณเหรียญ 1 บาท ที่ผลิตได้ต่อแม่พิมพ์ 1 คู่ (หัว - ก้อย)

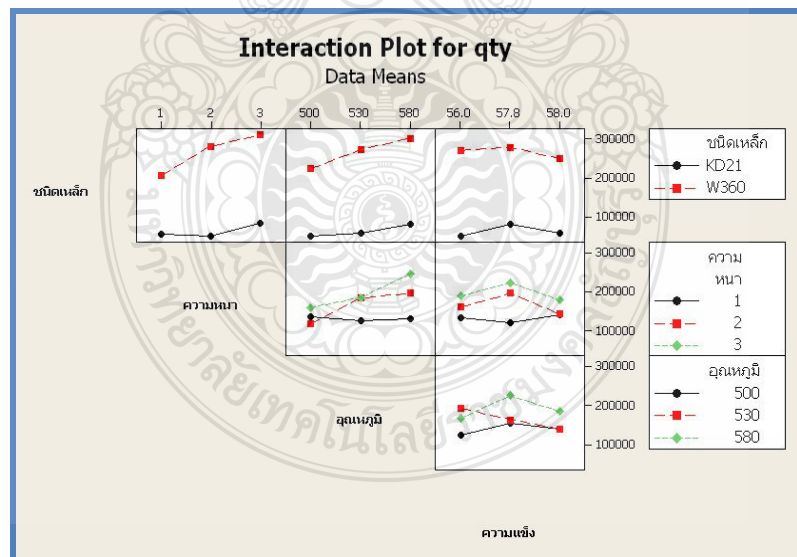


ภาพที่ 4.1 สรุปจำนวนเหรียญ 1 บาท ที่ผลิตได้ต่อแม่พิมพ์ 1 คู่ (หัว - ก้อย)



ภาพที่ 4.2 Main Effect Plot for qty

กราฟ Main Effect Plot for qty ประมวลผลโดยโปรแกรมมินิแทป 15 เป็นกราฟที่แสดงให้เห็นถึงปัจจัยที่คิดว่าสุดทำให้จำนวนเรรียญที่ผลิตได้มากที่สุด (qty)

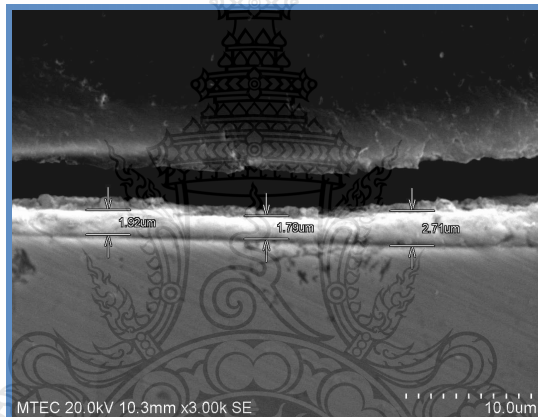


ภาพที่ 4.3 Interaction Plot for qty

กราฟ Interaction Plot for qty เป็นกราฟที่แสดงให้เห็นถึงปัจจัยที่มีผลเกี่ยวกับกันซึ่งเป็นปัจจัยสำคัญที่มีผลต่อจำนวนเกรียงที่ได้จากผลการวิเคราะห์ด้วยโปรแกรม Minitab ทำให้ทราบว่าต้องกำหนดชนิดเหล็กเป็น W360 ความหนา 2-3 μm อุณหภูมิอบคืนไฟ เท่ากับ $530-580^\circ\text{C}$ ความแข็งเท่ากับ 56-57.8 HRC ทำให้ปริมาณเกรียงที่ได้ต่อคงตรา 1 คู่ (qty) ดีหรือสูงที่สุด

4.2 การวิเคราะห์ด้วยกล้องอิเลคทรอนแบบส่องกล้อง (Scanning Electron Microscope SEM)

เพื่อดูการยึดเกาะระหว่างสารเคลือบชนิดโกรเมี่ยนไนตรายด์ (CrN) กับพื้นผิวของวัสดุ (Substrate Material) ว่ามีความสมบูรณ์ หรือไม่สมบูรณ์ของสารเคลือบ เพื่อเป็นการยืนยันผลการวิเคราะห์ทางสถิติว่าสอดคล้องกับผลการทดสอบหรือไม่



ภาพที่ 4.4 เหล็ก KD21 จากกล้อง SEM



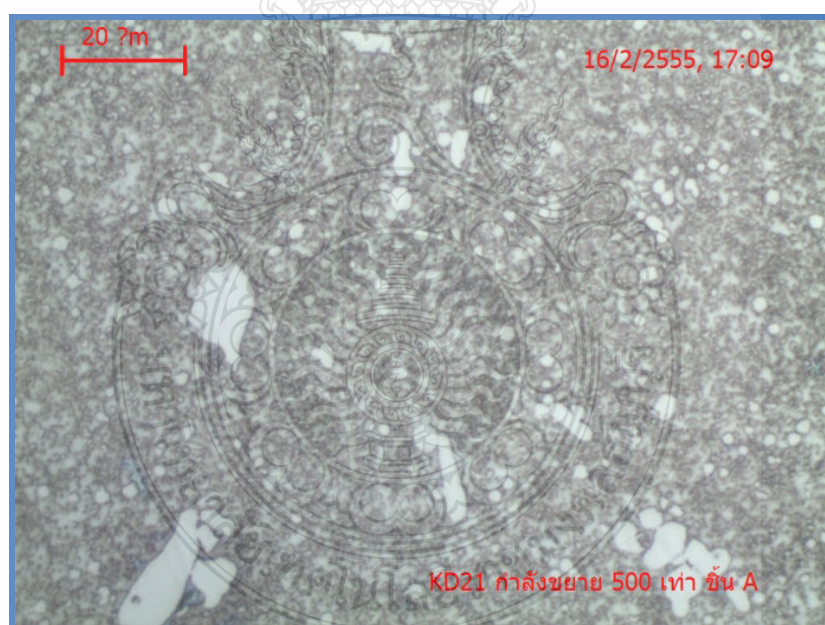
ภาพที่ 4.5 เหล็ก W360 จากกล้อง SEM

จากภาพที่ 4.4 และ 4.5 แสดงให้เห็นสารเคลือบชนิด CrN กับพื้นวัสดุ (Substrate Material) จะเห็นว่าเหล็ก KD21 กับสารเคลือบเกิดรอยแยกระหว่างสารเคลือบ CrN กับพื้นวัสดุ ถึงแม้ว่าจะแสดงให้เห็นลักษณะทางกายภาพภายนอกเท่านั้นยังแสดงให้เห็นถึงลักษณะที่ไม่สมบูรณ์ระหว่างสารเคลือบกับวัสดุที่เคลือบ

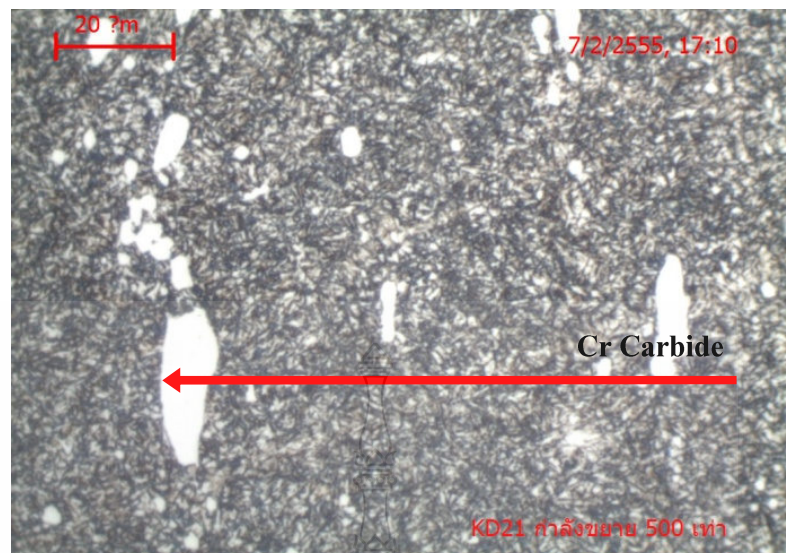
เหล็ก W360 แสดงให้เห็นสารเคลือบชนิด CrN กับพื้นวัสดุ (Substrate Material) มีลักษณะที่สมบูรณ์ระหว่างสารเคลือบกับวัสดุที่เคลือบถึงแม้ว่าจะแสดงให้เห็นลักษณะทางกายภาพภายนอกเท่านั้น เมื่อทำการพิจารณาเปรียบเทียบภาพจากกล้อง SEM ระหว่างเหล็ก KD21 และ W360 จะเห็นว่าเหล็ก W360 มีความเป็นไปได้สูงกับการนำไปใช้ในกระบวนการผลิตเครื่อง (หัว – ก้ออย)

4.3 การวิเคราะห์ด้วยภาพโกรงสร้างจุลภาค

ผู้วิจัยทำการวิเคราะห์ด้วยวิธีการถ่ายภาพโกรงสร้างจุลภาคเนื่องด้วยภาพจากกล้อง SEM มีความแตกต่างกันอย่างชัดเจน



ภาพที่ 4.6 โกรงสร้างจุลภาคของเหล็ก KD21 สภาพชำนาญ (Nitric 2%)



ภาพที่ 4.7 โครงสร้างจุลภาคของเหล็ก KD21 หลังอบคืนไฟที่ 530°C 2 ครั้งๆ ละ 2 ชั่วโมง (Nitric 2%)



ภาพที่ 4.8 โครงสร้างจุลภาคสภาพชำนาญของเหล็ก W360 (Nitric 2%)



ภาพที่ 4.9 โครงสร้างจุลภาคของเหล็ก W360 หลังอบคืนไฟที่ 530°C 2 ชั่วโมง และ 550°C 2 ชั่วโมง (Nitric 2%)

จากการวิเคราะห์ด้วยภาพถ่ายโครงสร้างจุลภาคของเหล็ก KD21 และ W360 จะเห็นได้ว่าภาพโครงสร้างมีความแตกต่างกันอย่างชัดเจนที่กำลังขยาย 500 เท่า ในสภาพจำหน่าย KD21 โครงสร้างมีจุดขาวๆ เป็น Cr Carbide ที่ไม่หลอมละลาย ในสภาพจำหน่าย W360 โครงสร้าง Homogeneous เป็น Phase ไม่เห็น Grain Boundary หลังการอบคืนไฟ KD21 มี Cr Carbide ซึ่งเป็น Ledeburite Carbide ที่ไม่หลอมละลายส่วน W360 เนื้อละเอียดมากเป็น Homogeneous หลังจากชุบแข็งและอบคืนไฟแล้ว

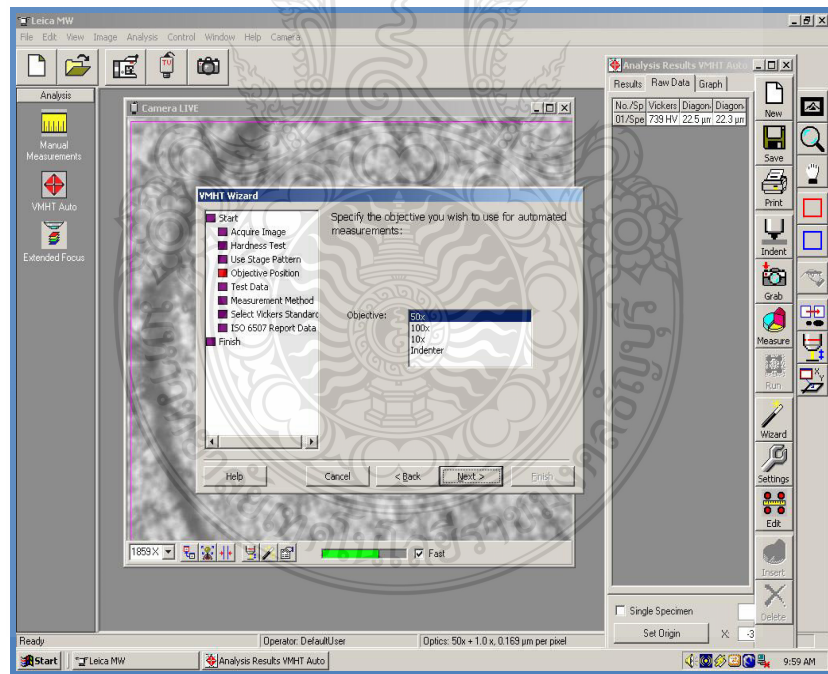
ในการวิเคราะห์ด้วยภาพถ่ายโครงสร้างจุลภาคของเหล็ก KD21 และ W360 จะเห็นได้ว่ามีความสอดคล้องกับปริมาณหรือรูปที่ได้ต่อความตรา 1 คู่ และยังมีความสอดคล้องกับการวิเคราะห์ทางสถิติด้วยโปรแกรมมินิแทป 15 อิกด้วย

4.4 การทดสอบความแข็งด้วยเครื่องวัดความแข็งไมโครฮาร์ดเนส (Micro Hardness)

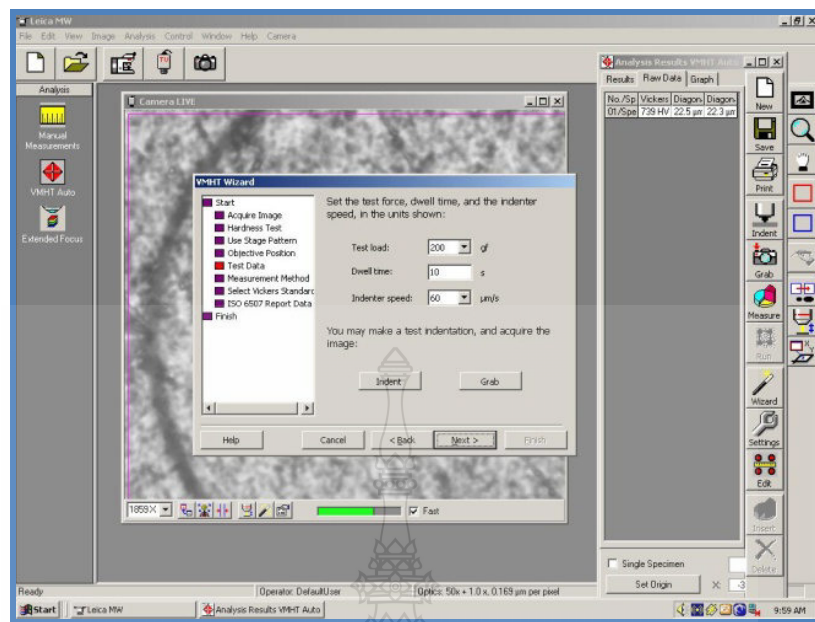
จุดประสงค์ในการวัดความแข็งด้วยเครื่องวัดความแข็งแบบไมโครฮาร์ดเนสนั้นเนื่องมาจากการวิเคราะห์ด้วยภาพโครงสร้างจุลภาคเหล็ก KD21 โครงสร้างมีจุดขาวๆ เป็น Carbide ที่ไม่หลอมละลาย ($\text{C } 0.97\%$, $\text{Cr } 7.88\%$, $\text{Mo } 1.90\%$, $\text{V } 0.41\%$) จึงต้องการทดสอบความแข็งบริเวณเนื้อ Carbide เพรียบเทียบกับโครงสร้างที่เป็น Homogeneous ในการวัดความแข็งของเหล็กโดยเครื่องวัดความแข็งแบบไมโครฮาร์ดเนส มีรายละเอียดดังนี้



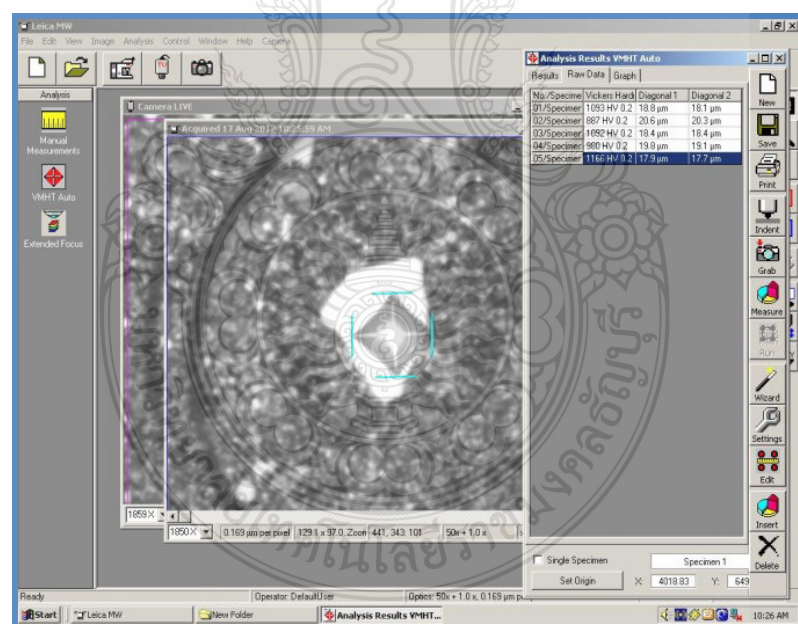
ภาพที่ 4.10 เครื่องวัดความแข็งแบบไนโตรหารด์เนส



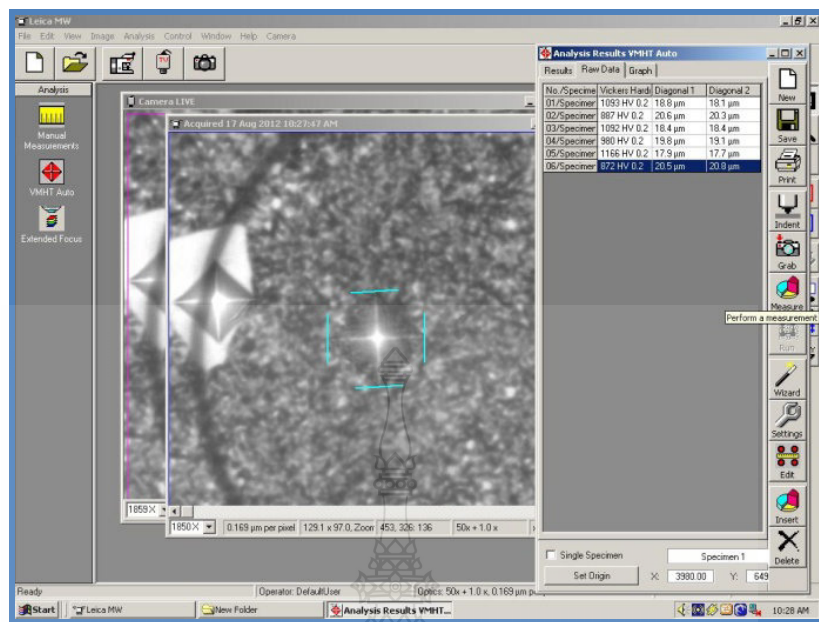
ภาพที่ 4.11 กำหนดค่ากำลังขยาย 50X



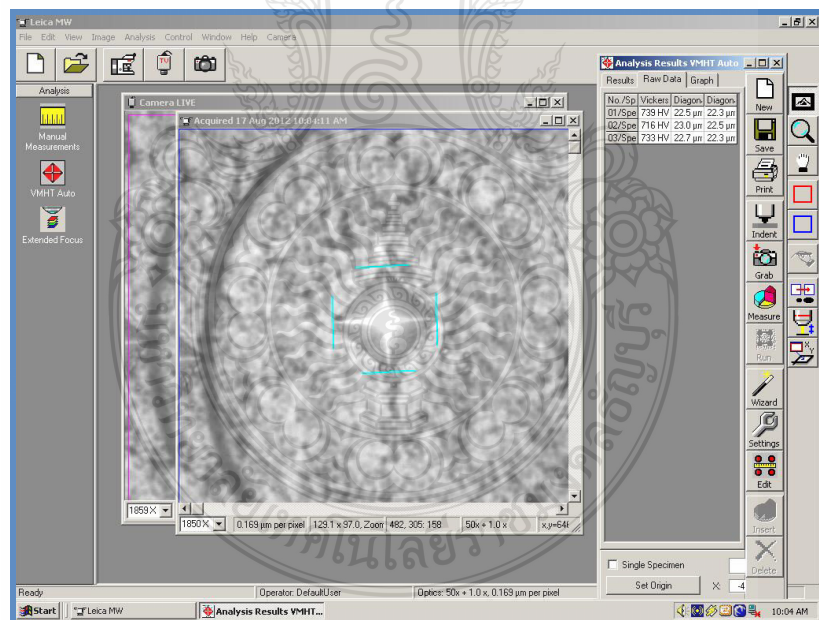
ภาพที่ 4.12 ค่าแรงกด 200 gf เวลาที่ใช้ในการกดต่อจุด 10 วินาที



ภาพที่ 4.13 การวัดความแข็งเหล็ก KD21 (บริเวณเนื้อคาร์ไบด์) ความแข็ง 1092-1166 HV (0.2)

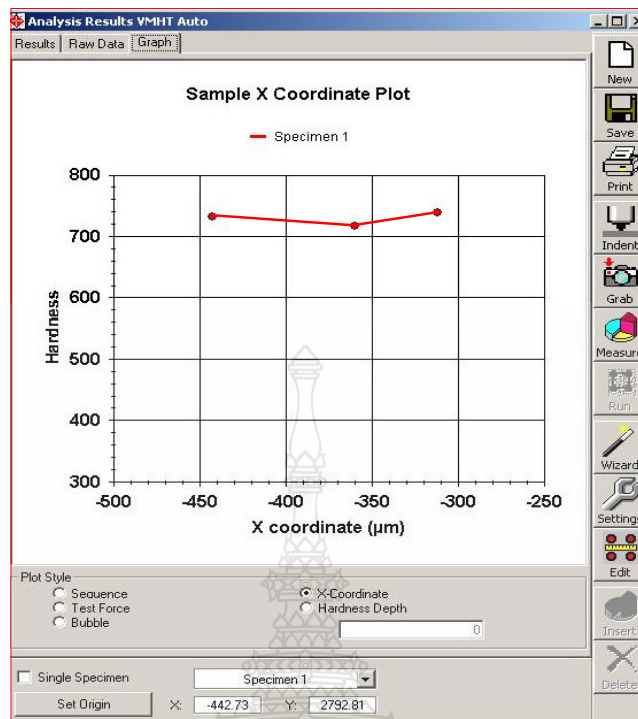


ภาพที่ 4.14 การวัดความแข็งเหล็ก KD21 (บริเวณ Homogeneous Matrix) ความแข็ง 837HV (0.2)

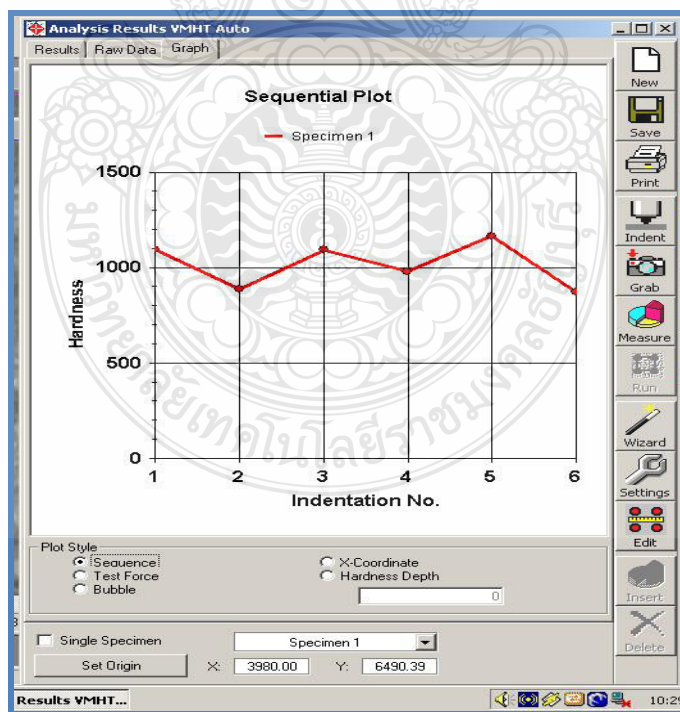


ภาพที่ 4.15 การวัดความแข็งเหล็ก W360 บริเวณ (Homogeneous Matrix) ความแข็ง 729HV (0.2)

หลังจากวัดความแข็งได้นำข้อมูลค่าความแข็งที่วัดได้ ทำเป็นกราฟค่าความแข็งโดยใช้โปรแกรมสำหรับของเครื่องวัดความแข็งดังนี้



ภาพที่ 4.16 ค่าความแข็งของเหล็ก W360 เป็นกราฟ



ภาพที่ 4.17 ค่าความแข็งของเหล็ก KD21 เป็นกราฟ

จากการทดสอบค่าความแข็งของเหล็ก W360 จะเห็นได้ว่ากราฟมีลักษณะเกือบเป็นเส้นตรง แสดงให้เห็นว่าค่าความแข็งมีความสม่ำเสมอ เมื่อเปรียบเทียบกับกราฟทดสอบค่าความแข็งของเหล็ก KD21 มีลักษณะขึ้นลงเป็นฟันปลาแสดงให้เห็นถึงค่าความแข็งที่แตกต่างกันระหว่างเนื้อการ์ไบด์ กับ บริเวณโครงสร้างที่เป็นเนื้อเดียวกัน

4.5 การควบคุมคุณภาพ

ในการควบคุมคุณภาพเป็นไปตามมาตรฐานการสุ่มตัวอย่างที่สำนักงานปั๊กมานาด คือ มีการสุ่มตรวจหรือยุบประมาณทุกๆ 5 นาที หรือประมาณทุกๆ 4,000 เหรียญ โดยการสุ่มตรวจนั้นจะสุ่ม หยิบหรือยุบที่ถูกกักอยู่บนรางก่อนปล่อยลงถังเก็บก่อนนำไปทำการนับบรรจุ ในกรณีที่พบเหรียญเสีย จะนำเหรียญในในถังเก็บหน้าเครื่องมาทำการตรวจสอบอีกครั้งด้วยเครื่องตรวจสอบแบบอัตโนมัติ เพื่อสร้างความมั่นใจในกรณีของจำนวนเหรียญที่ได้ต่อแม่พิมพ์ 1 คู่ ทำให้การวิเคราะห์เป็นไปอย่าง ถูกต้องเป็นไปตามมาตรฐานกระบวนการผลิตของสำนักงานปั๊ก



ภาพที่ 4.18 ร่างลำเลียงเหรียญลงถังเก็บ



ภาพที่ 4.19 เครื่องคัดแยกเหรียญแบบอัตโนมัติ

ในการตัดสินใจว่าเหรียญนั้นเสียหรือไม่นั้นจะมีตัวอย่างเหรียญที่ผ่านการตรวจสอบแล้วไว้เป็นตัวอย่างที่บันทึกหน้าเครื่องปั๊มเหรียญ พร้อมกับมีผู้ที่ได้รับมอบหมายหน้าที่ในการตัดสินใจว่าเหรียญนั้นเสียหรือไม่ช่วยในการตัดสินใจอีกรึหนึ่งด้วย

บทที่ 5

สรุปผลการทดลองและข้อเสนอแนะ

การผลิตเหล็กชุบบานาธรุ่นใหม่ซึ่งเริ่มผลิตเมื่อปี พ.ศ. 2551 มีผิวเคลือบ никเกลหนา $25 \mu\text{m}$ เส้นผ่านศูนย์กลาง 20 mm น้ำหนัก 3.0 gr/mm^2 ความแข็ง $110 \text{ HV} (30)$ ความสูงของลวดลาย 0.05 mm โดยใช้ วัสดุทำแม่พิมพ์เหล็ก 2 ชนิด ซึ่งเคลือบผิวด้วยกรรมวิธี PVD มีความหนา $1, 2$ และ $3 \mu\text{m}$ ความเร็วของเครื่องปั๊มเหล็ก $800 - 850 \text{ เหล็ก/นาที}$ สรุปผลได้ดังนี้

5.1 สรุปผล

5.1.1 จากการวิเคราะห์ผลพบว่า การผลิตแม่พิมพ์เหล็ก 1 นาที ($\text{หัว} - \text{ก้อย})$ ควรใช้เหล็ก W360 ควบคุมอุณหภูมิในการอบคืนไฟอยู่ในช่วงอุณหภูมิที่ $530 - 580^\circ\text{C}$ เพื่อให้ได้ความแข็งเฉลี่ยที่ $56 - 57.8 \text{ HRC}$ ความหนาของผิวเคลือบ CrN เฉลี่ยที่ $2 - 3 \mu\text{m}$ จะทำให้จำนวนเหล็กที่ผลิตได้มีปริมาณเป็นที่น่าพอใจ โดยนำแม่พิมพ์เหล็ก 1 นาที ที่มีลวดลายพร้อมใช้งานนำไปทดลองปั๊มด้วยเครื่องปั๊มเหล็กที่มีความเร็ว $800 - 850 \text{ เเหล็ก/นาที}$ จำนวนเหล็กที่ได้ต่อแม่พิมพ์ 1 คู่ โดยประมาณ $300,000 - 400,000 \text{ เเหล็ก/คู่}$ ต่อแม่พิมพ์ 1 คู่ ส่วนเหล็ก KD21 นั้นพบว่าจำนวนเหล็กที่ได้ต่อแม่พิมพ์ 1 คู่ อยู่ที่ประมาณ $40,000 - 50,000 \text{ เเหล็ก/คู่}$ โดยใช้กระบวนการทดลองแบบเดียวกันกับเหล็ก W360 เหมือนกันทุกประการ

5.1.2 ภาพถ่ายจากกล้องอิเลคทรอนแบบส่องสว่างแสดงให้เห็นถึงความเหมาะสมในการเลือกใช้วัสดุที่นำมาเคลือบผิวด้วยวิธีการ PVD จะเห็นได้ว่าวัสดุทั้ง 2 ชนิด คือ KD21 และ W360 มีการยึดเกาะของ CrN ดีกว่า เมื่อนำมาเข้ากระบวนการผลิตเหมือนกับเหล็ก W360 มีผลผลิตที่มากกว่า

5.1.3 จากการวิเคราะห์ทั้งทางสถิติ และทางภาพถ่าย โครงสร้างจุลภาค จะเห็นได้ว่ามีความสอดคล้องเป็นไปในทางเดียวกันกับการทดลองใช้งานจริง

5.1.4 โครงสร้างจุลภาคของเหล็ก W360 กำลังขยาย 500×10^{-6} เท่า จะเห็นโครงสร้างละเอียด (Homogeneous) สม่ำเสมอตลอด มีความแข็งเฉลี่ย (Hardness) สม่ำเสมอตลอดที่ $729 \text{ HV} (0.2)$ ทำให้ PVD ขึ้นตัวได้ดี Substrate Material ยุบตัวเท่ากันหรือสม่ำเสมอ จำนวนเหล็กที่ผลิตได้ ประมาณ $300,000 - 400,000 \text{ เเหล็ก/คู่}$ ต่อแม่พิมพ์ 1 คู่

5.1.5 โครงสร้างจุลภาคของเหล็ก KD21 ที่กำลังขยาย 500×10^{-6} เท่า จะเห็นเนื้อการไนต์เป็นกลุ่มซึ่งมีความแข็ง $1092 - 1166 \text{ HV} (0.2)$ และพื้นโลหะที่ติดกันซึ่งเป็นโครงสร้างมาตรฐานใช้ต่อความแข็ง $837 \text{ HV} (0.2)$ ซึ่งในการวัดความแข็งแบบมาร์โคหาร์ดเนสสวัสดิ์ได้ค่าเฉลี่ย 58.5 HRC แต่เมื่อวิเคราะห์ด้วย

ไมโครอาร์ดเนส เหล็ก KD21 จะมีความแตกต่างกันซึ่งอาจจะเป็นสาเหตุทำให้การยึดเกาะของ PVD ไม่ดีเท่าที่ควร Substrate Material ยุบตัวไม่เท่ากันทำให้อาชญาแม่พิมพ์ด้านหัวและก้อยตัวเหลือเพียง 40,000 เหรียญ ต่อแม่พิมพ์ 1 คู่ (สำหรับงานขึ้นรูปละเอียด Fine Art)

5.2 ข้อเสนอแนะ

5.2.1 ควรมีการศึกษาสารเคลือบชนิดอื่นๆ เช่น ไทเทเนียมไนตรายด์ (TiN) ไทเทเนียมคาร์บอนไนตรายด์ (TiCN)

5.2.2 ควรมีการวิเคราะห์รายละเอียดของ Alloy Carbide ว่าเป็นการ์ไบด์ชนิดใดด้วยเครื่อง Scanning Electron Microscope (SEM) ร่วมกับ Energy Dispersive X-Ray (EDX)

5.2.3 ควรมีการศึกษาระบบวิธีการเคลือบผิวแบบ CVD Process เพิ่มเติม โดยเปลี่ยน Substrate Material เป็น Hot Work Tool Steel

รายการอ้างอิง

- [1] รศ.มนัส สติรัตนดา, โลหะนอกรถลุ่มเหล็ก. พิมพ์ครั้งที่ 2. กรุงเทพฯ: จุฬาลงกรณ์มหาวิทยาลัย, 2538.
- [2] นภัตตร ชาเรลาก, ยอดหลุ่ง หมวดงาน, ชูชาติ นิติปัญญาวงศ์ และนันทน์ ดาวรังกูร, “การซับเคลือบผิววัสดุผสมนิกเกิลอะลูмин่า ด้วยไฟฟ้าเพื่อป้องกันการสึกหรอ,” **Proceedings of the 38th Kasetsart University Annual Conference: Engineering, Agro-Industry, Bangkok (Thailand), 2000.** pp. 315-323.
- [3] Engineering man, กระบวนการเคลือบผิว (Online), 2008. Available:
http://engineeringman.blogspot.com/2008/07/blog-post_16.html (18 August 2012).
- [4] รศ.มนัส สติรัตนดา, วิศวกรรมการอบชูบเหล็ก. กรุงเทพมหานคร: จุฬาลงกรณ์มหาวิทยาลัย, วิศวกรรมสถานแห่งประเทศไทยในพระบรมราชูปถัมภ์, 2537.
- [5] Donald M. Mattox, “Society of Vacuum Coaters, Albuquerque,” In **Handbook of Physical Vapor Deposition (PVD) Processing**, New Mexico, 1998.
- [6] ISO, **ISO 6507-1:2005** (Online), 2010. Available:
http://www.iso.org/iso/iso_catalogue/catalogue_tc/catalogue_detail.htm?csnumber=37746 (18 June 2012).
- [7] นายทัศนัย แสนพลพัฒน์, แนวทางการวัด/ทดสอบความแข็ง (Online), 2011. Available:
http://www.nimt.or.th/nimt/upload/contentfile/sys-lab_magazine-217-449.pdf (20 August 2012).
- [8] Z.G. Zhang a,b,* , O. Rapaud b, N. Allain b, D. Mercs b, M. Baraket b, C. Dong a, C. Coddet b, “Microstructures and tribological properties of CrN/ZrN nanoscalemultilayer coatings,” **Applied Surface Science**, 2009. pp. 4020–4026.
- [9] M. Polok-Rubinięc*, L.A. Dobrzanski, M. Adamiak, “The properties and wear resistance of the CrN PVD coatings,” **Journal of Achievements in Materials and Manufacturing Engineering**, Vol 30, No. 2, 2008; pp.165-171.
- [10] Warmarbeitsstahl hot work tool steel, **Bohler W360 ISO BLOC** (Online), 2007. Available:
http://www.bohlersteel.com/buag_frontend/download/grade/69/1/W360DE.pdf

- [11] กิตติศักดิ์ พโลยพาณิชเจริญ, การวิเคราะห์ความสามารถของกระบวนการ (ประมวลผลด้วย Minitab). พิมพ์ครั้งที่ 5. กรุงเทพฯ: ส.ส.ท ส.น.พ, 2551.
- [12] Fujilloy, การเคลือบผิวแบบ CVD (Online), 1999. Available:
<http://www.fujilloy.co.th/index.php/product/coating/cvd-coatng/> (15 September 2012).
- [13] รศ.ดร.ประไพศรี สุทัศน์ ณ อยุธยา. รศ.ดร.พงษ์ชนัน เทลีอง ไพบูลย์, การออกแบบและวิเคราะห์การทดลอง, พิมพ์ครั้งที่ 1. กรุงเทพฯ: ทีอป, บจก. สนพ., 2552 .
- [14] กรมส่งเสริมอุตสาหกรรม กระทรวงอุตสาหกรรม, การอบชุบเหล็กกล้าด้วยความร้อน.พิมพ์ครั้งที่ 1. กรุงเทพฯ: สถาบันพัฒนาอุตสาหกรรมเครื่องจักรกลและโลหะการ, 2532.
- [15] PHHTTM, KD 21 Cold Work Tool Steel (Online), 1999. Available:
<http://www.phh.com.my/index.php?view=kd21> (22 August 2012).





ภาคผนวก ก
ผลการทดสอบต่างๆ

ตารางที่ ก.1 รายละเอียดคุณลักษณะเฉพาะของเรือขุน嫁ปันหมุนเวียนแบบเก่า

ชนิด ราคา (บาท)	ชนิดโลหะ	เส้นผ่าน ศูนย์กลาง (มิลลิเมตร)	น้ำหนัก (กรัม)	ลักษณะของเรือขุน
0.01		15.00	0.50	
0.05	Al97.5Mg2.5	16.00	0.60	เรือขุน
0.10		17.50	0.80	
0.25	Cu92Ni2Al6	16.00	1.90	ฟันเฟือง จำนวน 104
0.50		18.00	2.40	ฟันเฟือง
1	Cu75Ni25	20.00	3.40	ฟันเฟือง จำนวน 116
2	Ni/Fe	21.75	4.40	ฟันเฟือง
5	Cu75Ni25/Cu99.5	24.00	7.50	ฟันเฟือง จำนวน 130
10	Ring- Cu75Ni25	26.00	8.50	ฟันเฟือง
	Disc- Cu92Ni2Al6			ฟันเฟืองสลับเรือขุน จำนวน 49 ฟันเฟือง ฟันเฟือง จำนวน 78 ฟันเฟือง ฟันเฟืองสลับเรือขุน จำนวน 75 ฟันเฟือง

ตาราง ก.2 ผลการวัดค่าความแข็งแบบมาโครฮาร์ดเนส

อบคืนไฟ ครั้งที่	ชนิดเหล็ก	อุณหภูมิอบคืนไฟ °C / จำนวนครั้ง / ครั้งละ (ชั่วโมง)	ค่าความแข็ง (HRC) ใน แต่ละจุด			ค่าความแข็ง เฉลี่ย (HRC)	ค่าความ แข็งเฉลี่ย รวม (HRC)
			จุดที่ 1	จุดที่ 2	จุดที่ 3		
1	KD21	500 / 2 / 2	58.6	57.8	57.8	58.06	58.03
	KD21	500 / 2 / 2	57.8	58.1	58.2	58.03	
	KD21	500 / 2 / 2	58.0	57.9	58.1	58.00	
2	KD21	530 / 2 / 2	57.8	57.9	57.8	57.83	57.81
	KD21	530 / 2 / 2	57.8	57.8	57.8	57.80	
	KD21	530 / 2 / 2	57.8	57.8	57.8	57.80	
3	KD21	580 / 2 / 2	56.1	55.95	56.01	56.01	56.03
	KD21	580 / 2 / 2	56.0	56.2	55.97	56.06	
	KD21	580 / 2 / 2	56.0	56.0	56.1	56.03	
4	W360	500 / 2 / 2	58.5	58.0	57.9	58.13	58.07
	W360	500 / 2 / 2	58.3	57.9	58.1	58.10	
	W360	500 / 2 / 2	58.2	57.9	57.9	58.0	
5	W360	530 / 2 / 2	57.9	57.8	58.0	57.90	57.85
	W360	530 / 2 / 2	57.8	57.8	58.0	57.86	
	W360	530 / 2 / 2	57.9	57.7	57.8	57.80	
6	W360	580 / 2 / 2	55.9	56.0	55.8	55.90	56.01
	W360	580 / 2 / 2	56.1	56.1	55.9	56.03	
	W360	580 / 2 / 2	56.1	56.1	56.1	56.10	

ตารางที่ ก.3 ผลการวัดความหนาผิวเคลือบ โครเมียม (Cr)

ชิ้นที่ ชนิด เหล็ก	ระดับความหนาที่ 1 (μm) ค่าที่วัดได้ (μm)			ระดับความหนาที่ 2 (μm) ค่าที่วัดได้ (μm)			ระดับความหนาที่ 3 (μm) ค่าที่วัดได้ (μm)			ความหนา เฉลี่ย (μm)	ความหนา เฉลี่ยรวม (μm)
	จุดที่ 1	จุดที่ 2	จุดที่ 3	จุดที่ 1	จุดที่ 2	จุดที่ 3	จุดที่ 1	จุดที่ 2	จุดที่ 3		
1. 0.97%C	1.22	1.15	1.20							1.19	1.17
2. 0.97%C	1.23	1.32	1.05							1.20	
3. 0.97%C	1.14	1.12	1.12							1.13	
4. 0.97%C				2.02	2.05	2.13				2.06	2.17
5. 0.97%C				2.22	2.09	2.18				2.16	
6. 0.97%C				2.32	2.32	2.29				2.31	
7. 0.97%C							2.89	2.90	2.89	2.89	2.92
8. 0.97%C							2.93	2.92	2.92	2.92	
9. 0.97%C							2.98	2.96	2.91	2.95	
10. 0.5%C	1.03	1.02	1.06							1.03	1.07
11. 0.5%C	1.11	1.09	1.06							1.08	
12. 0.5%C	1.10	1.09	1.14							1.11	
13. 0.5%C				2.13	2.15	2.22				2.16	2.19
14. 0.5%C				2.25	2.23	2.21				2.23	
15. 0.5%C				2.10	2.22	2.24				2.18	
16. 0.5%C							2.96	2.93	2.97	2.95	2.95
17. 0.5%C							2.96	2.95	2.89	2.93	
18. 0.5%C							2.95	2.98	2.98	2.97	

ตารางที่ ก.4 ข้อมูลและจำนวนเหรียญที่ได้จากวัสดุแม่พิมพ์ 2 ชนิด

StdOrder	RunOrder	PtType	Blocks	ชนิด เหล็ก	ความ หนา	อุณหภูมิ	ความ แข็ง	qty
1	71	1	1	KD21	1	500	58	50742
2	12	1	1	KD21	1	500	57.8	55192
3	75	1	1	KD21	1	500	56	42213
4	65	1	1	KD21	1	530	58	70119
5	83	1	1	KD21	1	530	57.8	55096
6	73	1	1	KD21	1	530	56	60598
7	39	1	1	KD21	1	580	58	55148
8	80	1	1	KD21	1	580	57.8	45118
9	7	1	1	KD21	1	580	56	42124
10	13	1	1	KD21	2	500	58	44137
11	21	1	1	KD21	2	500	57.8	60102
12	3	1	1	KD21	2	500	56	45127
13	61	1	1	KD21	2	530	58	55046
14	26	1	1	KD21	2	530	57.8	51024
15	62	1	1	KD21	2	530	56	51798
16	103	1	1	KD21	2	580	58	65275
17	91	1	1	KD21	2	580	57.8	65149
18	17	1	1	KD21	2	580	56	45144
19	90	1	1	KD21	3	500	58	60163
20	102	1	1	KD21	3	500	57.8	55122
21	55	1	1	KD21	3	500	56	40341
22	43	1	1	KD21	3	530	58	55184
23	99	1	1	KD21	3	530	57.8	50654
24	95	1	1	KD21	3	530	56	65028
25	87	1	1	KD21	3	580	58	60743
26	78	1	1	KD21	3	580	57.8	55058
27	28	1	1	KD21	3	580	56	63071
28	59	1	1	W360	1	500	58	210168

ตารางที่ ก.4 ข้อมูลและจำนวนเหรียญที่ได้จากวัสดุแม่พิมพ์ 2 ชนิด (ต่อ)

StdOrder	RunOrder	PtType	Blocks	ชนิด เหล็ก	ความ หนา	อุณหภูมิ	ความ แข็ง	qty
29	37	1	1	W360	1	500	57.8	200120
30	100	1	1	W360	1	500	56	213046
31	60	1	1	W360	1	530	58	210066
32	74	1	1	W360	1	530	57.8	123187
33	97	1	1	W360	1	530	56	204122
34	24	1	1	W360	1	580	58	214108
35	70	1	1	W360	1	580	57.8	200057
36	72	1	1	W360	1	580	56	205741
37	52	1	1	W360	2	500	58	200763
38	89	1	1	W360	2	500	57.8	200023
39	8	1	1	W360	2	500	56	123254
40	41	1	1	W360	2	530	58	130172
41	50	1	1	W360	2	530	57.8	421231
42	15	1	1	W360	2	530	56	402387
43	106	1	1	W360	2	580	58	350577
44	49	1	1	W360	2	580	57.8	370317
45	23	1	1	W360	2	580	56	300168
46	66	1	1	W360	3	500	58	282187
47	36	1	1	W360	3	500	57.8	311697
48	68	1	1	W360	3	500	56	295714
49	14	1	1	W360	3	530	58	300143
50	11	1	1	W360	3	530	57.8	270137
51	98	1	1	W360	3	530	56	370125
52	76	1	1	W360	3	580	58	360312
53	4	1	1	W360	3	580	57.8	345341
54	86	1	1	W360	3	580	56	351026
55	82	1	1	KD21	1	500	58	55197
56	29	1	1	KD21	1	500	57.8	57012

ตารางที่ ก.4 ข้อมูลและจำนวนเหรียญที่ได้จากการสคูแม่พิมพ์ 2 ชนิด (ต่อ)

StdOrder	RunOrder	PtType	Blocks	ชนิด เหล็ก	ความ หนา	อุณหภูมิ	ความ แข็ง	qty
57	54	1	1	KD21	1	500	56	45790
58	81	1	1	KD21	1	530	58	76543
59	46	1	1	KD21	1	530	57.8	56538
60	67	1	1	KD21	1	530	56	67845
61	77	1	1	KD21	1	580	58	76549
62	2	1	1	KD21	1	580	57.8	56732
63	57	1	1	KD21	1	580	56	45632
64	16	1	1	KD21	2	500	58	56743
65	96	1	1	KD21	2	500	57.8	62134
66	64	1	1	KD21	2	500	56	43215
67	85	1	1	KD21	2	530	58	59874
68	94	1	1	KD21	2	530	57.8	45672
69	101	1	1	KD21	2	530	56	46732
70	42	1	1	KD21	2	580	58	53211
71	58	1	1	KD21	2	580	57.8	45327
72	32	1	1	KD21	2	580	56	45632
73	104	1	1	KD21	3	500	58	63217
74	25	1	1	KD21	3	500	57.8	54321
75	18	1	1	KD21	3	500	56	46328
76	45	1	1	KD21	3	530	58	53786
77	10	1	1	KD21	3	530	57.8	55473
78	105	1	1	KD21	3	530	56	67432
79	47	1	1	KD21	3	580	58	54375
80	84	1	1	KD21	3	580	57.8	554321
81	56	1	1	KD21	3	580	56	68543
82	6	1	1	W360	1	500	58	223416
83	9	1	1	W360	1	500	57.8	234678
84	30	1	1	W360	1	500	56	243158

ตารางที่ ก.4 ข้อมูลและจำนวนเหรียญที่ได้จากการสคูแม่พิมพ์ 2 ชนิด (ต่อ)

StdOrder	RunOrder	PtType	Blocks	ชนิด เหล็ก	ความ หนา	อุณหภูมิ	ความ แข็ง	qty
85	107	1	1	W360	1	530	58	237654
86	69	1	1	W360	1	530	57.8	134256
87	88	1	1	W360	1	530	56	221367
88	1	1	1	W360	1	580	58	209874
89	34	1	1	W360	1	580	57.8	234176
90	51	1	1	W360	1	580	56	206742
91	33	1	1	W360	2	500	58	212564
92	20	1	1	W360	2	500	57.8	241563
93	5	1	1	W360	2	500	56	132044
94	48	1	1	W360	2	530	58	129876
95	63	1	1	W360	2	530	57.8	399874
96	38	1	1	W360	2	530	56	396543
97	44	1	1	W360	2	580	58	358765
98	31	1	1	W360	2	580	57.8	378654
99	93	1	1	W360	2	580	56	300564
100	79	1	1	W360	3	500	58	200675
101	40	1	1	W360	3	500	57.8	309543
102	108	1	1	W360	3	500	56	209654
103	27	1	1	W360	3	530	58	300343
104	35	1	1	W360	3	530	57.8	270435
105	22	1	1	W360	3	530	56	370654
106	53	1	1	W360	3	580	58	360786
107	92	1	1	W360	3	580	57.8	354328
108	19	1	1	W360	3	580	56	340987

Source	F	P
ชนิดเหล็ก	439.03	0.000
ความหนา	15.74	0.000
อัลกูริตี้	10.58	0.000
ความเนื้อง	2.64	0.081
ชนิดเหล็ก*ความหนา	7.17	0.002
ชนิดเหล็ก*อัลกูริตี้	2.38	0.102
ชนิดเหล็ก*ความเนื้อง	0.85	0.434
ความหนา*อัลกูริตี้	3.85	0.000
ความหนา*ความเนื้อง	2.01	0.107
อัลกูริตี้*ความเนื้อง	3.03	0.025
ชนิดเหล็ก*ความหนา*อัลกูริตี้	3.78	0.009
ชนิดเหล็ก*ความหนา*ความเนื้อง	2.90	0.030
ชนิดเหล็ก*อัลกูริตี้*ความเนื้อง	2.46	0.056
ความหนา*อัลกูริตี้*ความเนื้อง	2.59	0.018
ชนิดเหล็ก*ความหนา*อัลกูริตี้*ความเนื้อง	2.76	0.012
Error		
Total		

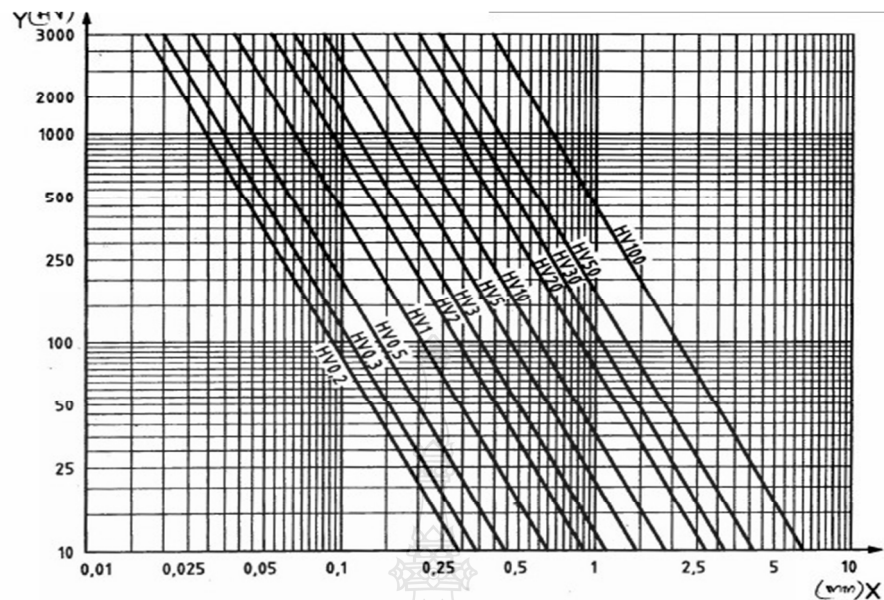
$$S = 50179.5 \quad R-Sq = 92.14\% \quad R-Sq(adj) = 84.42\%$$

ภาพที่ ก.1 ค่า P-value พิจารณา Term ที่มีค่า P-Value น้อยกว่า 0.05

Hardness test ^a		Low -force hardness test		Microhardness test	
Hardness symbol	Nominal value of the test force F N	Hardness symbol	Nominal value of the test force F N	Hardness symbol	Nominal value of the test force F N
HV 5	49,03	HV 0,2	1,961	HV 0,01	0,098 07
HV 10	98,07	HV 0,3	2,942	HV 0,015	0,147
HV 20	196,1	HV 0,5	4,903	HV 0,02	0,196 1
HV 30	294,2	HV 1	9,807	HV 0,025	0,245 2
HV 50	490,3	HV 2	19,61	HV 0,05	0,490 3
HV 100	980,7	HV 3	29,42	HV 0,1	0,980 7

^a Nominal test forces greater than 980,7 N may be applied.

ภาพที่ ก.2 Scale ของวิกเกอร์ส



ภาพที่ ก.3 Minimum thickness of the test piece in relation to the test force and to the hardness (HV 0.2 to HV 100)



ภาพที่ ก.4 จุดเสียของเหรียญ 1 บาท (ໄສ້ເහັດເຄລືອບນິກເກີດ)



(ก) ด้านหน้า

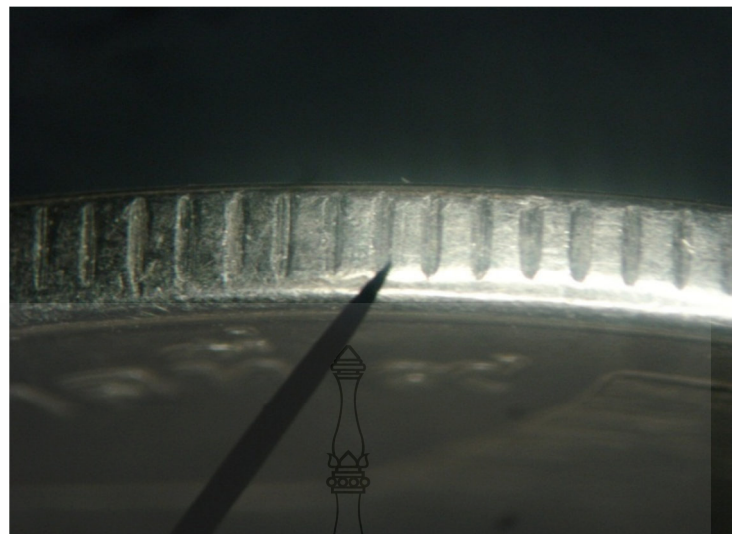


(ง) ด้านหลัง

ภาพที่ ก.5 เหรียญ 1 บาท ดี (ไส้เหล็กเคลือบนิกเกิล)



ภาพที่ ก.5 แม่พิมพ์ฟันเฟืองเหรียญ 1 บาท (ไส้เหล็กเคลือบนิกเกิล)



ภาพที่ ก.6 พื้นพีองหรียญ 1 บาท (ໄສ້ແລ້ກເຄລືອນນິກເກີລ)



ภาพที่ ก.7 การศึกษาดูงาน ณ สำนักกษาปณ





**รายงานผู้ทรงคุณวุฒิในการพิจารณาบทความ
การประชุมข่ายงานวิศวกรรมอุตสาหกรรม ประจำปี 2554**

จุฬาลงกรณ์มหาวิทยาลัย

รศ.ดร.จิตรา รุกีจการพาณิช
ผศ.ดร.นัฐชา ทวีแสงสกุลไทย
ผศ.ดร.ประมวล สุธิจารุวัฒน

รศ.ดร.ปารเมศ ชุติมา
ผศ.ดร.ดาริชา สุชีวงศ์
ผศ.ดร.สมชาย พัวจินดาเนตร

มหาวิทยาลัยเกษตรศาสตร์

ดร.ปฏิภาณ จุ้ยเจิม
ดร.สุدارัตน์ วงศ์กีรเกียรติ

ดร.ปุณณ米 สัจจกมล
ดร.สุวิชภรณ์ วิชกุล

มหาวิทยาลัยเกษตรศาสตร์ วิทยาเขตศรีราชา

ดร.ชัยวัฒน์ นุ่มทอง
ดร.ศิริรัตน์ หมื่นวนิชกุล
อ.จันจิรา คงชื่นใจ

ดร.เพ็ญสุดา พันฤทธิ์คำ
ดร.สิรังค์ กลั่นคำสอน

มหาวิทยาลัยเกษตรศาสตร์

ผศ.ชานนท์ มูลวรรณ
อ.ประภาพรรณ เกษราพงษ์

ดร.ศักดิ์ชัย รักการ
อ.จักรินทร์ กลั่นเงิน

มหาวิทยาลัยขอนแก่น

รศ.ดร.พรเทพ ขอจายเกียรติ
ผศ.ดร.ชาญณรงค์ สายแก้ว
ผศ.ดร.วีระพัฒน์ เศรษฐ์สมบูรณ์
ดร.ปาพจน์ เจริญอภิปัล

รศ.ดร.ศุภชัย ปทุมนาภุล
ผศ.ดร.ดนัยพงศ์ เชษฐ์โชติศักดิ์
ดร.ธนา รายภูรภักดี

มหาวิทยาลัยเชียงใหม่

รศ.ดร.วิชัย ฉัตรทินวัฒน์
ผศ.ดร.คมฤต เล็กสกุล
ผศ.ดร.สรรสุติชัย ชีวสุทธิศิลป์
ผศ.ดร.อรรถพล สมุทคุปต์
ดร.ซมพูนุท เกษมเศรษฐ์
ดร.อนิรุทธิ์ ไชยาธุรานิช

รศ.ดร.วิมลิน เหล่าศิริถาวร
ผศ.ดร.วัฒนันย วรรธนัจนะวิยา
ผศ.ดร.อภิชาต โสภะแดง
ดร.กรกฎ ไยบัวเทศ ทิพยวงศ์
ดร.วสันต์ นาคเขียว

มหาวิทยาลัยเทคโนโลยีพระจอมเกล้าธนบุรี

รศ.คณสัน จิระถั่ทรศิลป
รศ.ดร.สิทธิชัย แก้วเกื้อภูล
ผศ.ดร. เจริญชัย โขมพัตรภรณ์
ผศ.พจมาน เตียววัฒนรัตน์กิจ
ดร.วิศิษฐ์ศรี วิยะรัตน์
อ.ปรacha เพียสุระ

รศ.ดร.บวรโชค ผู้พัฒนา
รศ.สันติรัฐ นับสะօง
ผศ.ดร.เตือนใจ สมบูรณ์วิวัฒน์
ดร.ช่อแก้ว จตุราณท์
ดร.อิศรทัต พึงอัน

มหาวิทยาลัยเทคโนโลยีพระจอมเกล้าพระนครเหนือ

รศ.วันชัย แหลมหลักสกุล

ดร.กนกพร ศรีปฐมสวัสดิ์

สถาบันเทคโนโลยีพระจอมเกล้า เจ้าคุณทหารลาดกระบัง

รศ.ดร.กรรณชัย กัลยาศิริ
ผศ.ดร. สกนธ คล่องบุญจิต
ดร. อุดม จันทร์รัสรสุข
ดร.ชุมพล ย่างไyi

รศ.ดร. ฤดี มาสุจันท์
ผศ.ดร.สิทธิพร พิมพ์สกุล
ดร.พิชญ์วีดี กิตติปัญญางาม

มหาวิทยาลัยเทคโนโลยีราชมงคลกรุงเทพ

ผศ.พิชัย จันทร์มณี

ผศ.วิชาญ ช่วยพันธ์

มหาวิทยาลัยเทคโนโลยีราชมงคลรัตนโกสินทร์ วิทยาเขตวังไกกลังกาล

ผศ.ณัฐศักดิ์ พรพุฒิศิริ

มหาวิทยาลัยเทคโนโลยีราชมงคลล้านนา

ดร.นเรศ อินตีช่องค์
ดร.ภาณุภumi จาธุภumi

ดร.บรรเจิด แสงจันทร์
ผศ.มนวิกา อาวิพันธุ์

มหาวิทยาลัยเทคโนโลยีราชมงคลศรีวิชัย

ดร.สุชาติ เย็นวิเศษ
ดร.สุรัสิทธิ์ ระวังวงศ์

ผศ.เดช เหมือนขาว

มหาวิทยาลัยเทคโนโลยีสุรนารี

ดร.คร.พรศิริ จงกล
ดร.ปภากร สุนานนท์
อ.นรา สมัคสภาพวงศ์

ดร.พงษ์ชัย จิตตะมัย
ดร.ปีร์ ศิริรักษ์

มหาวิทยาลัยธรรมศาสตร์

รศ.ดร.จิรรัตน์ ธีรวราพรฤกษ์
ผศ.ดร.อุณิชช์ วงศ์ทัศนีย์กร
ผศ.ดร.สรัสต์ ภาระราช

รศ.ดร.จิรศิริรพงศ์ เจริญภัณฑารักษ์
ผศ.ดร.วรารัตน์ กังสัมฤทธิ์
ผศ.ดร.เสมอจิต หอมรสสุคนธ์

มหาวิทยาลัยนเรศวร

ผศ.ดร.ภูพงษ์ พงษ์เจริญ^{*}
ดร.ขวัญนิช คำเมือง
ดร.ภาณุ บูรณจารุกร
อ.ศรีสัจจา วิทยศักดิ์

ผศ.ศิรญา สิมารักษ์
ดร.สมลักษณ์ วรรณาณุล
อ.ธนิกานต์ รงชัย

มหาวิทยาลัยปทุมธานี

ดร. ภาสพิรุฬห์ ศรีสำเริง

ผศ.ดร.สุดสาคร อินธิเดช
ดร.อรอนุมา ลาสุนนท์

มหาวิทยาลัยมหาสารคาม

ผศ.ดร.เกียรติศักดิ์ ศรีประทีป
ผศ.ดร.บพิตร บุปผโชค
ดร.นิตา ชัยมูล

ผศ.ดร.วเรศรา วีระวัฒน์
ผศ.ศุภชัย นาทะพันธ์

มหาวิทยาลัยมหิดล

รศ.ดร.ดวงพรรณ ศรุตgcarinทร์
ดร.จิพรรณ เลี่ยงโรคาดพาร

ผศ.ดร.เพียงจันทร์ จริงจิต
ดร.พิษณุ มนัสบิติ
อ.ต่อศักดิ์ อุทัยไขฟ้า
อ.สายสุนีย์ พงษ์พัฒนศึกษา

มหาวิทยาลัยรังสิต

ผศ.ดร.ธนวรรณ อัศวไฟบูลย์
ผศ.สินี สุขกรมใส^{*}
อ.ศิลปชัย วัฒนเสย
อ.พรศรีพงษ์ แก่นณรงค์

ดร.เลิศเหลา ธนาชัยขันธ์
อ.นันทวรรณ อําเอียม

มหาวิทยาลัยรามคำแหง

ผศ.ดร. กฤษดา พิศลัยบุตร
อ.นุกูล อุบลบาณ

ผศ.ดร.เทศพล เกียรติเจริญผล
ดร.ณัฐพงษ์ คงประเสริฐ
ดร.พงษ์เพ็ญ จันทนະ

มหาวิทยาลัยศรีนครินทรวิโรฒ

รศ.ธนรัตน์ แต้วัฒนา^{*}
ผศ.ดร.นิลวรรณ ชุ่มฤทธิ์
ดร.สิริเดช ชาตินิยม

มหาวิทยาลัยศรีปทุม

ผศ.พัฒนพงศ์ อริยสิทธิ์
อ.จักรพันธ์ ก้อนหา
อ.ธนิน ศรีวะรุ่มย์
อ.วรพจน์ พันธ์คง

ดร.ธริณี มนีศรี
อ.ชาลิต มนีศรี
อ.พิสุทธิ์ รัตนแสนวงศ์
อ.สุพัฒตรา เกษราพงศ์

มหาวิทยาลัยศิลปากร

ผศ.ดร.ประจวบ กล่อมจิตตร
ผศ.ปฏิพัทธ์ ทรงชัยสุวรรณ
ผศ.สุขุม โภมาตชัยมงคล
ดร.กัญญา ทองสนิท
ดร.สิทธิชัย แซ่แหลม

ผศ.จันทร์เพ็ญ อนุรัตนานนท์
ผศ.วันชัย ลีลาภิวงค์
ผศ.สุวัฒน์ เผนรโต
ดร.ณัฐพล ศิริสว่าง

มหาวิทยาลัยสงขลานครินทร์

ผศ.ดร.นิกร ศิริวงศ์ไพศาล
ผศ.สมชาย ชูโฉม
ผศ.ดร.เจษฎา วรรณาสินธุ
ผศ.ดร.นภิสพร มีมงคล
ผศ.ดร.รัญชนา สินธนาลัย
ผศ.ดร.เสกสรร สุธรรมานนท์
ผศ.เจริญ เจตวิจิตร
ผศ.ยอดดาว พันธ์นรา

รศ.วนิดา รัตนมณี
ผศ.ดร.กลางเดือน โพชนา
ผศ.ดร.ธเนศ รัตนวีไล
ผศ.ดร.ประภาส เมืองจันทรบุรี
ผศ.ดร.สุภาพรรณ ไชยประพัท
ผศ.ดร.อุ่น สังขพงศ์
ผศ.พิเชฐ ตระการชัยศิริ
ผศ.สกุล ตั้งโพธิธรรม

มหาวิทยาลัยอีสเทิร์นเอเชีย

อ.จิตคลา ชี้มเจริญ
อ.วรลักษณ์ เสนียรังสฤษฎี
อ.อรุณ่า กอสนาน

อ.นิศากร สมสุข
อ.อัญชลี สุพิทักษ์

มหาวิทยาลัยอุบลราชธานี

ผศ.ดร.คณิศร ภูนิคุม
ผศ.ดร.นุชสรา เกรียงกรกู
ผศ.ดร.ระพีพันธ์ ปิตาคะโน
ผศ.ดร.สุขอังคณา ลี
ดร.จริยาภรณ์ อุ่นวงศ์

ผศ.ดร.นลิน เพียรทอง
ผศ.ดร.ปรีชา เกรียงกรกู
ผศ.ดร.สมบัติ สินธุเชawan
ดร.ราธชuda พันธ์นิกุล
ดร.สัณณ์ โอพาพิริยะกุล

สถาบันเทคโนโลยีไทย-ญี่ปุ่น

ดร.กรกฎ เหมสถาปัตย

ดร.ดำรงเกียรติ รัตนอมรพิน

สถาบันเทคโนโลยีปทุมวัน

ผศ.ชัยพุกาน์ อาจารย์
อ.เจษฎา วงศ์อ่อน

ผศ.ประยูร สุรินทร์

มหาวิทยาลัยเทคโนโลยีราชมงคลรัตนบุรี

รศ.ดร.ชัยยุทธ ช่างสาร
ผศ.ดร.กิตติพงษ์ กิมพงศ์
ผศ.ดร.ณัฐา คุปต์ษะธีร
ผศ.ดร.ศิวกร อ่างทอง
ผศ.ดร.สมหมาย ผิวสะอาด
ดร.กุลชาติ จุลเพ็ญ
ดร.ณรงค์ชัย โวเจริญ
ดร.สรพงษ์ ภาสบุรี
ผศ.สุรัตน์ ตรัยวนพงศ์

รศ.มานพ ตันตะระบันพิทักษ์
ผศ.ดร.จตุรงค์ ลังกาพินธุ์
ผศ.ดร.วารุณี อริยวิริยะนันท์
ผศ.ดร.ศิริชัย ต่อสกุล
ผศ.ชวลิต แสงสวัสดิ์
ดร.ชัยยะ ปราณีตพลกรัง
ดร.ระพี กาญจนะ^๑
ดร.สุมนมาลย์ เนียมหلا้ง



สารบัญ (ต่อ)

OIE22 การประยุกต์ใช้แบบจำลองทางคอมพิวเตอร์เพื่อเพิ่มประสิทธิภาพกระบวนการบรรจุผลิตภัณฑ์	321
ธนาคาร เบ้าห้อง เพิ่มศักดิ์ พิมพ์จ่อง ภากร พิทยาوال ปวีร์ ศิริรักษ์	
OIE23 การศึกษาหลักการและเกณฑ์ในการปันส่วนต้นทุนค่าไฟฟ้าแยกตามประเภทของผู้ใช้ไฟฟ้า	322
อรุณฤทธิ์ ตระการไฟบูลย์ สุทัศน์ รัตนเกื้อกงวน	
OIE25 การประเมินต้นทุนการผลิตผลิตภัณฑ์พลาสติกกรณีโรงงานผลิตชิ้นส่วนภายในประเทศ	323
พันธ์นิดา เรืองฤทธิ์ และ สมชาย พ่วงจินดาเนตร	
OIE27 ผลการเปรียบเทียบกำลังไฟฟ้าจากการควบคุมการจ่ายพลังงานให้ด้วยความร้อนสำหรับตู้อบไฟฟ้าที่ใช้ในงานอุตสาหกรรม	324
วิชัย แซลี่ ประภาพรรณ เคลือบวัฒนรัตน์	
OIE28 การปรับปรุงประสิทธิภาพและความต้องการในการรับบริจาคโลหิต โดยใช้การจำลองสถานการณ์	325
นรา สมัตถภพวงศ์ ธนาภิ คงเพชร ภูวนາท รัตนยธรรม	
OIE29 การปรับปรุงกระบวนการผลิตด้วยการประยุกต์ใช้เทคนิควิศวกรรมอุตสาหกรรมและการจำลองสถานการณ์ด้วยคอมพิวเตอร์ กรณีศึกษา: สายการผลิตชิ้นส่วนอาร์ดดิสก์ไดร์ฟ	325
ภานุวัฒน์ ศรีชัย ระพี กานุจนะ	
OIE30 การคัดเลือกบรรจุภัณฑ์โดยใช้ผังแมทริกซ์รูปตัวเอ็กซ์และกระบวนการจำดับชั้นเชิงวิเคราะห์ กรณีศึกษา: ผลิตภัณฑ์แคมหมู พดทนพงษ์ แสงบุตรดี ระพี กานุจนะ	327
OIE32 การเพิ่มผลผลิตสำหรับสายการผลิตชิบเคลือบชิ้นส่วนอาร์ดดิสก์ไดร์ฟ กิตติพงษ์ แสงบุตรดี ระพี กานุจนะ	328
OIE33 การเพิ่มอายุการใช้งานของดวงตราเรียบยกษาปั้นหมุนเวียนชนิดราคา 1 บาท ใหม่ ภรรภัย สงวนพันธ์ สมศักดิ์ อิทธิสกุล	329

การประชุมวิชาการข่ายงานวิชาการมุตสากาฯ ประจำปี 2554
20-21 ตุลาคม 2554



การเพิ่มอายุการใช้งานของดวงตราเหรียญกษาปณ์หมุนเวียนชนิดราค้า 1 บาท ใหม่

Increasing Die's Life of New One Baht Circulation Coins

วรวิทย์ สงวนพันธ์ และ สมศักดิ์ อิทธิสกุลกุล

ภาควิชาวิศวกรรมอุตสาหการ คณะวิศวกรรมศาสตร์ มหาวิทยาลัยเทคโนโลยีราชมงคลธัญบุรี

39 หมู่ 1 ถนน รังสิต – นครนายก ตำบล คลองหอก อำเภอ รัชบุรี จังหวัด ปทุมธานี รหัสไปรษณีย์ 12110

E-mail: goldpurepure@hotmail.com

บทคัดย่อ

งานวิจัยนี้มีจุดประสงค์เพื่อศึกษาการใช้งานของดวงตรา (Die) ด้านหน้าและก้อย) เหรียญ 1 บาท สำเร็จปัจุบันใหม่ โดยวิธีการเคลือบวัสดุแบบ PVD (Physical Vapour Deposition) ชนิดสารเดี่ยวบนโครงเยื่อเงินโดยรวม (CrN) เพื่อจากได้มีการเปลี่ยนลักษณะที่ใช้ในการผลิตให้เป็นเยื่อเงินใหม่ไว้สัมผัสนั้น จำนวน เหรียญ 1 บาท ต่อดวงตรา 1 ถูกลดลงจากประมาณ 400,000 เหรียญ เหลือเพียงประมาณ 40,000 – 50,000 เหรียญ ต่อ ดวงตรา 1 ถูก โดยสัมผัติที่ใช้ในการผลิตดวงตรา เป็นวัสดุชนิดเดียวกัน คือ เหล็ก X

ในการดำเนินงานวิจัยได้ใช้วัสดุในการทดสอบผลิตดวงตรา จำนวน 2 ชนิด คือ เหล็ก X [11] และ เหล็ก Y [12] โดยใช้วิธีการเคลือบวัสดุแบบ PVD ชนิดสารเดี่ยวบน CrN ที่ความหนา 3 ระดับ คือประมาณ 1,2 และ 3 ไมครอน(μm) ในกระบวนการนี้จะมีการทดสอบความหนาของวัสดุโดยใช้วิธีการทดสอบด้วยเครื่อง X-Ray Fluorescence ซึ่ง Fischer รุ่น XAN มีการใช้ชั้น metamylonite ในการทดสอบรูร่วนในการทดสอบเทียบ ก่อนการทดสอบทั้งหมด ได้ทำการฝาริบิวต์ชั้นหนา ก่อนการใช้งานถ่ายร่องตัวแบบ Wire Cut เพื่อศึกษาการเกะบีดของวัสดุโดย CrN โดยการถ่ายภาพด้วยกล้องจุลทรรศน์อิเล็กทรอน แบบส่องภาพ (Scanning Electron Microscope; SEM)

จากการทดสอบน้ำดวงตรา ให้ใช้ใน การผลิต เหรียญ 1 บาท รุ่นใหม่ ด้วยเครื่องพิมพ์ (Press) เหรียญ บีตต์ GRABERNER แรงกด ที่ใช้ 40 ตัน ความเร็ว 800 – 850 เหรียญต่อหน่วย ประมาณ 1 นาที ที่ความหนาพิเศษโดยประมาณ 2-2.7 ไมครอน ได้จำนวน เหรียญ ต่อดวงตรา 1 ถูก 400,000 - 450,000 ต่อดวงตรา 1 ถูก ซึ่งมากกว่าสูง จากขั้นตอนทดสอบทั้งหมด ให่าวันนี้ของ เหล็ก X พยายการแตกร้าว บริเวณพื้นหน้าของดวงตราหลังจากตีตราเรียบร้อยได้ประมาณ 50,000 – 60,000 เหรียญ ในทุกๆ ความหนาของพิเศษ หลังจาก การทดสอบได้ทำการผลิตดวงตราด้วย เหล็ก Y ที่ความหนาเดียว เคลือบประมาณ 2-2.7 ไมครอน เพื่อใช้ในการผลิตจริง ประมาณ 400,000 - 430,000 เหรียญ ต่อดวงตรา 1 ถูก ในขั้นตอนการทดสอบทั้งหมด 6 ถูก

1. บทนำ

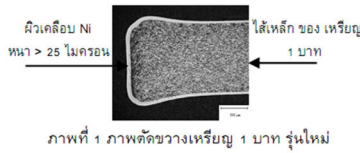
เหรียญกษาปณ์หมุนเวียนชุดบัจจุบันมี 9 ชนิดราค้า คือ ชนิดราค้า 1, 5, 10, 25 และ 50 สตางค์ 1, 2, 5 และ 10 บาท ใน

การกำหนดรายละเอียดคุณลักษณะเฉพาะของเหรียญกษาปณ์แต่ละชนิดราค้าต้องคำนึงถึงคุณสมบัติของโลหะ ต้นทุนการผลิต แหล่งเรี่ยงภายในประเทศ จำนวนผู้ผลิตและแหล่งผลิต การใช้กับเครื่อง械หอยเงินบางชนิดราค้า ผลกระทบต่อสุขภาพและสิ่งแวดล้อม รวมทั้งความสะดวกในการจับจ่ายใช้สอย

โลหะชุบเคลือบไส้เหล็ก (Electroplated Steel) นำมาใช้ได้โดยพบได้ไม่ยากถึงโลหะชุบเคลือบประเภทอื่น เนื่องจากเป็นโลหะที่มีคุณสมบัติและดันทุนเหมาะสมที่จะใช้ผลิตเป็นเหรียญกษาปณ์ของประเทศไทยในขณะนี้ โดยเหรียญชุบเคลือบโลหะเหล็กชนิดใดใช้ไส้เหล็ก ได้รีบผลิตและนำออกใช้เป็นเหรียญกษาปณ์ตั้งแต่ปี ก.ศ. 1977 ซึ่งในระยะแรกไม่ได้รับความนิยม เนื่องจากวัสดุที่ใช้มาไม่คุ้มค่าความเสี่ยงต่อแม่ข่ายซึ่งสำคัญมาก 1 บาท ใหม่มีค่าความเสี่ยง 110 HV30 [13] ทำให้อายุการใช้งานของดวงตราส่วนหนึ่งสั้น ในขณะที่ค่าความเสี่ยง เหรียญ 1 บาท รุ่นเก่า วัสดุคือiron-nickel มีค่าความเสี่ยง 80 HV10 [13] แต่ในปัจจุบัน เหรียญชุบเคลือบโลหะเหล็กชนิดโดยใช้ไส้เหล็กได้รับความนิยมเพิ่มมากขึ้น เนื่องจากเทคโนโลยีการชุบเคลือบผิววงจรแบบ PVD สามารถเพิ่มอายุการใช้งานของดวงตราให้สูงขึ้น และเหรียญชุบเคลือบไส้เหล็กสามารถแก้ไขปัญหาด้านทุกการผลิตได้ย่างมีประสิทธิภาพ อีกทั้งคุณสมบัติของโลหะที่ได้ก่อให้เกิดเรื่องกบไลหะที่นานาไปใช้เคลือบผิวเหล็ก

ไส้เหล็กชุบชนิดนี้ พัฒนามาใช้แทนโลหะตีเข้า (คิวโปรดิค) โลหะชนิดนี้มีข้อดีเป็นระบบใหญ่ของความงาม และความทันสมัยของการทำปฏิรูปเชิงพาณิชย์ในบรรษัทภาคปกติ (มองคล้า) ซึ่งเป็นคุณสมบัติที่ดีของโลหะชนิดนี้โดยไส้เหล็กที่มีอยู่ชั้นนอก อย่างไรก็ตาม เทคโนโลยีการผลิตเหรียญประเภทนี้หลายประเภททั้งแบบเคลือบชั้นเดียว สองชั้น และสามชั้น ซึ่งการใช้เทคโนโลยีที่ดีที่สุดที่ทำให้คุณสมบัติของเหรียญนี้ได้ดีมากขึ้น เช่น อายุการใช้งาน ค่าสูญเสียทางไฟฟ้าและแม่เหล็ก ความทนทานต่อการกีดขวางและการยอมรับของประชาชนเนื่องจากความสวยงามของเหรียญเป็นแบบปั๊มน้ำไปเนื่องจากจากการสักหรือขูดของเหรียญจากการใช้งานตามปกติ เป็นต้น

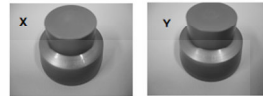
การประชุมวิชาการข่ายงานวิภากรมูลค่าทางการ ประจำปี 2554
20-21 ตุลาคม 2554



ภาพที่ 1 ภาพตัดขวางเหลี่ยม 1 มม. รุ่นใหม่

(2) 530°C 2 ชั่วโมง รอบแรก รอบที่สอง 550°C 2 ชั่วโมง
(ตามมาตรฐานผู้ผลิต) [12]

(3) 580°C สองครั้งๆ ละ 2 ชั่วโมง [2] [12]



ภาพที่ 2 ชิ้นทดสอบ เหล็ก X และ Y

- ทดสอบความแข็งมาโครอาร์ดเนต หน่วยการวัดแบบ HRC
ชนิดหัวกดแบบเพชอน้ำหนักที่ใช้ในการกด 1471 N ได้ค่าความแข็งดังแสดงในตารางที่ 1

ตารางที่ 1 แสดงถึงค่าความแข็งหลังจากอบคืนไฟฟองวัสดุแม่พิมพ์
(Substrate Material)

ชนิดเหล็ก	อุณหภูมิอบคืนไฟ°C / จำนวนครั้ง / ครั้งละ (ชั่วโมง)	จำนวน ชุดที่ตัก	ค่าความแข็งเฉลี่ย (HRC)
X	500 / 2 / 2	3	58
X	530 / 2 / 2	3	57.8
X	580 / 2 / 2	3	56
Y	500 / 2 / 2	3	58
Y	530 / 2 / 2	3	57.8
Y	580 / 2 / 2	3	56

- นำชิ้นทดสอบเข้าสู่กระบวนการเคลือบผิวด้วยวิธีการ PVD
ชนิดสารเคลือบ CrN รายละเอียดดังนี้

(1) เครื่องเคลือบผิวจัลวิธีการ PVD ภาพที่ 3



ภาพที่ 3 เครื่อง PVD

(2) คาดไออกนิด Cr ภาพที่ 4



ภาพที่ 4 คาดไออกนิด Cr

2. การดำเนินการวิจัย

2.1 จัดเตรียมวัสดุอุปกรณ์

เหล็กที่ใช้ในการทดลองเป็นเหล็กชนิดที่เหมาะสมกับงานแม่พิมพ์งานเย็บ จำนวน 2 ชนิด นำมาผลิตเป็นคงตราเหลี่ยม 1 มม. ดังนี้

- เหล็ก X ส่วนผสมทางเคมี C 0.97% , Si 1% , Mn 0.34 % , P 0.19 % , S 0.08 % , Cr 7.88 % , Mo 1.90 % , V 0.41%
- เหล็ก Y ส่วนผสมทางเคมี C 0.50 % , Si 0.20 % , Mn 0.25 % , Cr 4.50 % , Mo 3.0 % , V 0.55 %
- เตาอบชุบโลหะแบบสูญญากาศที่ SCHMETZ
- เครื่องเคลือบผิว PVD ยี่ห้อ Sulzer รุ่น Metaplas Ionon
- เครื่องทดสอบความแข็งโดยวิธีการไฮดรอลิก
- เครื่องวัดความหนาผิวเคลื่อนโดยวิธีการเอกซเรย์พลอยอเรสเซ็นซ์ ยี่ห้อ Fischer รุ่น XAN
- เครื่องตัดแบบ Wire Cut ยี่ห้อ CHARMILLES

2.2 ดำเนินการทดลอง

- นำเหล็กชิ้นทดสอบ ที่ผ่านกระบวนการผลิตเข้มงวดจากการอบชุบด้วยชุบแบบสูญญากาศดังนี้

- เหล็ก X จำนวน 9 ชิ้น อุณหภูมิชุบแข็งที่ $1,040^{\circ}\text{C}$ เวลาอบแซ 30 นาที ชุบແっきนหน้าตัน อบคืนไฟ(Tempering) ที่ 3 ระดับอุณหภูมิ จำนวน 3 ชิ้น ต่อ อุณหภูมิ

(1) 500°C สองครั้งๆ ละ 2 ชั่วโมง

(2) 530°C สองครั้งๆ ละ 2 ชั่วโมง (ตามมาตรฐานผู้ผลิต)

[11]

(3) 580°C สองครั้งๆ ละ 2 ชั่วโมง [2] [11]

- เหล็ก Y จำนวน 9 ชิ้น อุณหภูมิชุบแข็ง 1050°C เวลาอบแซ 30 นาที ชุบແっきนด้วยก้าช์โน่โลเรน อบคืนไฟ(Tempering) ที่ 3 ระดับ ที่ 3 อุณหภูมิ จำนวน 3 ชิ้น ต่อ อุณหภูมิ

(1) 500°C สองครั้งๆ ละ 2 ชั่วโมง

(2) 530°C สองครั้งๆ ละ 2 ชั่วโมง (ตามมาตรฐานผู้ผลิต)

(3) 580°C สองครั้งๆ ละ 2 ชั่วโมง [2] [11]



(3) ค่าพารามิเตอร์ต่างๆ ที่ใช้ในการเคลือบผิวรายละเอียด ดังนี้ ภาพที่ 5

- เวลาที่ใช้ในกระบวนการเคลือบผิวประมาณ 5 – 6 ชั่วโมง

- อุณหภูมิที่ใช้เคลือบผิวประมาณ 400-450 °C
- ปริมาณของก๊าซที่ใช้ อาร์กอน 300 ลบ.ช.m. ต่อ นาที ในโตรเจน 500 ลบ.ช.m. ต่อ นาที
- บรรจุชิ้นงานใส่แท่นวางชิ้นงาน ภาพที่ 5



ภาพที่ 5 บรรจุชิ้นงาน

- ทำการวัดความหนาผิวเคลือบ CrN ของชิ้นทดสอบได้ ความหนาผิวเคลือบ 3 ระดับความหนา ของชิ้นทดสอบของเหล็ก ทั้งสองชนิดดังแสดงในตารางที่ 2 [10]

ตารางที่ 2 แสดงผลการวัดความหนาผิวเคลือบ

ชนิดเหล็ก	ระดับความหนา ที่ 1 (μm)	ระดับความหนา ที่ 2 (μm)	ระดับความหนาที่ 3 (μm)
	ค่าที่วัดได้ (μm)	ค่าที่วัดได้ (μm)	ค่าที่วัดได้ (μm)
X	1.2 – 1.3	1.8 – 1.88	2.5 – 2.7
Y	1.2 – 1.3	1.8 – 1.88	2.5 – 2.7



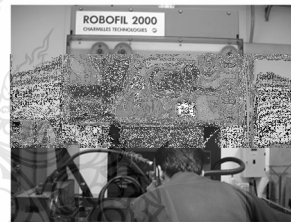
ภาพที่ 8 นำชิ้นทดสอบวัดความหนาผิวเคลือบ

- หลังจากกระบวนการซึ่บเคลือบผิวแบบ PVD แล้วนำเข้า ทดสอบวัดความหนาของผิวเคลือบ Cr ด้วยเครื่องวัดความหนาผิว เคลือบแบบอิเล็กทรอนิกส์คูโรเรสเซ็นท์ ดังภาพที่ 6



ภาพที่ 6 เครื่องวัดความหนาผิวเคลือบ

- หลังจากวัดความหนาของผิวเคลือบนำเข้าทดสอบที่ยังไม่ ผ่านการใช้งานตัดผ้าด้วยเครื่องตัดแบบ Wire Cut มีห้อ CHARMILLES ดังภาพที่ 9



ภาพที่ 9 เครื่องตัดแบบ Wire Cut

- ในการวัดความหนาผิวเคลือบได้ทำการสอนที่บันทึก ด้วยชิ้นผิวเคลือบ Cr หนา 2.18 ไมโครเมตรฐานจากนั้นรีเซ็ต ผู้ผลิต ดังภาพที่ 7



ภาพที่ 7 ชิ้นผิวเคลือบมาตรฐาน

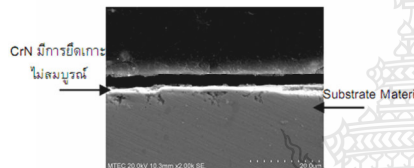


ภาพที่ 10 ฝ้าชิ้นทดสอบด้วยเครื่อง Wire Cut



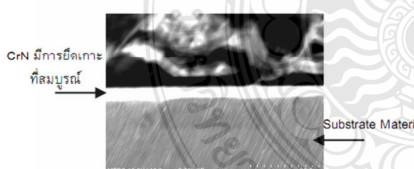
ภาพที่ 11 ชิ้นทดสอบหลังการผ่าด้วยเครื่อง Wire Cut

- ห้องจากที่ได้นำชิ้นทดสอบที่ทำสำเร็จแล้วพร้อมทำการทดลองแต่บังไม่ผ่านการใช้งานมาทำการผ่าด้วยเครื่องตัด Wire Cut และได้นำชิ้นงานเข้าสู่กระบวนการรีไซเคิลที่ถูกพัฒนาโดยกลุ่มที่รับผิดชอบแบบส่องกล้อง(SEM) เพื่อถูกการยืนยันว่าหัวงานทดสอบกับสารเคลือบชนิด CrN



ภาพที่ 12 ชิ้นทดสอบเหล็กX

จากภาพที่ 12 ในการถ่ายภาพใช้กำลังไฟฟ้าข้างๆ 24 kV ขนาดเลนส์ 10.3 mm x 2.00k จะเห็นได้ว่าการยึดเกาะของสารเคลือบกับชิ้นงานทดสอบชนิดเหล็กX (Substrate Material) มีการยึดเกาะที่ไม่สมบูรณ์พนิจ บกพร่องรอยแตกกว้างระหว่างสารเคลือบกับชิ้นงานทดสอบเป็นสาเหตุที่สำคัญที่ทำให้การใช้งานของคัตเตอร์ (Die) ของเครื่อง 1 นาที รุนแรง ร้าวเกิดขึ้นมากเมื่อหัวงานใช้ผลิตเหตุการณ์ 1 นาที รุนแรง ชนิดดีส์เหล็กเคลือบชนิดก็มีอยู่การใช้งานเฉลี่ย 40,000 – 50,000 เหตุการณ์ต่อคัตเตอร์ 1 คู่ (หัว – ก้อย) กระบวนการเคลือบพิเศษ PVD ทั้ง X และ Y ทำตามขั้นตอนเหมือนกันทุกประการ



ภาพที่ 13 ชิ้นทดสอบเหล็ก Y

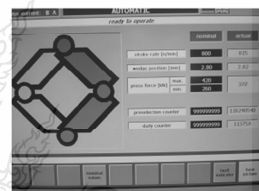
จากภาพที่ 13 การถ่ายภาพใช้กำลังไฟฟ้าข้างๆ 24 kV ขนาดเลนส์ 10.3 mm x 2.00k จะเห็นได้ว่าการยึดเกาะของสารเคลือบกับชิ้นงานทดสอบชนิดเหล็กY (Substrate Material) มีการยึดเกาะที่ดีไม่พบรอยแตกกว้างหรือรอยแยกระหว่างสารเคลือบกับชิ้นงานทดสอบซึ่งแสดงถึงคุณภาพของการทดลองใช้งานอย่างดี

3. สูบผลการวิจัย

ห้องจากที่ได้ดำเนินการทดลองผลิตตัวตัดงานเหตุการณ์ 1 นาที และได้นำตัวตัดงานที่มีผลิตภัณฑ์ร่วมใช้งาน นำไปทดลองตัวตัดงานด้วยเครื่องตัดงานเหตุการณ์ 40 ตัน ความเร็วในการตัด 800 – 850 เหตุการณ์ ต่อ นาที ดังภาพ



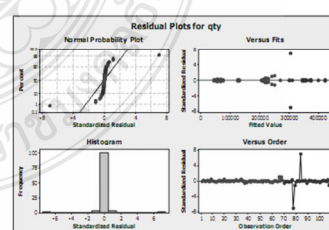
ภาพที่ 14 เครื่องตัดงาน



ภาพที่ 15 แสดงค่าต่างๆ ของเครื่องตัดงาน

เมื่อทำการวิเคราะห์ผลการวิจัยได้มีการนำเอาโปรแกรม Minitab 15 เป็นเครื่องมือในการวิเคราะห์ผลและสรุปปัจจัยต่างๆ ที่เกี่ยวข้องในการวิจัย ด้วยวิธีการทางสถิติแบบ DOE Factorial ที่ระดับความเชื่อมั่น 95% ที่จาระจากค่า P-Value ถ้า Term ใดมีค่าน้อยกว่า 0.05 และว่ามีผลต่อค่า Y (qty) อย่างมีนัยสำคัญ ลงนี้

(1) วิเคราะห์ข้อมูลเบื้องต้นจากการ Residual Plots for qty



ภาพที่ 16 Residual Plots for qty



- Normal Probability Plot - ข้อมูลอยู่ใกล้เส้น แสดงว่าค่า y มีการแจกแจงแบบปกติ

- Histogram - ภารพมีลักษณะทรงระฆังค่าว แสดงว่าค่า y มีการแจกแจงแบบปกติ

- Versus Fits - ข้อมูลกระจายตัวแบบสุ่ม และถ่วงว่าค่าความแปรปรวนของแต่ละกลุ่มที่กัน

- Versus Order - ค่าความคาดเดื่อนเป็นแบบสุ่ม "ไม่มีรูปแบบที่เป็น Pattern ซ้ำๆ เนื่อง แสดงว่าค่าความแปรปรวนไม่ค่าคงที่"

จากผลทั้ง 4 ข้อข้างต้น แสดงว่าข้อมูลที่ได้รับออกแนวการทดลองขึ้นเมื่อความหมายสมท่องนัยไปใช้เคราะห์ด้วย Multilevel Factorial Design ต่อไป

(2) การวิเคราะห์ผลด้วย Multilevel Factorial Design

พิจารณา Term ที่มีค่า P-value ที่รับน้อยกว่า 0.05 และว่ามีปัจจัยที่มีผลต่อค่า qty อย่างมีนัยสำคัญ ดังภาพที่ 17

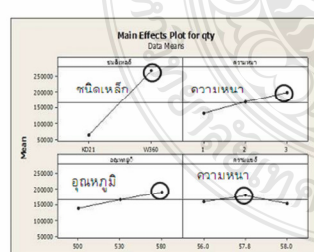
Source	F	P
ชนิดเหล็ก	439.49	0.000
ความหนา	15.76	0.000
อุณหภูมิ	3.76	0.020
ความแข็ง	2.65	0.080
ชนิดเหล็ก*ความหนา	7.13	0.002
ชนิดเหล็ก*อุณหภูมิ	2.46	0.095
ชนิดเหล็ก*ความแข็ง	0.82	0.446
ความหนา*อุณหภูมิ	3.03	0.030
ความหนา*ความแข็ง	3.03	0.030
อุณหภูมิ*ความแข็ง	3.06	0.024
ชนิดเหล็ก*ความหนา*อุณหภูมิ	3.82	0.008
ชนิดเหล็ก*ความหนา*ความแข็ง	2.91	0.030
ชนิดเหล็ก*อุณหภูมิ*ความแข็ง	2.50	0.053
ชนิดเหล็ก*ความหนา*อุณหภูมิ	2.50	0.053
Error	281.011	
Total		

S = 50074.5 R-Sq = 92.16% R-Sq(adj) = 84.46%

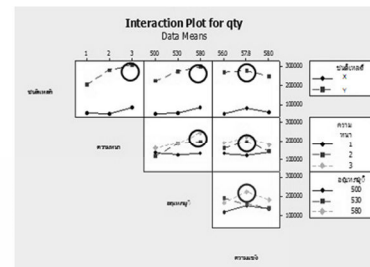
ภาพที่ 17 แสดงค่าP-Value

พิจารณาTerm ที่มีค่า P-Value น้อยกว่า 0.05 ปัจจัยที่มีผลคือ ชนิดเหล็ก, ความหนา, อุณหภูมิ, ชนิดเหล็กกับความหนา, ความหนากับอุณหภูมิ, อุณหภูมิกับความแข็ง, ชนิดเหล็กกับความหนาและอุณหภูมิ, ชนิดเหล็กกับความหนากับความแข็ง, ความหนา กับอุณหภูมิกับความแข็ง, ชนิดเหล็กกับความหนาและอุณหภูมิกับความแข็ง มีผลต่อค่า qty อย่างมีนัยสำคัญทางสถิติกิร่วมด้วย 0.05

(3) วิเคราะห์หาค่าของแต่ละปัจจัยที่เหมาะสม (Optimize) ที่ทำให้ค่า qty ดีที่สุด



ภาพที่ 18 กราฟ Main Effect Plot for qty



ภาพที่ 19 กราฟ Interaction Plot for qty

สรุปจากการ

จากการทดลองที่ได้รับโปรแกรม Minitab ทำให้ทราบว่าต้องกำหนดให้ ชนิดเหล็กเป็น Y ความหนาเท่ากับ 3 mm อุณหภูมิคือไฟ (Tempering) เท่ากับ 580 °C ความแข็งเท่ากับ 57.8 HRC ทำให้ค่า qty ดีที่สุด

จากการวิจัยนี้พบว่าชนิดของเหล็กที่นำมาใช้ในการผลิตด้วย คลาส(Die)มีผลต่อจำนวนเรียบๆที่ผลิตได้เป็นอย่างมาก จะเห็นได้ว่า เหล็ก Y เมื่อมาใช้ในการผลิตด้วยตราครัวคุณอุณหภูมิใน การอบนั่นไฟอยู่ในช่วงอุณหภูมิที่ 530 – 580 °C เพื่อให้มีค่าความแข็งเฉลี่ยที่ 57.8 HRC และความหนาของผิวเคลือบ CrN เฉลี่ยที่ 2 – 3 μm จะทำให้จำนวนเรียบๆที่ผลิตได้มีปริมาณสูงที่สุด

4. กิตติกรรมประกาศ

เราขอเชิญเชิญนักวิจัยลุ่งๆ ได้รับความร่วมมือจากหลายฝ่าย ขอขอบพระคุณ รศ.ดร.วราวน์ เปรมานนท์ ที่เคยให้คำปรึกษา เป็นอย่างดี รวมถึงคณาจารย์ทุกท่านที่ให้ความรู้อย่างเต็มที่ตลอดมา ขอขอบพระคุณคุณเลิศชัย เจ้าหน้าที่ MTEC ที่เอื้อเทือกการ ดำเนินการ SEM และทีมศักย์ที่สุดของขอบพระคุณท่านผู้อ่านทุกท่าน สำนักภาษาปัตต์และเจ้าหน้าที่ที่เกี่ยวข้องทุกท่านที่ให้ความช่วยเหลือ ในงานวิจัยนี้ด้วยที่มีมาตลอด

5. เอกสารอ้างอิง

- [1] นาจัต ชาเรลล่า, ยอดหญิง หมวดงาม, ชูชาติ นิติบัญญัติ และนันท์ กาวรังกร, การขับเคลื่อนผิวสัมผัสมนิกเกิล – อะลูมิเนียม ด้วยไฟฟ้าเพื่อข้องนับการศึกษา
- [2] รัตน์ สารินิดา, วิเคราะห์การอบชุบเหล็ก วิศวกรรมสถานแห่งประเทศไทยในพระบรมราชูปถัมภ์
- [3] การอบชุบเหล็กก้าวต่อก้าว สถาบันพัฒนาอุตสาหกรรมเครื่องจักรกลและโลหะการ กรรมสั่งเสริม
- [4] กิตติศักดิ์ พลอยพาณิชย์รัฐยุ ภาควิเคราะห์ความสามารถของกระบวนการ (ประมวลด้วย Minitab)
- [5] Arnold H. Douthman, Ph.D. and Robert J. Partyka, M.S. Comparison of the Properties of PVD and IBED



Hardcoats (TiN and Cr₂N)

- [6] C. Martini n, L.Ceschini A comparative study of the tribological behaviour of PVD coatings on the Ti-6Al-4V alloy
- [7] R. Bayon a, A.Igartua a, X.Fernandez a, R.Martinez b, R.J.Rodriguez b, J.A.Garcia b, A.deFrutos c, M.A.Arenas c, J.deDamborenea c Corrosion-wear behaviour of PVD Cr/CrN multilayer coatings for gear applications
- [8] Z.G. Zhang, O. Rapaud , N. Allain , D. Mercs , M. Baraket , C. Dong , C. Coddet Microstructures and tribological properties of CrN/ZrN nanoscale multilayer coatings
- [9] R. Piotrkowski, A. Gallego, E. Castro, M.T. Garcia Hernandez, J.E. Ruzzante Ti and Cr nitride coating/steel adherence assessed by acoustic emission wavelet analysis
- [10] N. Carvalho, B.J. Kooi and Jeff Th. De Hosson Characterization of PVD Multilayer Coating
- [11] PHH Special Steel SDN BHD KD21 Nippon Koshuha Steel
- [12] Bohler W360 ISO Bloc
- [13] ISO 6507 http://www.iso.org/iso/iso_catalogue/catalogue_tc/catalogue_detail.htm?csnumber=37746

ประวัติผู้เขียน

ชื่อ - นามสกุล	นายวริทธิ์ สงวนพันธ์
วัน เดือน ปีเกิด	29 กันยายน 2517
ที่อยู่	51/10 หมู่ที่ 3 ต. บ้านใหม่ อ. ปากเกร็ด จ. นนทบุรี 11120
การศึกษา	มหาวิทยาลัยครินครินทร์วิโรฒ คณะวิศวกรรมศาสตร์ ภาควิชา อุตสาหการ
ประสบการณ์การทำงาน	นายช่างโลหะชำนาญงาน ฝ่ายหล่อหลอม ส่วนผลิตตัวเปล่า สำนักคุณภาพน้ำ กรมธนารักษ์ กระทรวงการคลัง

